

The Earthquake can be Predicted using Satellite Thermal Infrared Images

ZuJi Qiang, Institute of Geology ,China
Earthquake Administration

Chinese have carefully recorded earthquake data for the past several thousand years.

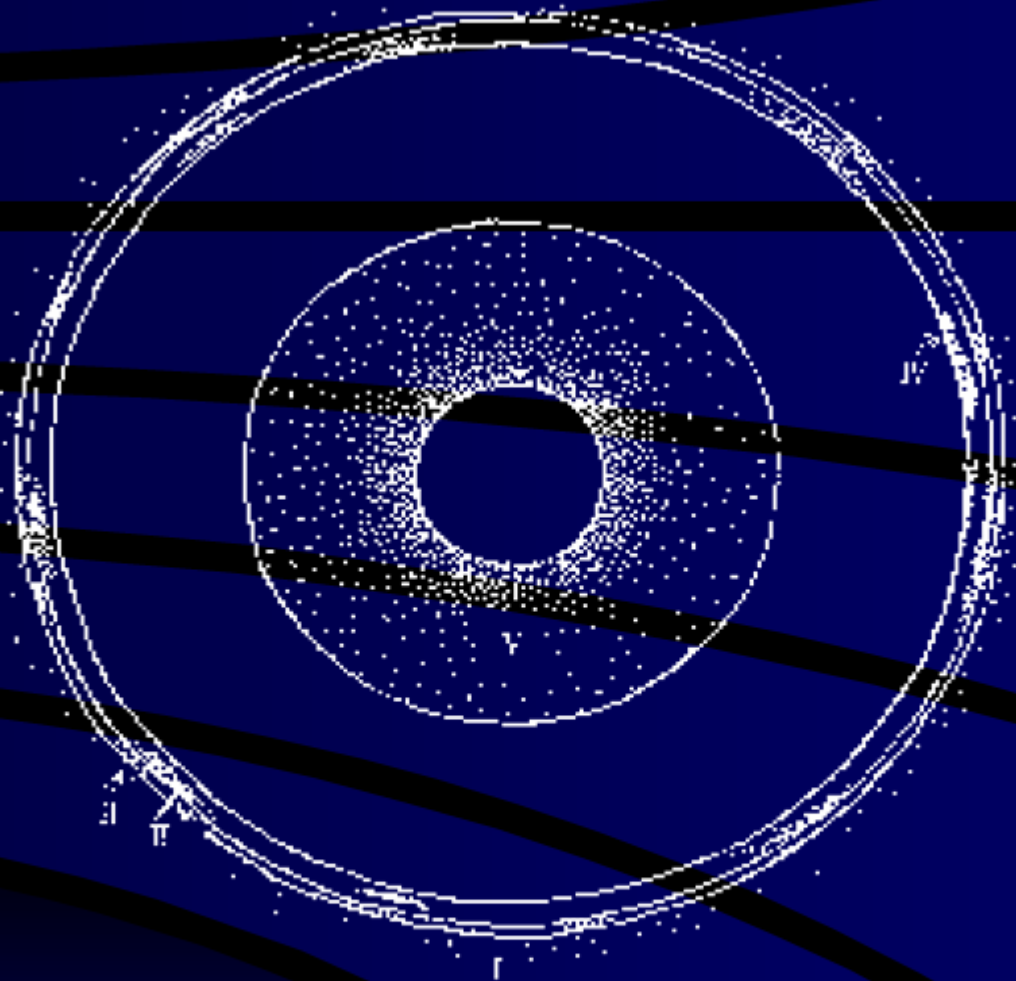
- In 782 B.C. (The Chou Dynasty while King You ruled China), "There was severe drought, then big earthquake: rivers were cut off, mountains were shaken."
- Historical earthquake data has shown that pre-earthquake temperature increase occurred before about one third of the earthquakes recorded by ancient Chinese.

- Russians, Dr. V. Gorny., A. Salman.. etc., were among the first to discover the isolated pre-earthquake thermal-infrared temperature increase anomaly using satellite technology in 1988.

Temperature Increasing Mechanism of Satellite Thermal infrared

- Five gas-spheres of the earth

Five gas-spheres of the earth



1,atmosphere;2,upper crust gas-sphere;3,middle crust-sphere;4,upper mantle gas-sphere;5outer core gas-sphere

(After DU Letian)

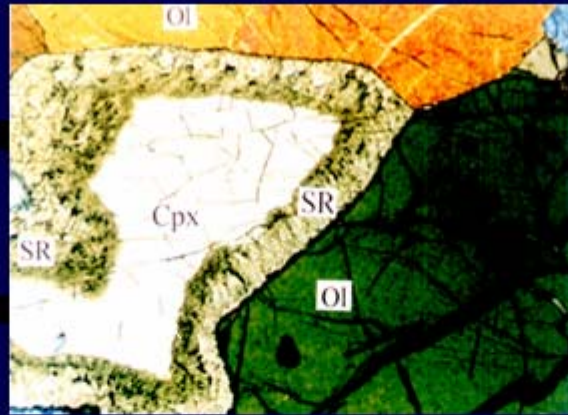
Temperature Increasing Mechanism of Satellite Thermal infrared

- Ulcerated bodies in the seismic zones

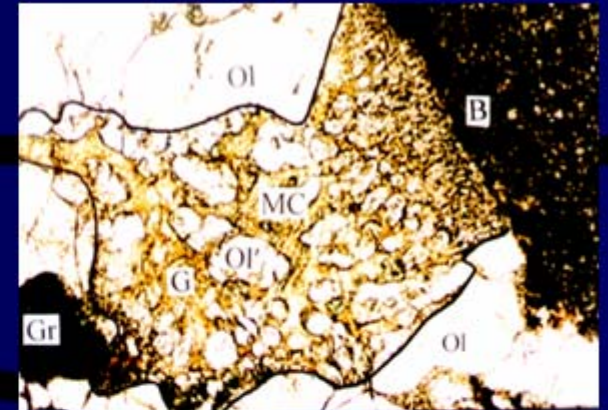
Gas Inclusions in Basalt in which always take place earthquakes



Melt Cell, Lherzolite, Xixia, Shandong. GOD- Glass, Olivine, Diopside; Olivine and Cr-diopside grains on the wall of melt cell

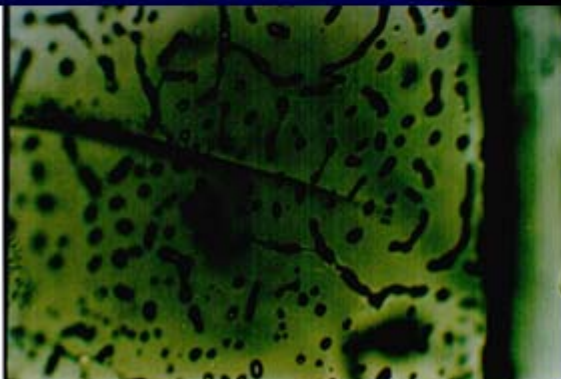


Sponge edge (SR) were altered from diopside (Cpx); Ol-Olivine

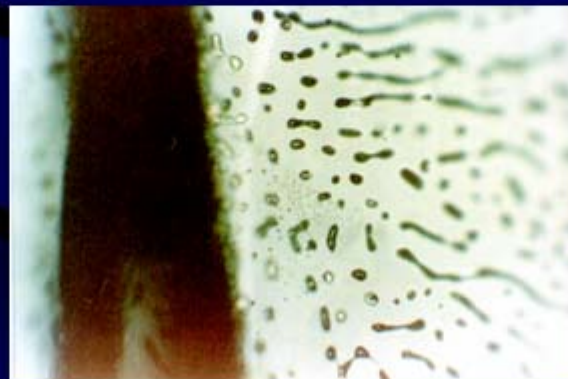


MC-Melt Cell; Ol-These crystals of minerals were crystallized from melt, olivine secondary. Ol-primary olivine

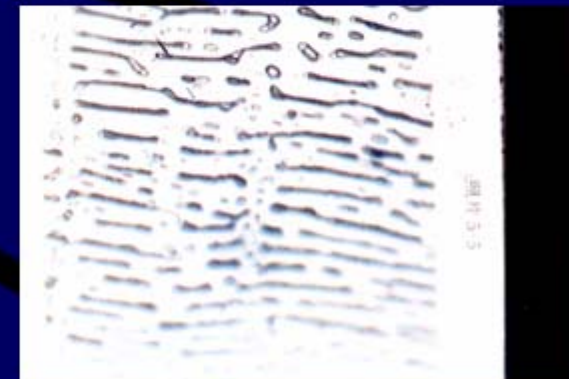
Gr-garnet; B-Basalt Orthopyroxene was transformed to melt cell



Gas inclusions in basalt



Gas inclusions in Lherzolite, Zhang-Jiakou



Tube gas inclusions in Lherzolite, Zhangjiakou

the depth of upper mantle conductive layer in the Chinese mainland(km.)(After Xu C

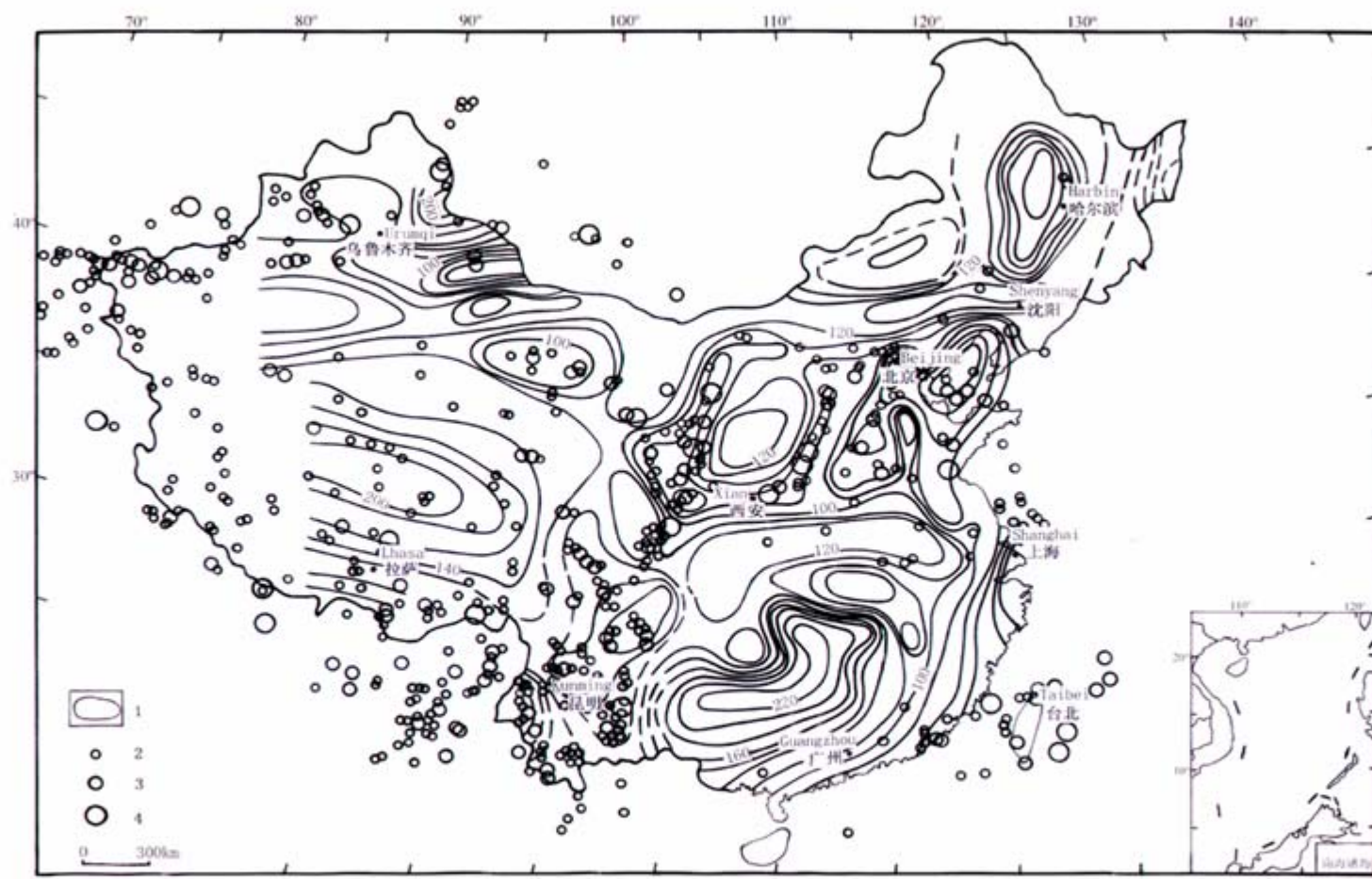
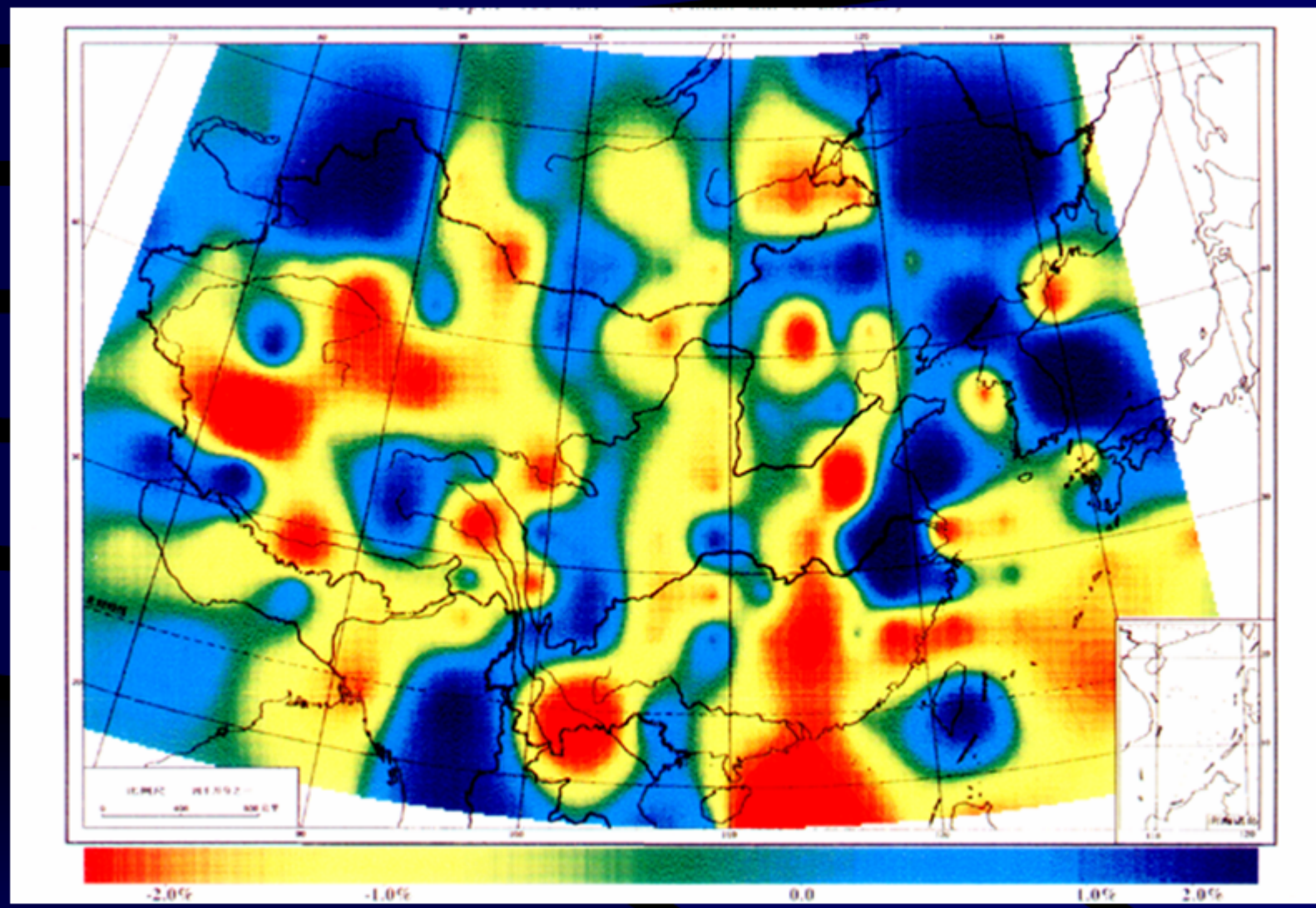


Fig. The depth of upper mantle conductive layer in the Chinese mainland(km.) (After Xu Chang-Fang).

1. Isopleth of buried depth of high conductivity layer in the mantle/km ; 2. Ms6-6.9 ; 3. Ms7.0-7.9
4. Ms8.0

Seismic tomographic image in the Depth of 400km. (After Liu, 1997.)



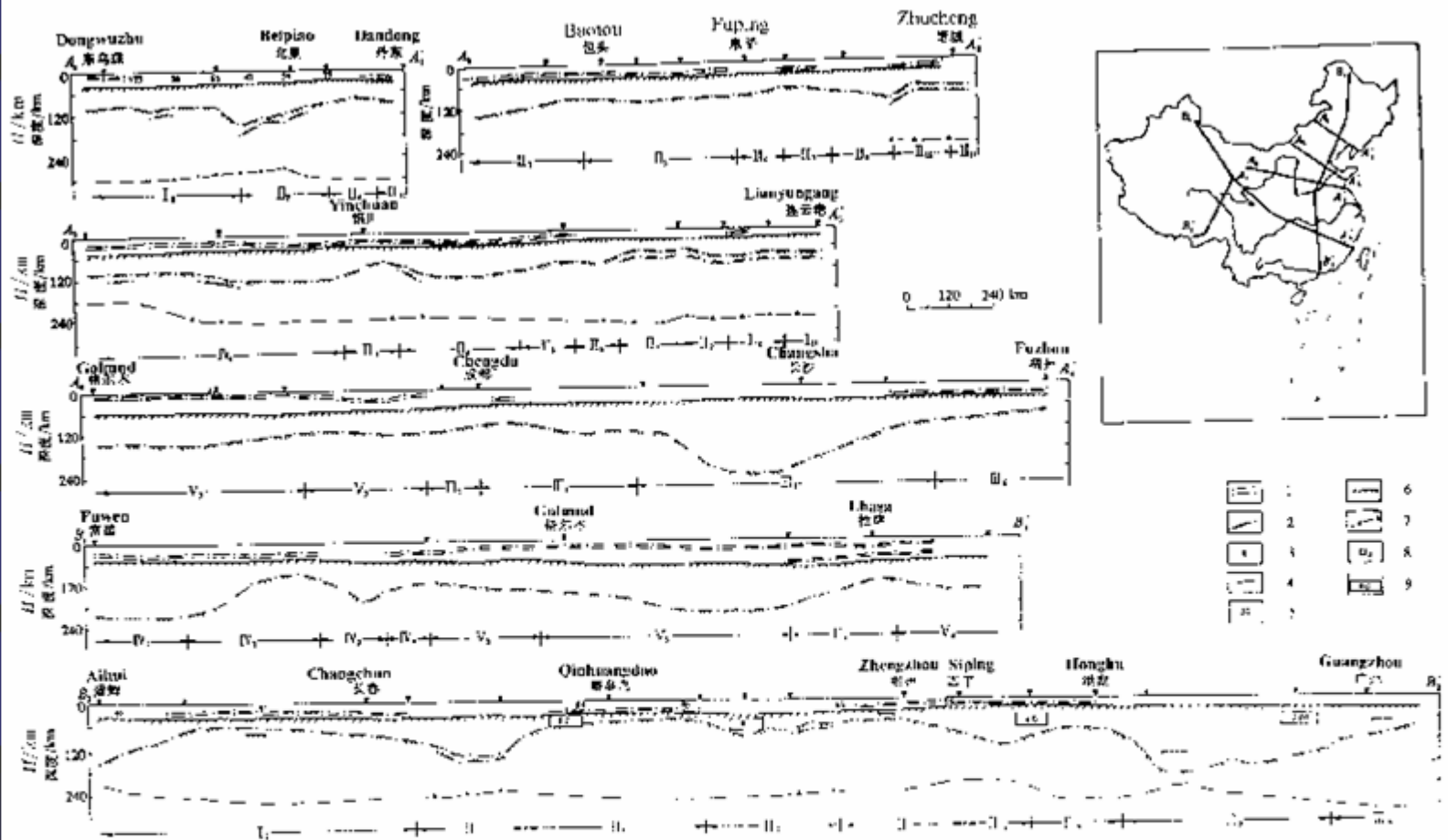


图 中国大陆深部构造剖面图 (据刘国栋 1994)

Deep structure profile in Chinese mainland (After L.in Guodong)

- 1.壳内高导层 crustal conductive layer
- 2.上地幔第 1 高导层 first conductive layer of upper mantle
- 3.地名 place name
- 4.低速层 the low velocity zone
- 5.热流值 /heat flow value/ $mW.m^{-2}$
- 6.莫霍面 Moho
- 7.上地幔第 2 高导层 second conductive layer of upper mantle
- 8.深部构造分区 province of the upper mantle
- 9.纵波速度 p-wave velocity/ $Km.s^{-1}$

Active Plates, Subplates and Blocks in China and Neighboring Areas

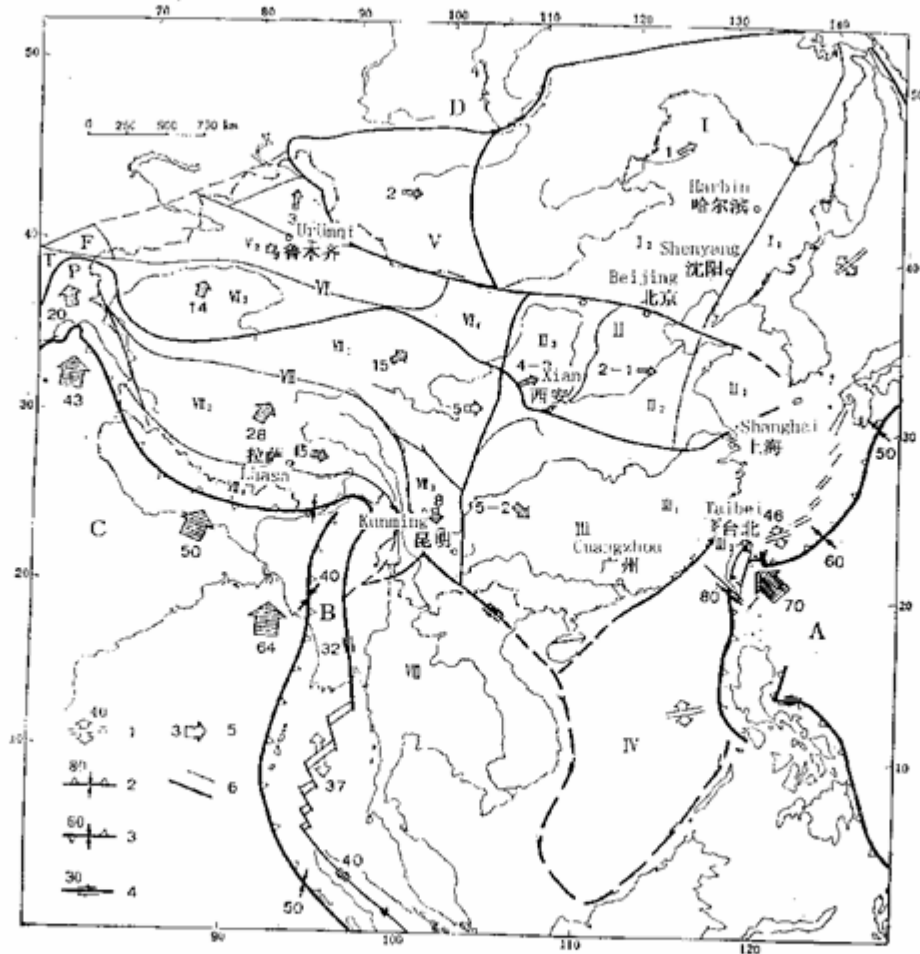


图 中国及邻区活动板块、亚板块与块体划分

Active plates, subplates and blocks in China and neighboring areas

1-4 为活动板块相对运动矢量及速率, 毫米/年. Relative motion vectors and rate (mm/a) of active plates (1 分离边界、扩张脊 divergent 2 俯冲边界 subduction 3 碰撞边界 collision 4 走滑转换边界 strike-slip and transform fault 5 板块绝对运动和亚板块、块体相对欧亚板块 (西北利亚) 的运动矢量及速率, 毫米/年. Relative motion vectors of subplates and blocks with respect to the Eurasian plate (Siberia Craton) and rate (mm/a) 6 亚板块、块体边界. Boundaries of the subplates and blocks. A 菲律宾海板塊, B 印度-澳洲板塊, C 印度板塊, D 澳洲板塊, E 太平洋板塊, F 北美板塊, G 南美板塊, H 非洲板塊, I 欧亚板塊, J 印度-澳洲板塊, K 印度板塊, L 澳洲板塊, M 太平洋板塊, N 北美板塊, O 南美板塊, P 非洲板塊, Q 欧亚板塊, R 印度-澳洲板塊, S 印度板塊, T 澳洲板塊, U 太平洋板塊, V 北美板塊, W 南美板塊, X 非洲板塊, Y 欧亚板塊, Z 印度-澳洲板塊.

Recent Tectonic Stress Field in China and Neighboring Areas

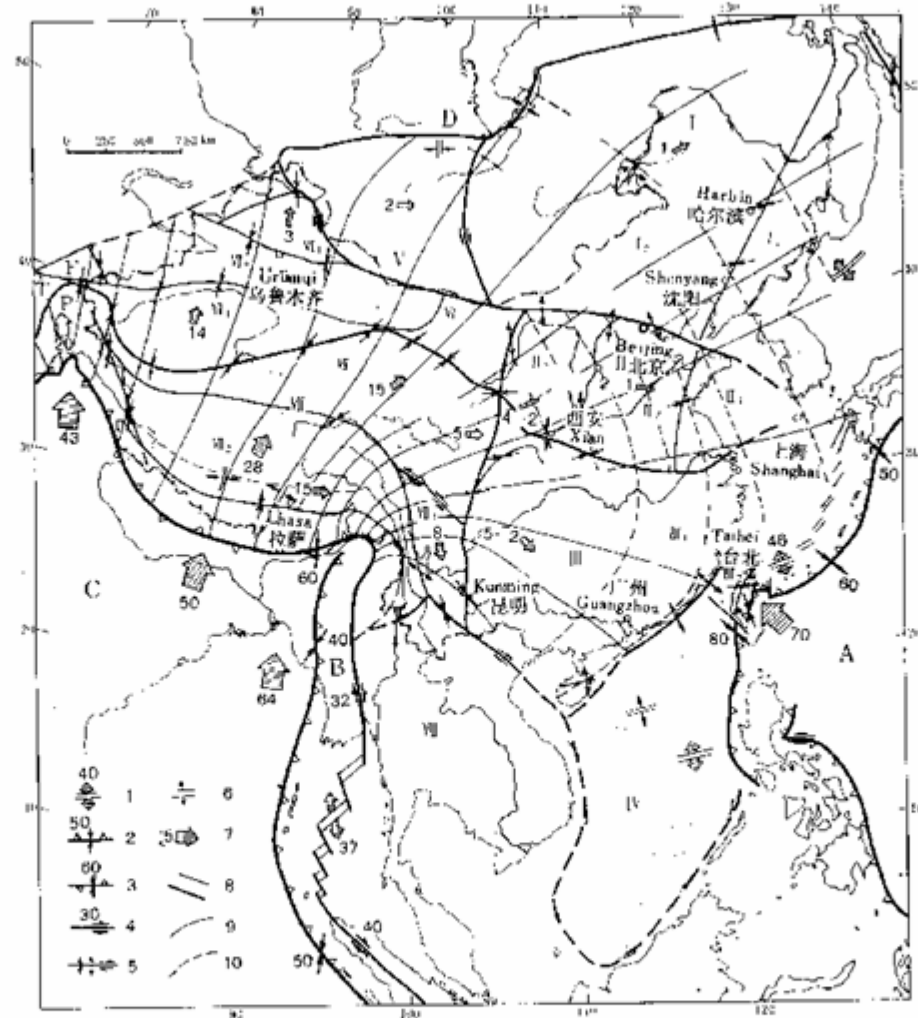


Fig.14 Recent tectonic stress field in China and neighboring areas
1-8. as shown in Fig.2: 9. Trajectory of maximum compressional principal stress axis;
10. Trajectory of minimum principal (tensile) stress axis

Active Tectonic of China(After Wang Y.P.)

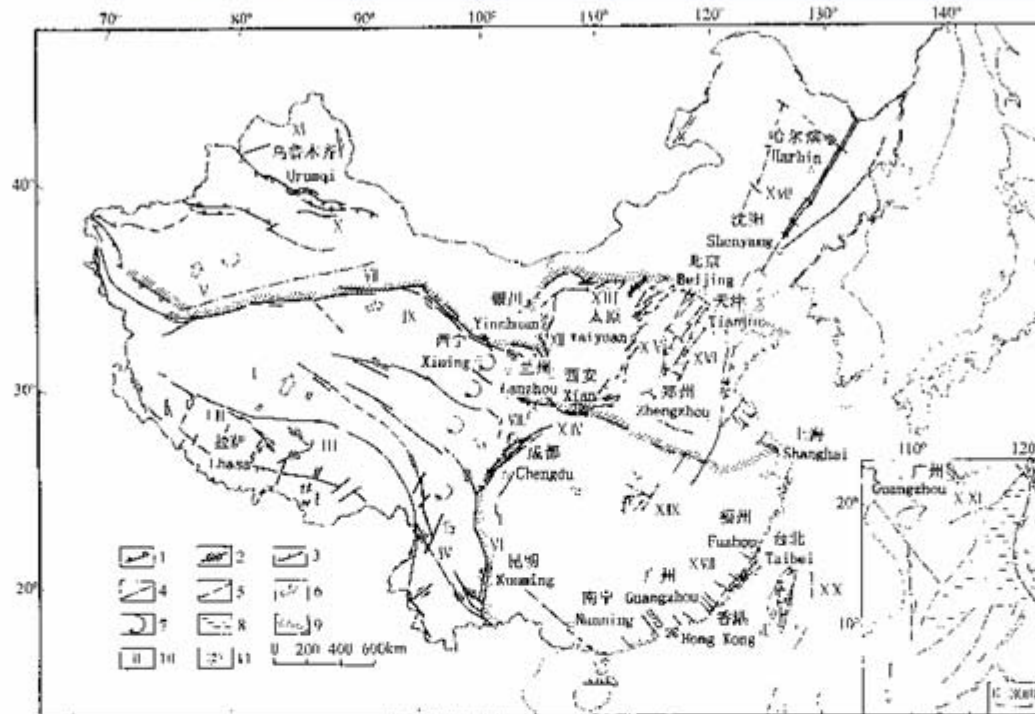


图 中国活动构造

Active tectonic of China (After Wang Yipen 1996)

- 1.逆、逆掩断层 Thrust or overthrust fault 2.走滑断层 Strike-slip fault 3.正断层 Normal fault 4.隐伏断层 Buried active fault 5.推测断层 Inferred active fault 6.块体运动方向 Direction of block motion 7.块体旋转 Block rotation pattern 8.洋壳盆地 Basin with oceanic crust 9.活动构造区边界 Boundary between active tectonic region 10.活动构造区编号 Active-tectonic region and its number 11.行断层编号 Active fault and its number

图 中国东部强震($M \geq 6.0$)震中分布(1400-1985年)

Epicenters of strong earthquakes ($M \geq 6.0$) in the eastern China (1400-1985) (After Ma Zuojin 1995)

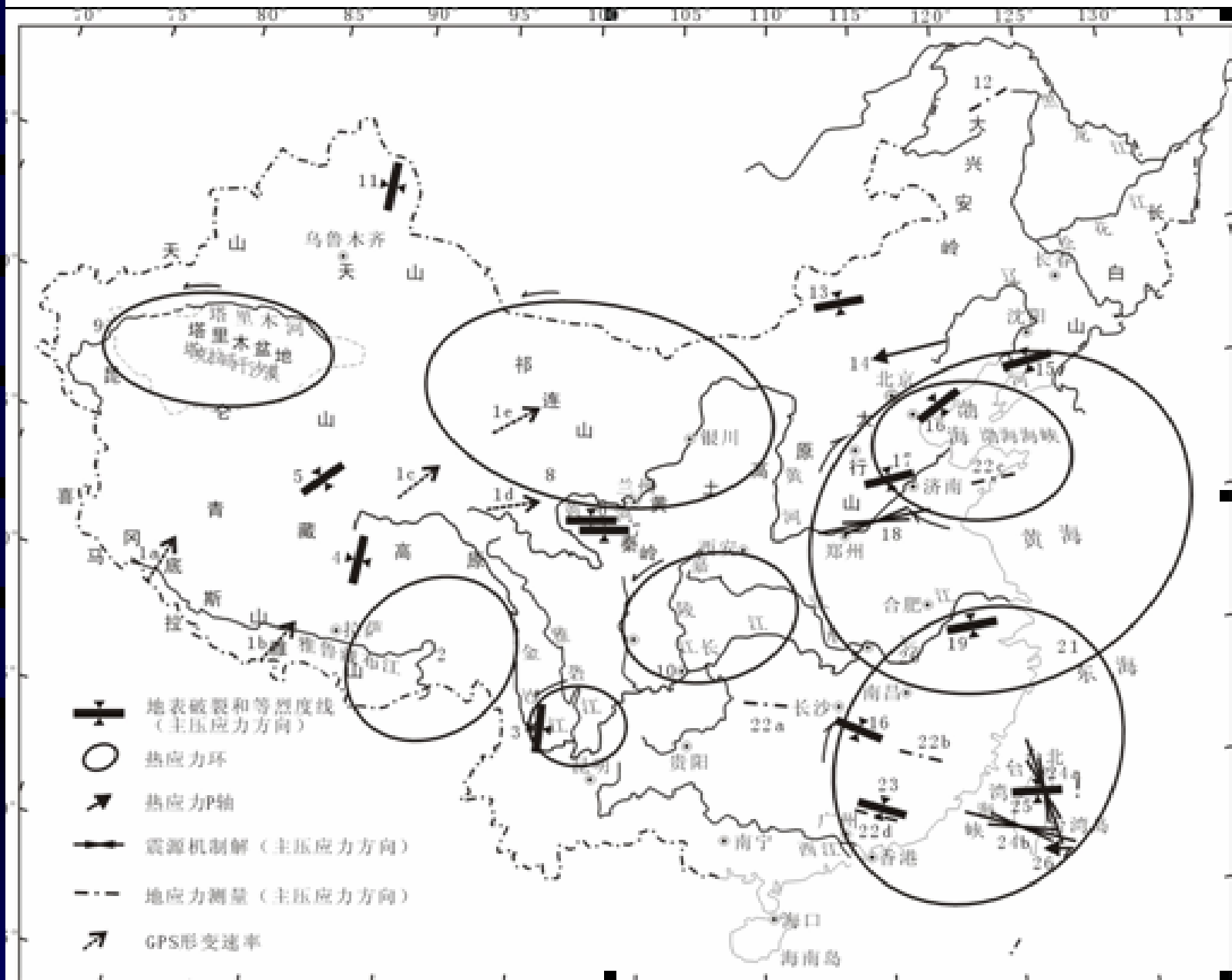


图 I -3-1 中国现今构造应力图

Fig. I -3-1 Modern structural stress of China.

Agenda

- Three Hypotheses of the Precursor of the Satellite Thermal Infrared Anomalies

(1) "Red Swelling" Hypotheses, by Academician
Fu Chengyi, 1971

1, The records of Guanting Reservoir Seismological Station, Beijing, are usually interfered by the high-frequency pulses produced by trains passing nearby bridge. But during the periods of Baotou earthquake of November 1970 and Changshan Islands earthquake of January 1971 with 5-6 magnitude, such interference disappeared. This phenomena proves that before a middle strong earthquake, the affected area of the upper crust may stretch at least several hundred kilometers.

2, Before a larger earthquake, the occurrences of small earthquakes in a relatively wide area decreased dramatically, and transient pacific period appears.

3, Some earthquake precursors such as ground water anomaly ground tilt, crust strain, geoelectric resistivity, and anomalous animal behaviour sometimes may appear in places far from epicenter. If an earthquake was caused only by fracture of rocks, such phenomena would occur magnificently only around the area near the epicenter.

4, Gravity of the moon and sun triggers an earthquakes sometimes. While the gravitational force is a kind of body force. It affects on rocks at both sides of a fault nearly equally. If earthquakes originated only From a small area near a fault, it is hard imagine that the gravitational force could trigger an earthquake. Only when this force affects a very large volume of the crust, could the gravitation force produce enough distortion.

(2), The Gas-thermal Hypotheses
by Zuji Qiang

• Gas-Thermal Hypothesis

Rocks under stress terrestrial
degassing emission of CH_4 , CO_2 and
charged particles solar radiation, electric
field excitation thermal infrared
temperature increase.

- Experimental results

Experimental Results under the Condition of External Loading Electric Field

Experimental results under the condition of external loading electric field

Temperature measurements of the air, CO₂, CH₄, H₂ and the mixed gas of CO₂ and CH₄ with a given concentration are performed in the external loading of 4000 volt electrostatic field. The results are listed in Table 1.

Table 1 Temperature change of gases under the action of external transient electric field

No.	Experimental gas	Temperature before loading electric field	Temperature after loading electric field		Temperature change
			Constant electric field	Transient electric field	
1	gas with 8.15% of CO ₂	28.2°C	28.2°C	32.0°C	3.8°C
2	gas with 8.15% of CO ₂ and 11.4% of CH ₄	28.9°C	28.9°C	35.0°C	6.1°C
3	gas with 3.8% of CH ₄	28.8°C	28.8°C	34.0°C	5.2°C
4	gas with 1.52% of CH ₄	28.5°C	28.5°C	32.0°C	3.5°C
5	normal air	28.8°C	28.8°C	31.4°C	2.6°C
6	gas with 5.3% of He	26.2°C	26.2°C	26.8°C	0.6°C

It can be seen from Table 1 that the temperature of each kind of gas all goes up, and the normal air temperature also goes high under the action of transient electric field, but the increasing temperature of He is only 0.6°C. The temperature increasing range becomes larger with the increasing of content of CH₄ and CO₂ in the air. But the temperature of each gas does not go up in the loading direct current field and no transient action of electric field.

The Curve of Gas Release Photon

According to Table 1 of experiment one and Fig. 1 of photon radiation surveyed by the photomultiplier in experiment two, gases can cause photon radiation and temperature increase under the effect of instantaneous electric field. Photon radiation is not continuous but pulsating, as illustrated in Fig. 1. No photon is released when the electric field rises, but during the fall of the electric field, it produces photon radiation. In addition, we observed that the number of photon radiated was fluctuating during the sudden fall of electric field. This means that the CO_2 gas may gain enough energy or not during this period. This phenomenon is similar to that observed by the satellite through the infrared temperature measurement before an earthquake.

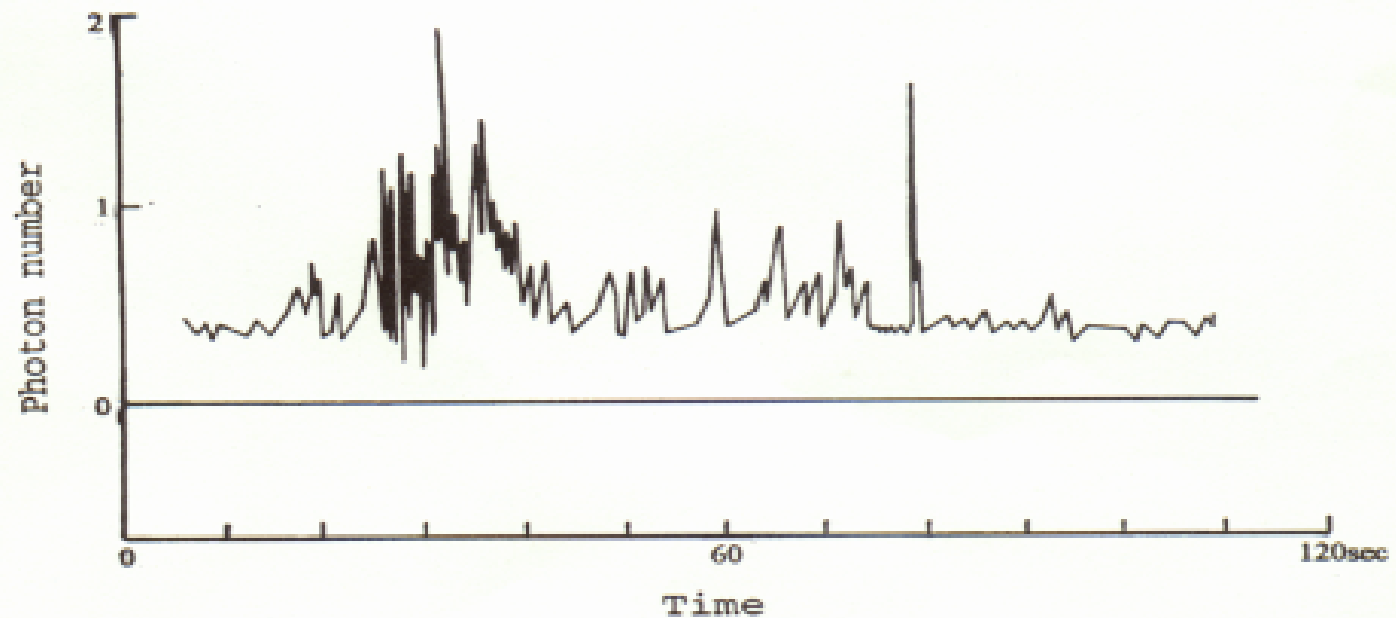


Fig. 1. The curve of gas release photon.

Natural Radioactivity,
Earthquakes
and the Ionosphere by Sergey
Alexander Pulinets, University
of Mexico.

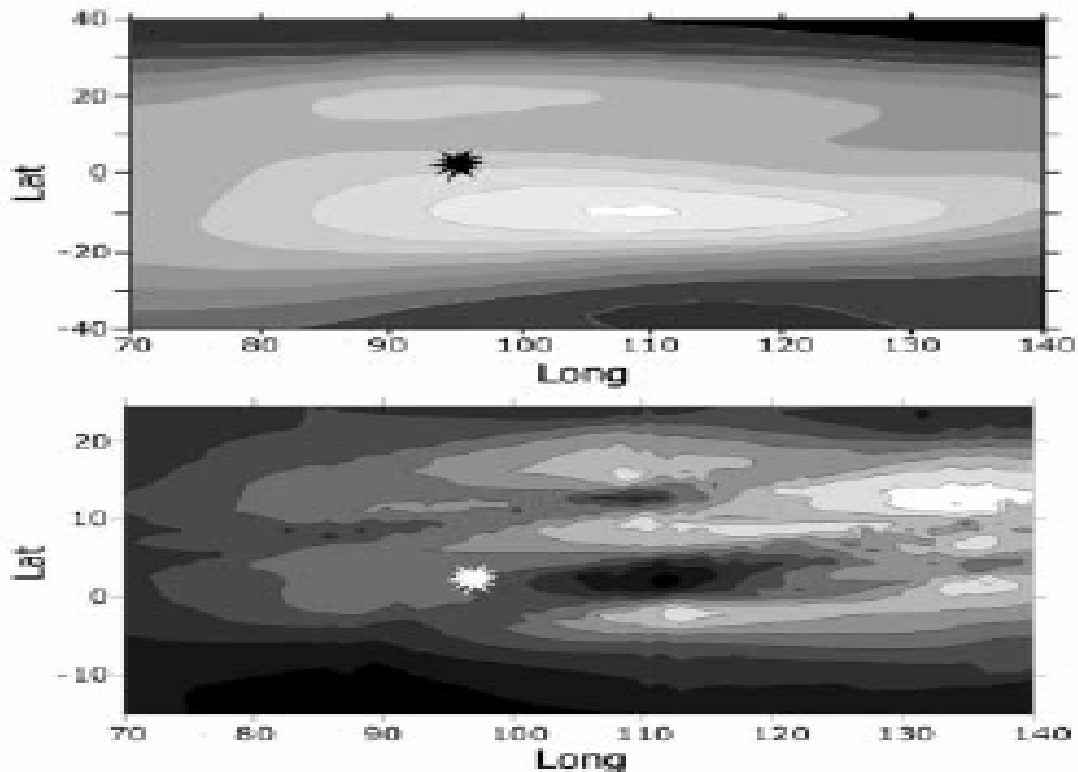


Fig. 1. (top) IONEX total electron content (TEC)—a special code that generates global maps of the vertical TEC using data from 150 GPS receivers distributed globally—as measured 2 days before the Sumatra earthquake of 26 December 2004 (modified after Zakharenkova et al. [2006]). (bottom) In situ ion density distribution measured onboard the DEMETER satellite 6 days before the Sumatra earthquake of 28 March 2005. Lower plasma concentration is indicated by darker shading. Bursts indicate the position of the epicenter of the impending earthquake.

Hector Mine EQ, Mw=7.1, 16/Oct/1999

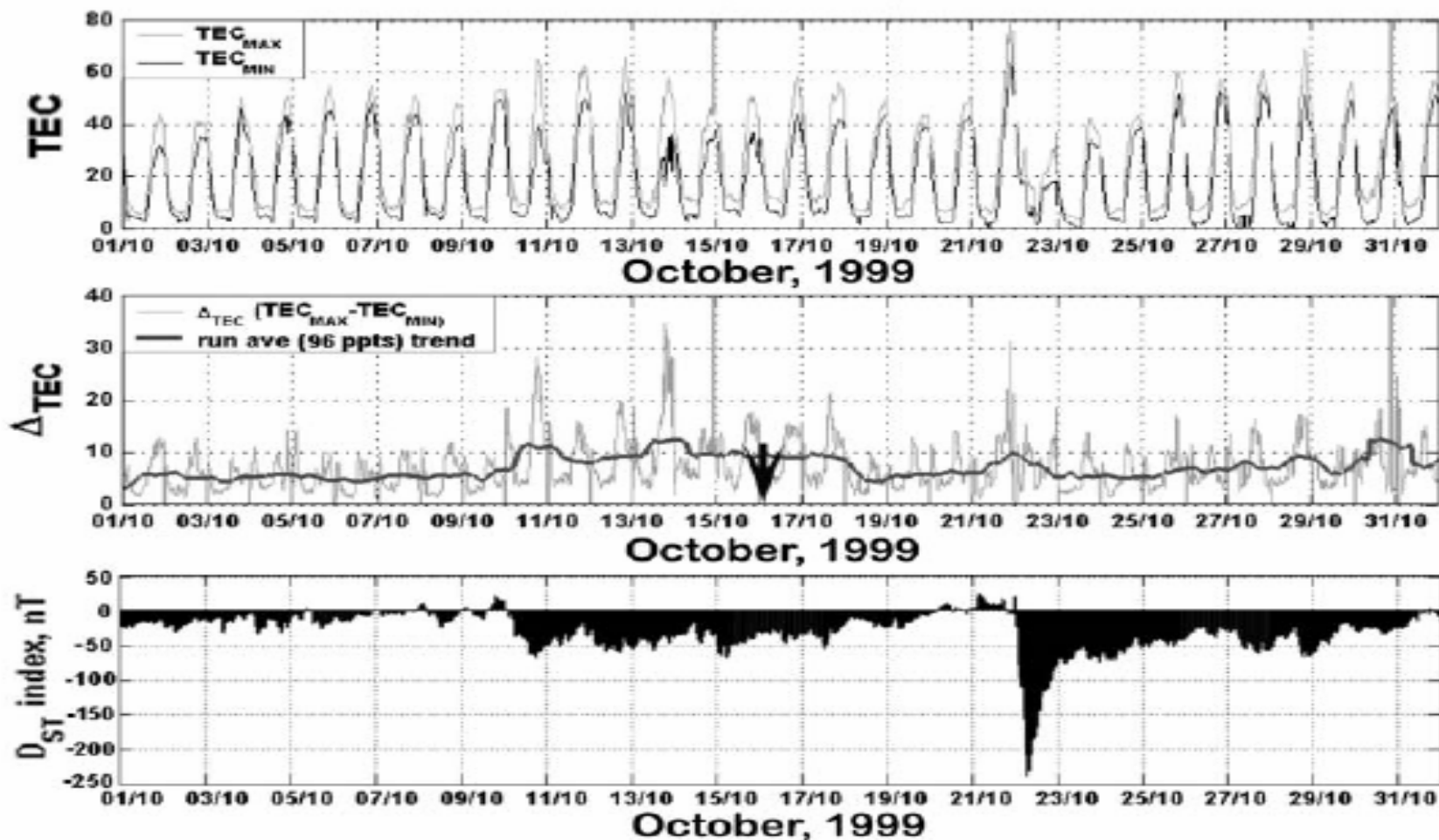


Fig. 2. Analysis of GPS TEC data for a network of GPS receivers in California for the period of October of 1999. (top) The grey curve indicates maximal TEC values for the set of stations under analysis. The solid curve indicates minimum TEC values for the set of stations under analysis. (middle) The thin grey curve is the variability index, the difference between the maximum and minimum values presented in the top panel. The solid curve is the running (96 points) average. Arrow indicates the moment of seismic shock. (bottom) Global equatorial index of geomagnetic activity (Dst index) for October 1999. Note the increase of the variability index (middle panel) on 10 October, 6 days before the seismic shock. The index does not grow after strong geomagnetic storm (near -250 nanoteslas) on 22 October (Dst index, bottom panel).

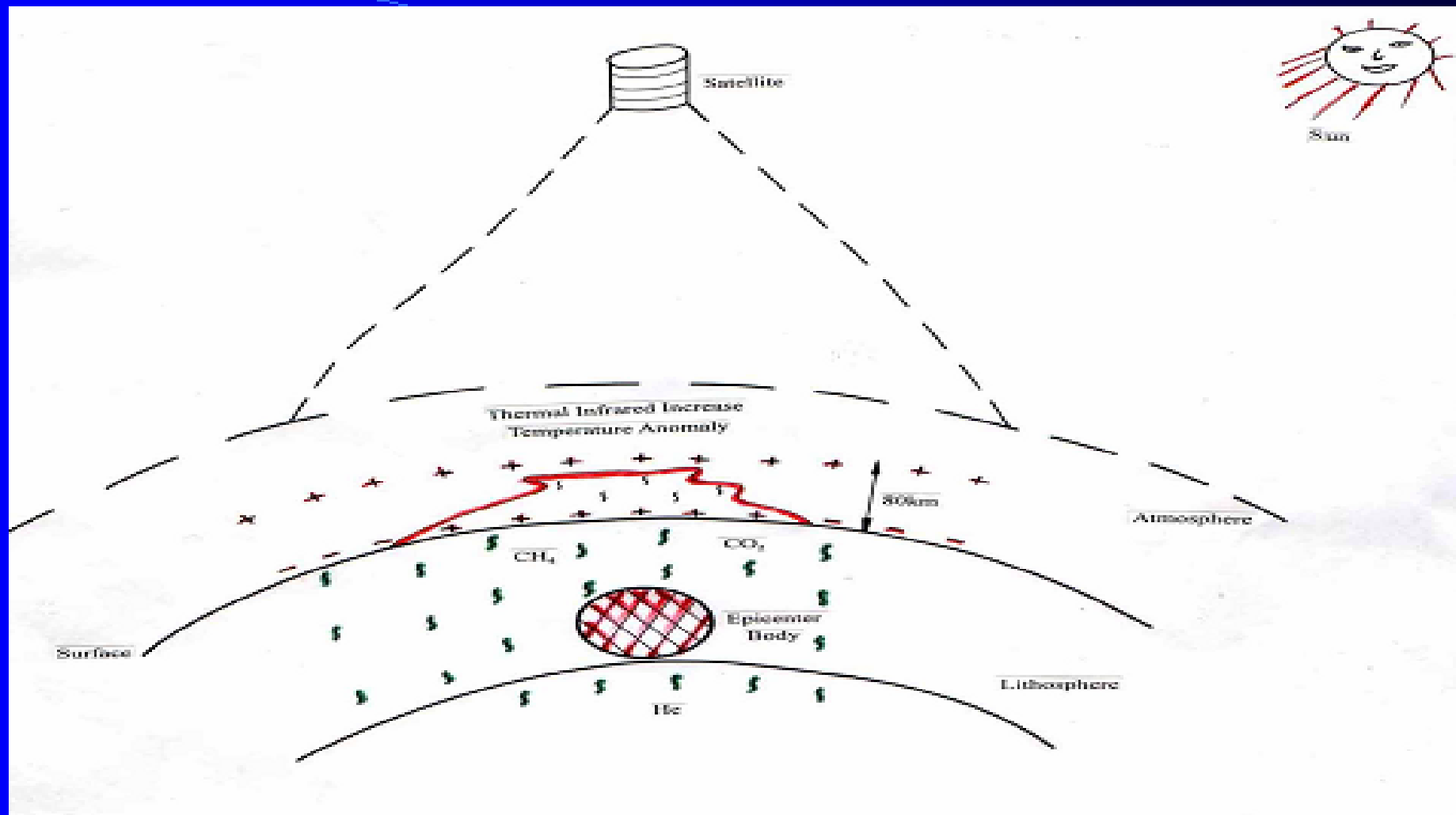


Fig. 3-1 Mechanism model of satellite thermal temperature increase

(3), The Positive Hole Carrier Hypotheses

By F. Freund

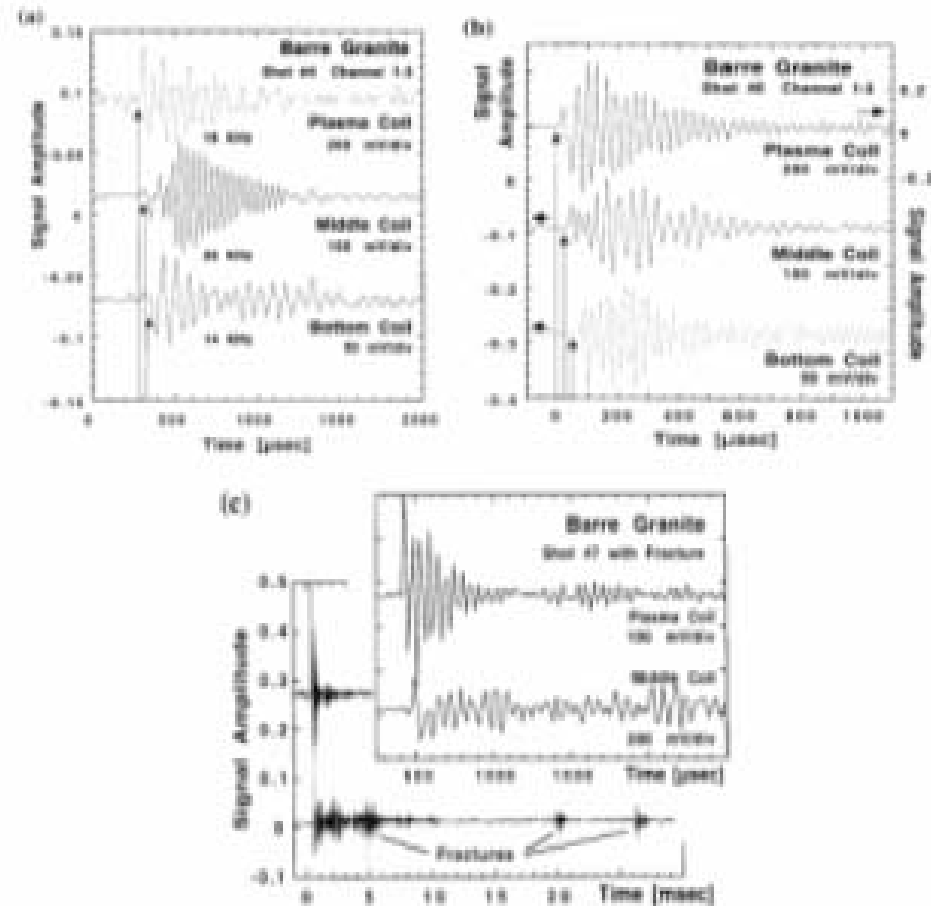


Fig. 7. Electromagnetic emission as recorded by the magnetic pick-up coils after impact of the Al sphere (a) during shot 4 at 1.46 km/s, (b) during shot 6 at 4.45 km/s and (c) during shot 7 at 5.64 km/s which led to disintegration of the granite block.

a,b,c不同撞击速度

100米/秒撞击情况下 福伦得,F.

A,b,c示不同大小辉长岩岩芯,在不同电容器**mv装置,不同前置,后置,分别再加光磁辐射电流通过情况

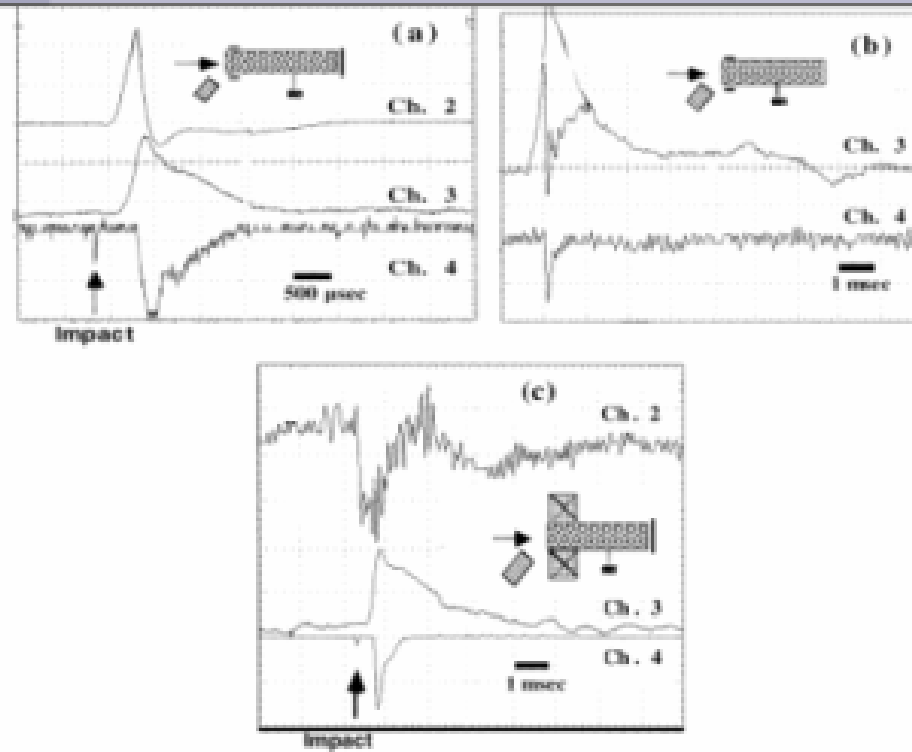


Fig. 1. 100 m/s impact. (a) Gabbro core, 1/8-in steel ball. Channel 2, front ring capacitor, 200 mV; channel 3, back end plate capacitor, 20 mV; channel 4, front end light emission, 200 mV. (b) Gabbro core, 3/16-in steel ball. Channel 1, ring collector voltage, 400 mV; channel 2, magnetic field emission, 10 mV; channel 3, back end capacitor voltage, 20 mV; channel 4, front end light emission, 500 mV. (c) Gabbro core, 3/16-in steel ball. Channel 1, ring collector voltage, 400 mV; channel 2, magnetic field emission, 10 mV; channel 3, back end capacitor voltage, 20 mV; channel 4, front end light emission, 500 mV.

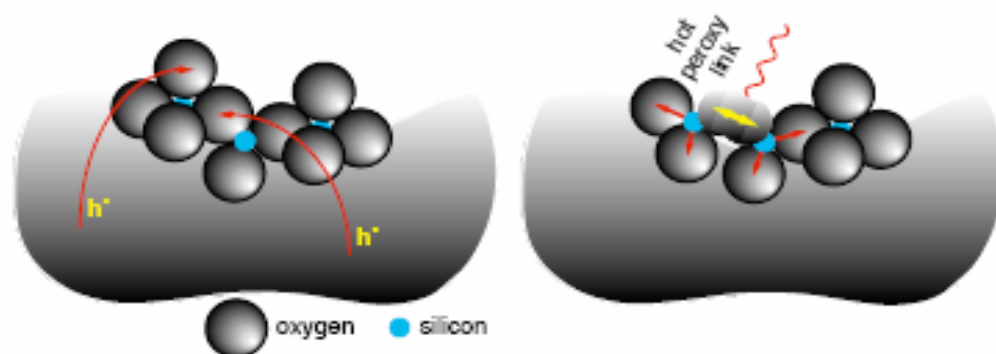


Fig. 5. Schematic representation of a mineral surface to illustrate the processes that may take place when p-holes (h) arrive at the surface (left). When the two p-holes recombine, recombination energy is released, leading to a vibrationally highly excited O-O bond, which can de-excite radiatively by emitting IR photons characteristic of transitions the energy levels of the O-O bond, and non-radiatively by channeling energy into neighboring bonds (right).

Of particular interest to the IR emission is the fact that it costs energy to break a peroxy bond. This energy is expended in the stressed rock volume in the form of mechanical work dispensed during plastic deformation. If the p-holes recombine at the surface to reconstitute peroxy bonds, some of this energy will be regained. However, this recombination energy will be deposited into the newly formed O⁻-O⁻ bonds, causing them to be “born” in a vibrationally highly excited state.

光强与能量之比

光
两
极
真
空
管
输
出
V

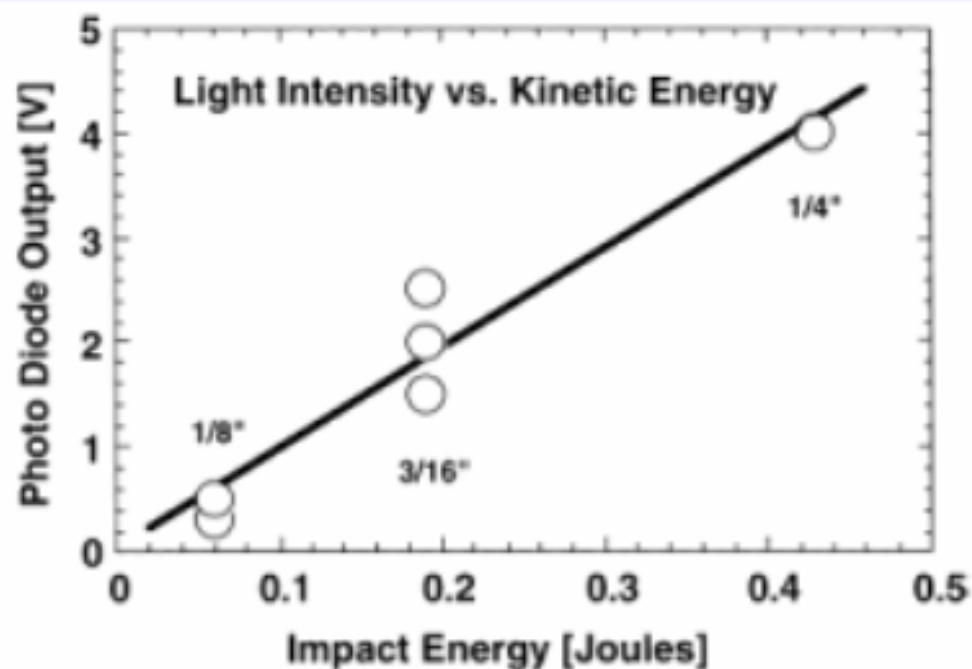


Fig. 4. Probable linear relation between the integrated intensity of the delayed light emitted from the rock cores and the kinetic energy of impact.

撞击能量(焦耳)

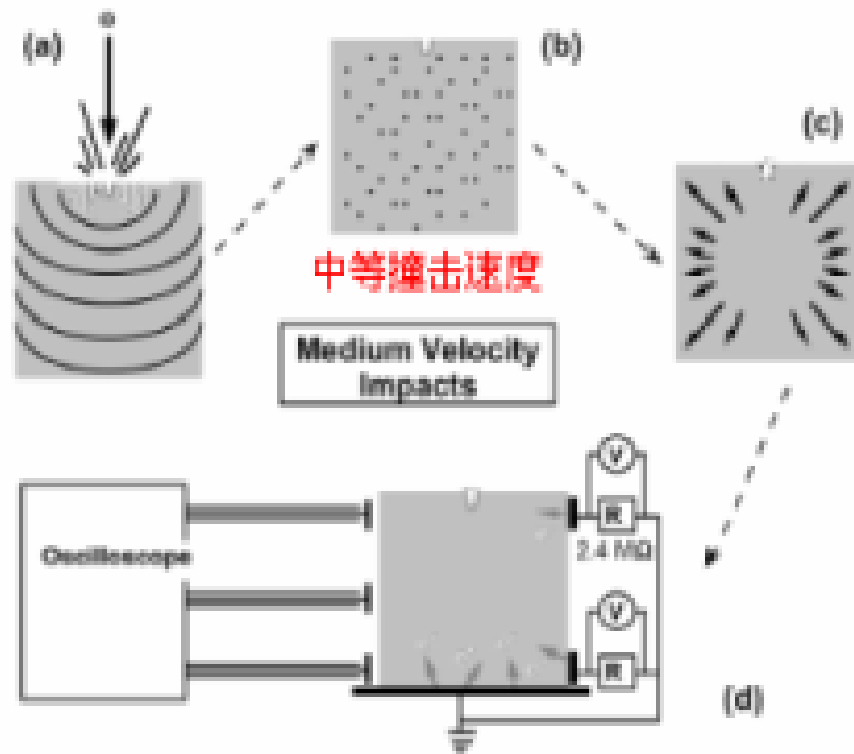
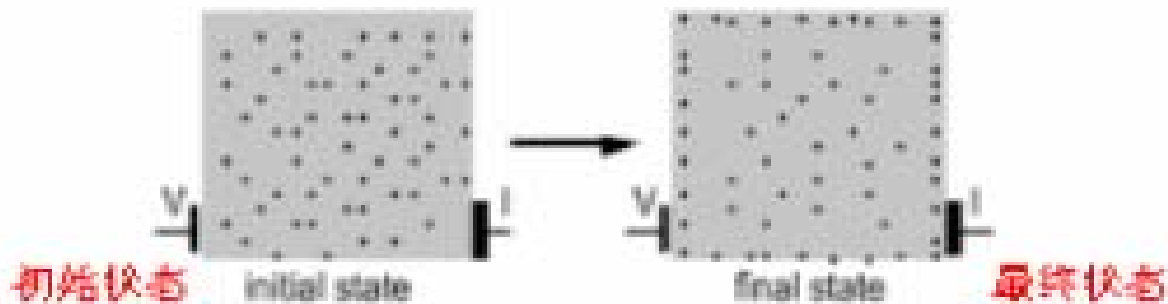


Fig. 10. Cartoon of the processes taking place in rapid succession in the granite block following a medium velocity impact. (a) Impact and propagation of the sound waves, (b) Rock volume filled with positive hole charge current activated in the wake of the sound waves, (c) Diffusion of positive holes to the surface due to mutual repulsion in the bulk, (d) Ejection of electrons from the base plate and contact electrodes leading to oscillations.



表密度



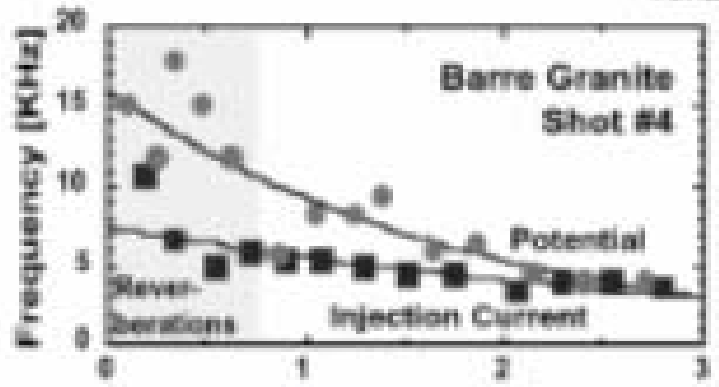
电压



电流



频率



The Birth of a New Method on Earthquake prediction

- The anomalous temperature increase before an earthquake has been recorded in China long ago. Outgassing of the earth before earthquake was recorded A.C.2000a in China at Zhou Yi.

Practice is the only criteria to examine a truth.

- I am confident that precursors can be found before an earthquake and that earthquake prediction IS possible.

Best Practice

The Several Examples:

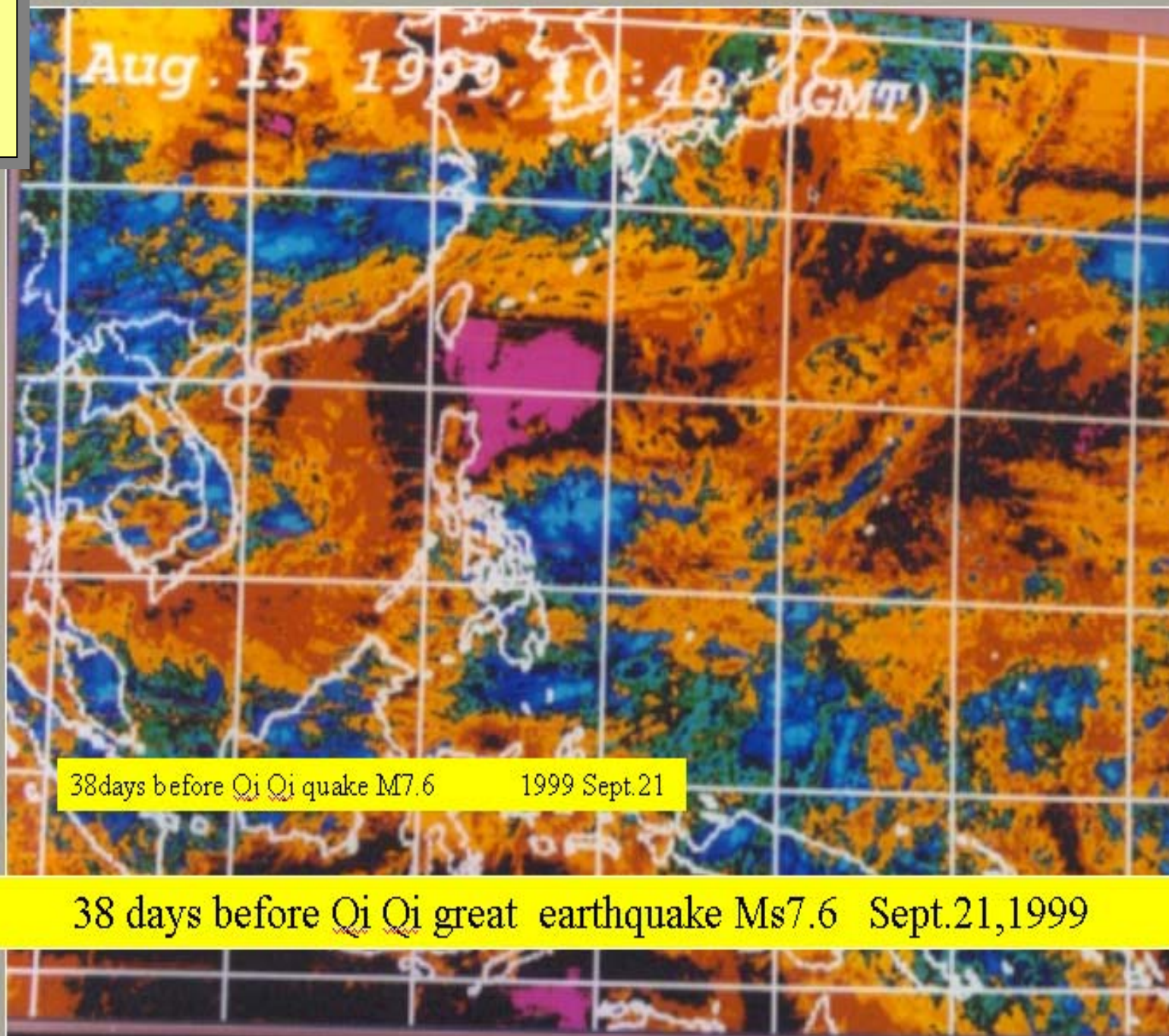
- QiQi Earthquake M7.6
- Lijiang Earthquake M7.0
- Gonghe Earthquake M7.0
- Tainan Earthquake M6.0
- Hualian Earthquake M6.8
- Changshou Earthquake M5.1
 - Jiashi Earthquake M6.6
- Tangshan Earthquake M4.7
 - Shahe Earthquake M4.0

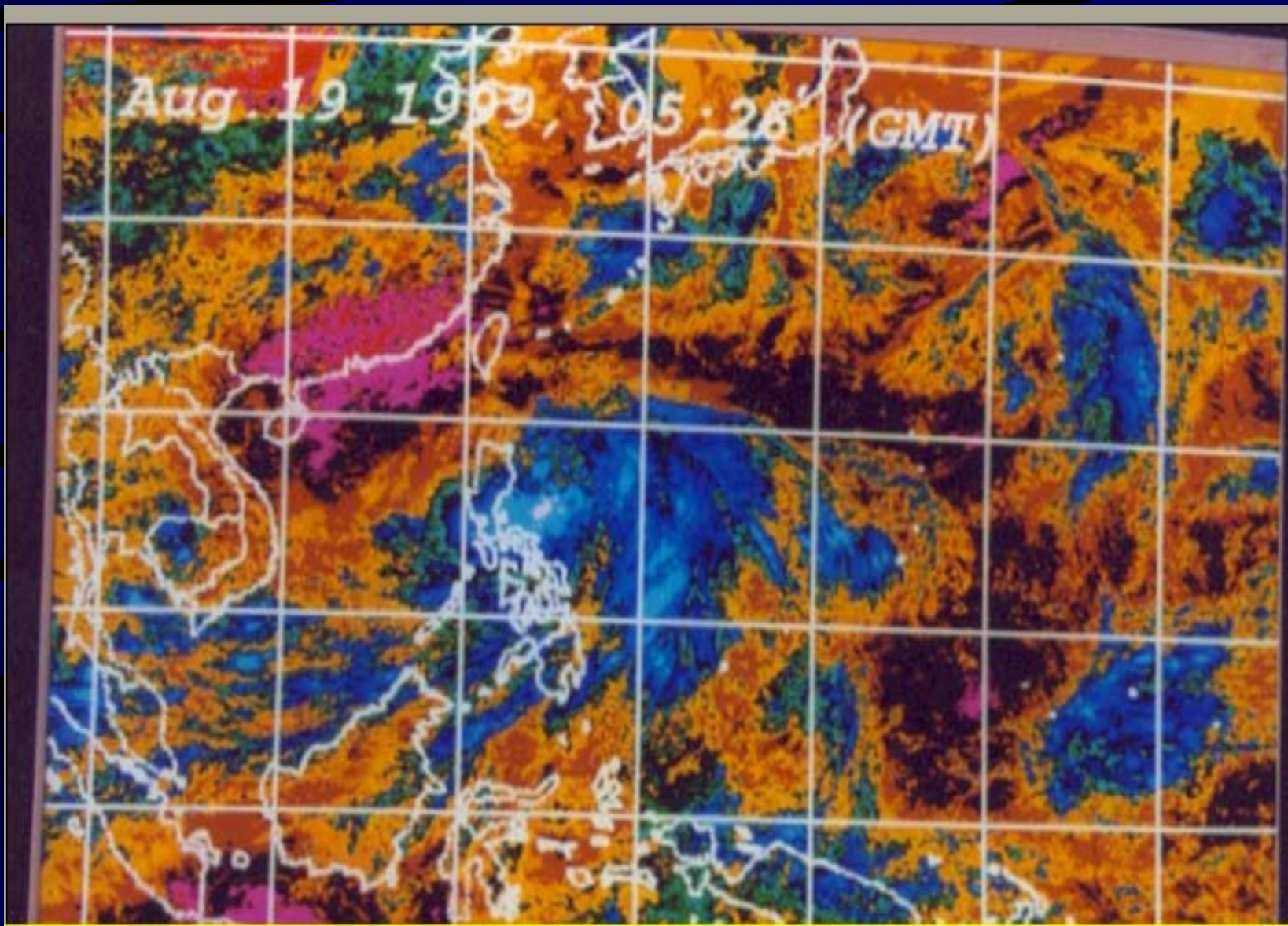
Earthquake precursors should enable a predictor to give the three elements of a future earthquake: (place, magnitude and time) (Max Wyss, 1993, former chairperson of Earthquake Prediction Committee, IASPEI .

Qi Qi great earthquake M7.6 M7.1, Taiwan

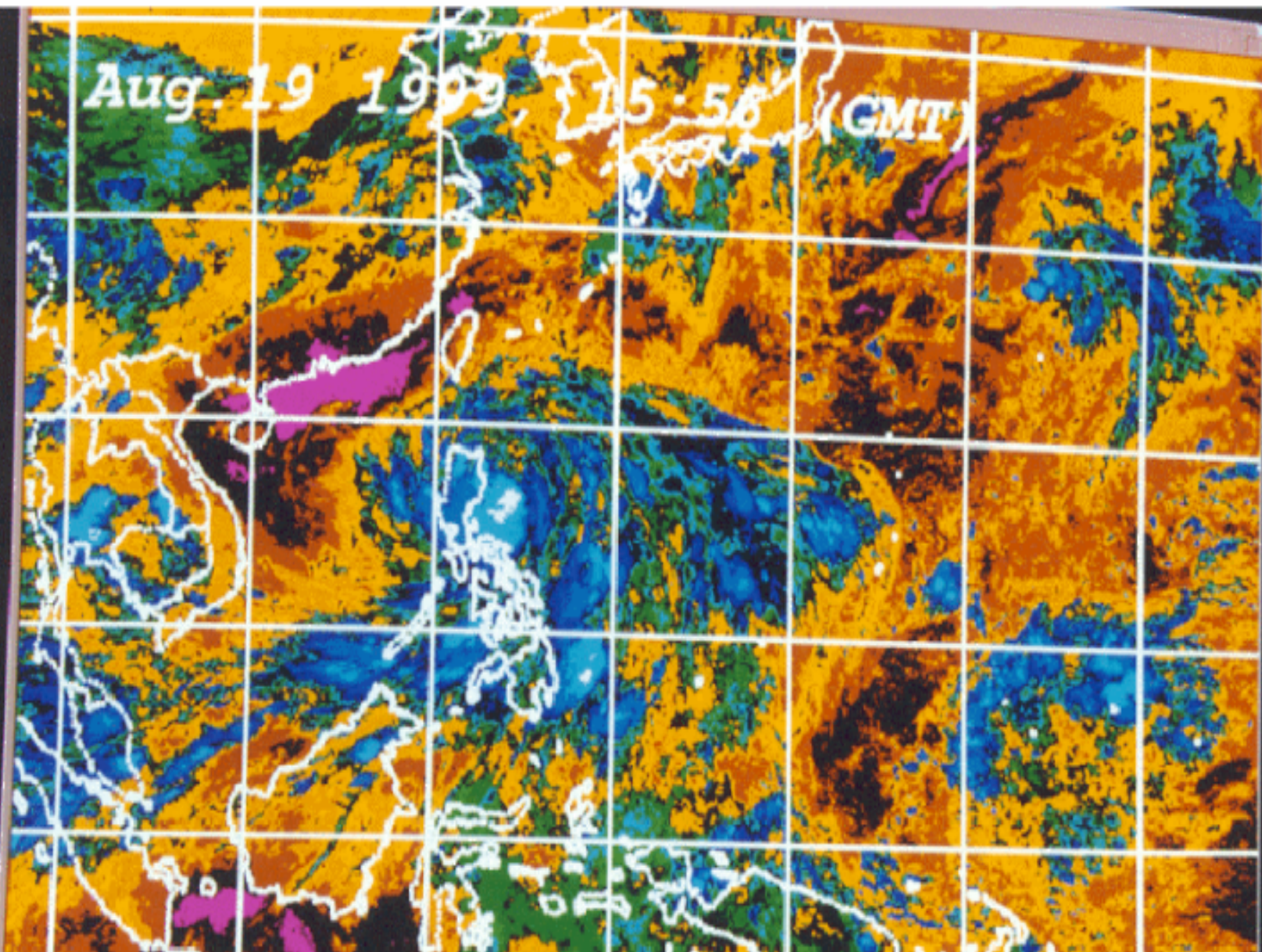
- Sept.21, 1999, 23.7°N, 121.1°E
- Predicted time: Sept.12-Oct.2, 1999
- Area: 24-25°N, 121-122°E
- Magnitude: $6.5 \pm$
- NO.73

**QZJ: QiQi
Earthquake**

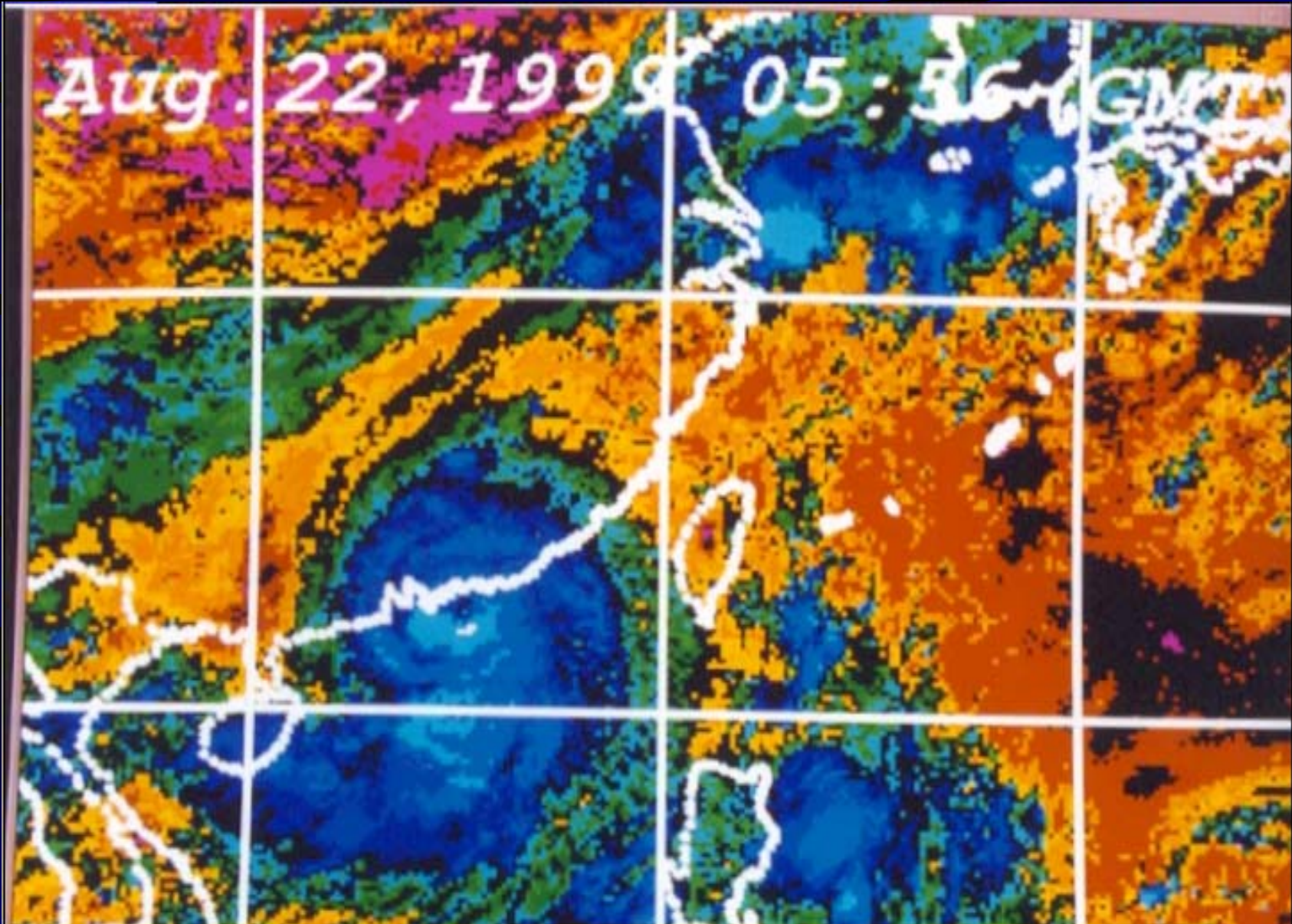




34 days before Qi Qi great earthquake M7.6 Sept. 21, 1999



34 days before Qi Qi great earthquake Ms7.6 Sept. 21, 1999



Aug. 22, 1999 05:56 GMT

31 days before Qi Qi great earthquake M7.6 Sept. 21, 1999

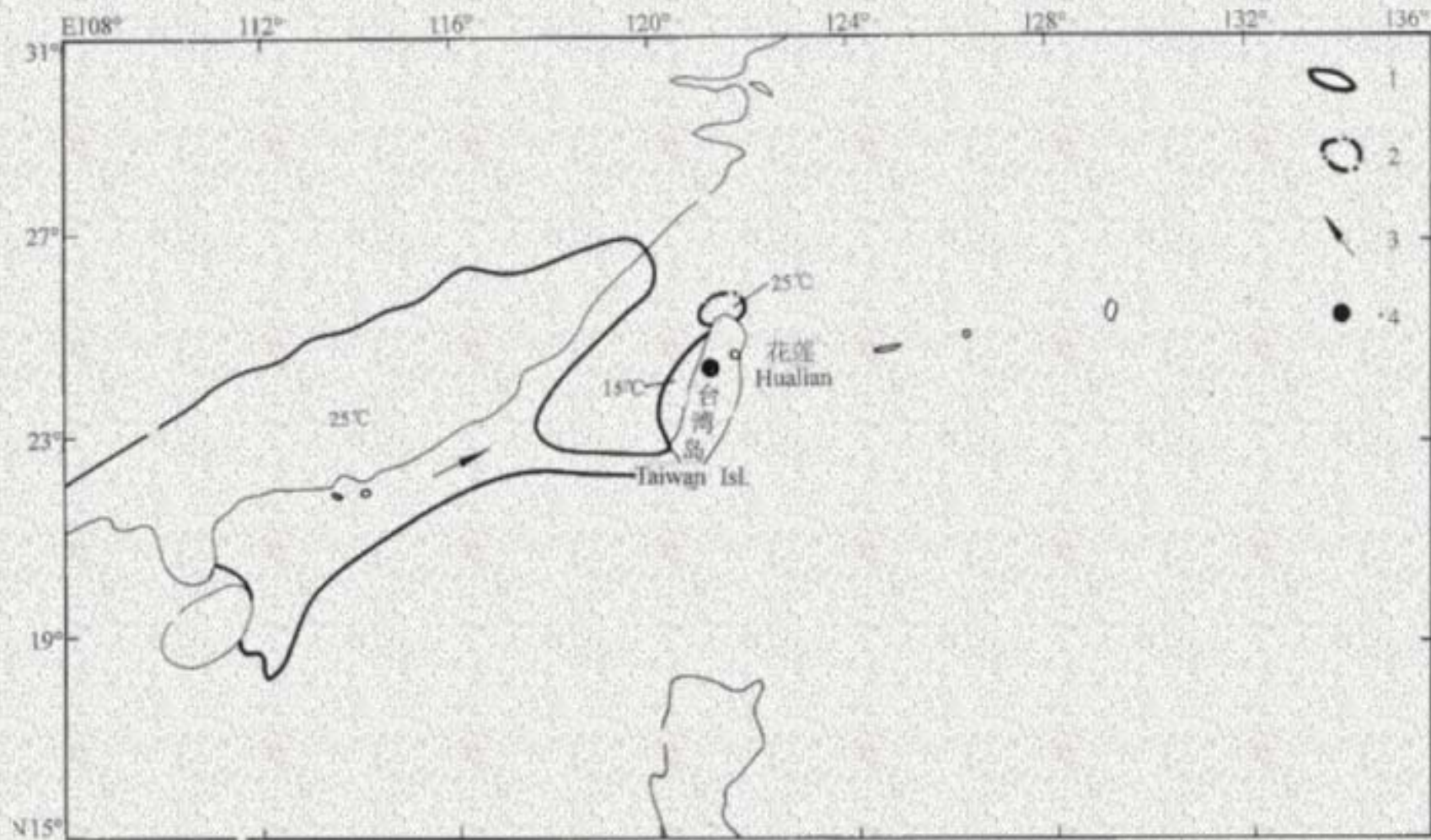


图 卫星热红外温度分布

Fig. The Satellite Thermal Infrared Temperature Distribution .

1. 1999年8月19日05:55(世界时)热异常边界 boundary thermal anomaly on Aug. 19, 1999 at 05:55(GMT);
2. 1999年8月19日15:55(世界时)热异常边界 boundary thermal anomaly on Aug. 19, 1999 at 15:55(GMT);
3. 1999年9月21日台湾Ms7.6级大地震震中(N23.7°, E120.9°), epicenter of great Taiwan Ms7.6 earthquake at N23.7°, E120.9°.

QiQi Taiwan
Predicted Card

短临预报卡片

预报实现所属级别: ○一级 ●二级 ○三级

预报内容:

1. 时间: 99年9月12日至99年10月12日

2. 震级 (Ms): 级数6.0级

3. 地域: 用封闭圆形绘于下面经纬网内, 并标注其圆形圆心的经纬度坐标。

经纬网:



上述预报内容的依据和方法:

(文字简明, 图样清晰, 提供定量公式, 可填写在背面或附页)

据近日卫星热红外扫描异常特征 (气象局 赵学)

预报的单位或集体签字:

王学勤 孙学敏 孙学敏

个人的预报签字:

孙学敏 侯学泰

所在单位签字:

预报时间: 1999年9月12日

通讯地址:

邮政编码:

等级标准	一级		二级		三级	
	时间	地域 (最大震级)	时间	地域 (最大震级)	时间	地域 (最大震级)
>7级	<40天	<200Km	<40天	<250Km	<40天	<250Km
6.5-6.9级	<30天	<150Km	<40天	<200Km	<40天	<200Km
6.0-6.4级	<15天	<120Km	<20天	<150Km	<20天	<150Km
5.5-5.9级	<10天	<100Km	<15天	<120Km	<15天	<120Km
	仅限于震源地区或首都大城市附近					
5.0-5.4级	无		<10天	<80Km	<10天	<80Km
			仅限于震源地区			

3. 单位或集体的预报应填全称, 一式二份, 一份寄所在省、自治区、市地震局(办)分析预报中心(室), 另一份寄北京市166信箱第一研究室收, 邮政编码100036。个人的预报应填所在单位全称和姓名及联系地址和邮政编码, 只寄所在省、自治区、市地震局(办)分析预报中心(室)一份。

4. 本卡片是专家评审的有效卡片, 自制的、复印的均无效。

以下接收部门填写

收到卡片时间:

收件人签字:

初审意见:

9月12日报给北京地震局初向学
学旭

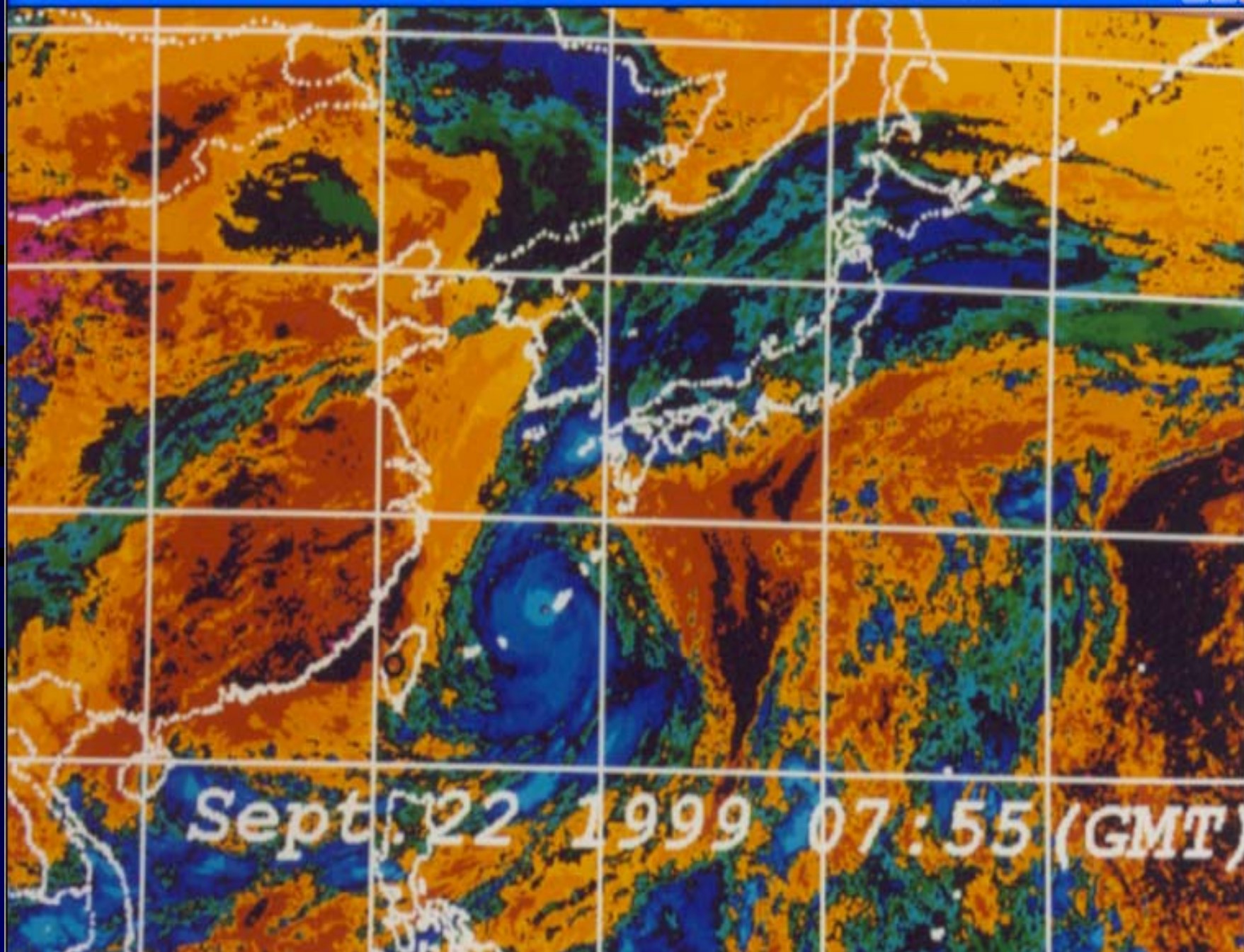
初审人:

年 月 日



Table 4 Check of the predicted earthquakes (1999-2000)

		Predicted & In fact		
1999		Location		Magnitude
1)	Sept. 12-Oct. 12	N24-25 E121-122.5	>6.0	
	Sept.21	Chi-Chi N23.7, E121.1		7.6
				7.0
2)	Sept.23- Oct.2	E120.5-121.5	7.0	
		N23.5-24.5		
	Sept. 26	Chi-Chi N23.9, E121.9	7.1	
3)	Oct.13-Nov.13	N23.5-24.5 E120.5-121.5		7.0
	Oct.13 <u>Jiayi</u>	N23.9, E121.2		5.4
	Oct.22 <u>Jiayi</u>	N23.6, E120.4		6.4
	Oct.22	N23.6, E120.4		6.1
	Nov. 2 <u>Hualian</u>	N23.5, E121.6		6.9



5 days before strong earthquake M7.1 Sept. 26, 1999

Table 4 Check of the predicted earthquakes (1999-2000)

		Predicted & In fact		
1999		Location		Magnitude
1)	Sept. 12-Oct. 12	N24-25	E121-122.5	>6.0
	Sept.21	Chi-Chi	N23.7, E121.1	7.6
				7.0
2)	Sept.23- Oct.2	E120.5-121.5		7.0
		N23.5-24.5		
	Sept. 26	Chi-Chi	N23.9, E121.9	7.1
				No.74
3)	Oct.13-Nov.13	N23.5-24.5	E120.5-121.5	7.0
	Oct.13 <u>Jiayi</u>	N23.9,	E121.2	5.4
	Oct.22 <u>Jiayi</u>	N23.6,	E120.4	6.4
	Oct.22	N23.6,	E120.4	6.1
	Nov. 2 <u>Hualian</u>	N23.5,	E121.6	6.9

填卡须知

1. 预报实现所属级别的确认, 只须将○涂实为●
2. 预报内容, 必须按照确认的级别所规定的等级标准填写;

预报标准	一 级		二 级		三 级	
	时间 (最大周期)	地域 (最大面积)	时间 (最大周期)	地域 (最大面积)	时间 (最大周期)	地域 (最大面积)
>1级	≤40天	≤200Km	≤40天	≤200Km	≤40天	≤200Km
0.5-0.9级	≤30天	≤150Km	≤40天	≤200Km	≤40天	≤200Km
0.0-0.4级	≤15天	≤120Km	≤20天	≤150Km	≤20天	≤150Km
0.1-0.3级	≤30天	≤100Km	≤15天	≤120Km	≤15天	≤120Km
	仅限于实际地区或 国际气象站覆盖					
0.2-0.4级	无		≤10天	≤80Km	≤10天	≤80Km
			仅限于实际地区			

3. 单位或集体的预报应填全称, 一式二份, 一份寄所在省、自治区、市地震局(办)分析预报中心(室), 另一份寄北京市166信箱第一研究室收, 邮政编码100036, 个人的预报应填所在单位全称和姓名及联系地址和邮政编码, 只寄所在省、自治区、市地震局(办)分析预报中心(室)一份。

4. 本卡片是专家评审的有效卡片, 自制的、复印的均无效。

以下接收部门填写

收到卡片时间:

报卡人签字:

初审意见:

中国地震局地质研究所地震分析预报中心 蔡勇 收
姓名

初审人:

年 月 日

短临预报卡片

预报实现所属级别: ○一级 ●二级 ○三级

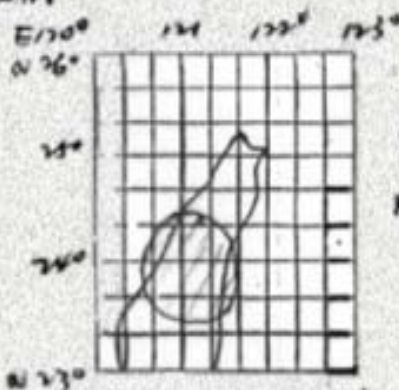
预报内容:

1. 时间: 99年9月23日至99年10月2日

2. 震级(Ms): 一级至7.0级

3. 地域: 用封闭图形绘于下面经纬网内, 并标注其图形拐点的经纬坐标。

经纬坐标:



预报:

台湾与梅花山附近
(南极)地区强震

网眼单位: 1/3度(20分)

N 23.5° ~ N 24.5°

E 120.5° ~ E 121.5°

上述预报内容的依据和方法:

(文字简明, 图件清晰, 提供定量公式, 可填写在背面或附页)

预报已呈报1254号1卷并录于12

预报的单位及集体签字:

个人的预报签字:

所在单位签字:

蔡勇
侯常景

预报时间: 99年9月23日

通讯地址:

邮政编码:

卫星热红外方法对近期台湾

地震的短临预报证明

9月12日和23日我局先后收到强祖基教授对台湾地震的两次短临预报意见(见附件),预报采用了卫星热红外的预测方法。

地震实况表明,在第一个预报时段内,台湾花莲-南投地区已发生 M_s 6.0级强震5次,最大为7.6级,在第二个时段已发生7.1级强震,预报三要素均正确,已取得良好预报效果,特此证明。

北京市地震局科技监测处

1999年10月10日



Certificate of Predication
Accuracy issued by Beijing
Municipal Bureau of Earthquake,
which affirmed that my
predictions of Taiwan QiQi Big
Earthquake and subsequent
aftershocks were correct.

填卡须知

62614167

短临预报卡片

1. 预报实现所属级别的确认, 只须将○涂实为●
2. 预报内容, 必须按照确认的级别所规定的等级标准填写,

预报标准	一 级		二 级		三 级	
	时 间	地 域 (最大范围)	时 间	地 域 (最大范围)	时 间	地 域 (最大范围)
>1级	<10天	<200Km	<10天	<250Km	<40天	<250Km
4.1-4.3级	<30天	<150Km	<10天	<200Km	<40天	<200Km
4.4-4.6级	<15天	<120Km	<30天	<150Km	<30天	<150Km
4.7-4.9级	<30天	<100Km	<10天	<120Km	<15天	<120Km
	仅限于首都地区或 重要大城市附近					
4.9-5.1级	无	无	<10天	<90Km	<10天	<80Km
			限首都圈地区			

3. 单位或集体的预报应填全称, 一式二份, 一份寄所在省、自治区、市地震局(办)分析预报中心(室), 另一份寄北京市166信箱第一研究室收, 邮政编码100034, 个人的预报应填所在单位全称和姓名及联系地址和邮政编码, 只寄所在省、自治区、市地震局(办)分析预报中心(室)一份。

4. 本卡片是专家评审的有效卡片, 自制的、复印的均无效。

以下接收部门填写

收到卡片时间:

收件人签字

初审意见:

北京市地震局

高旭村局长收

初审人:

年 月 日

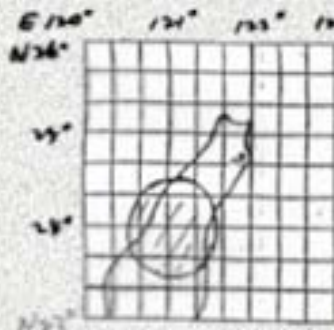
预报实现所属级别: ○一级 ●二级 ○三级

预报内容:

1. 时间: 99年10月13日至99年11月13日

2. 震级(级): 7.0级

3. 地域: 用封闭图形绘于下面经纬网内, 并标注其图形拐点的经纬坐标,



上述预报内容的依据和方法:

(文字简明, 图例清晰, 提供定量公式, 可填写在背面或附页)

接近口已是热红外增径车车特征

预报的单位及集体签字:

王学热红外增径组

个人的预报签字:

张进美

填报时间:

所在单位签字:

99年10月15日

通讯地址:

侯李松

邮政编码:

北京市地震局

卫星热红外方法预测地震 效果证明

十月十五日我局收到强祖基教授等人送交的 1 份短期预测意见, 提出: 1999 年 10 月 13 日至 11 月 13 日将在台湾南投一带发生 7.0 级地震。地震实况表明, 这次地震预报基本正确, 1999 年 10 月 22 日在台湾嘉义、南投间发生 6.4 级地震, 发震时间和地点正确, 震级略小, 特此证明。

北京市地震局科技监测处

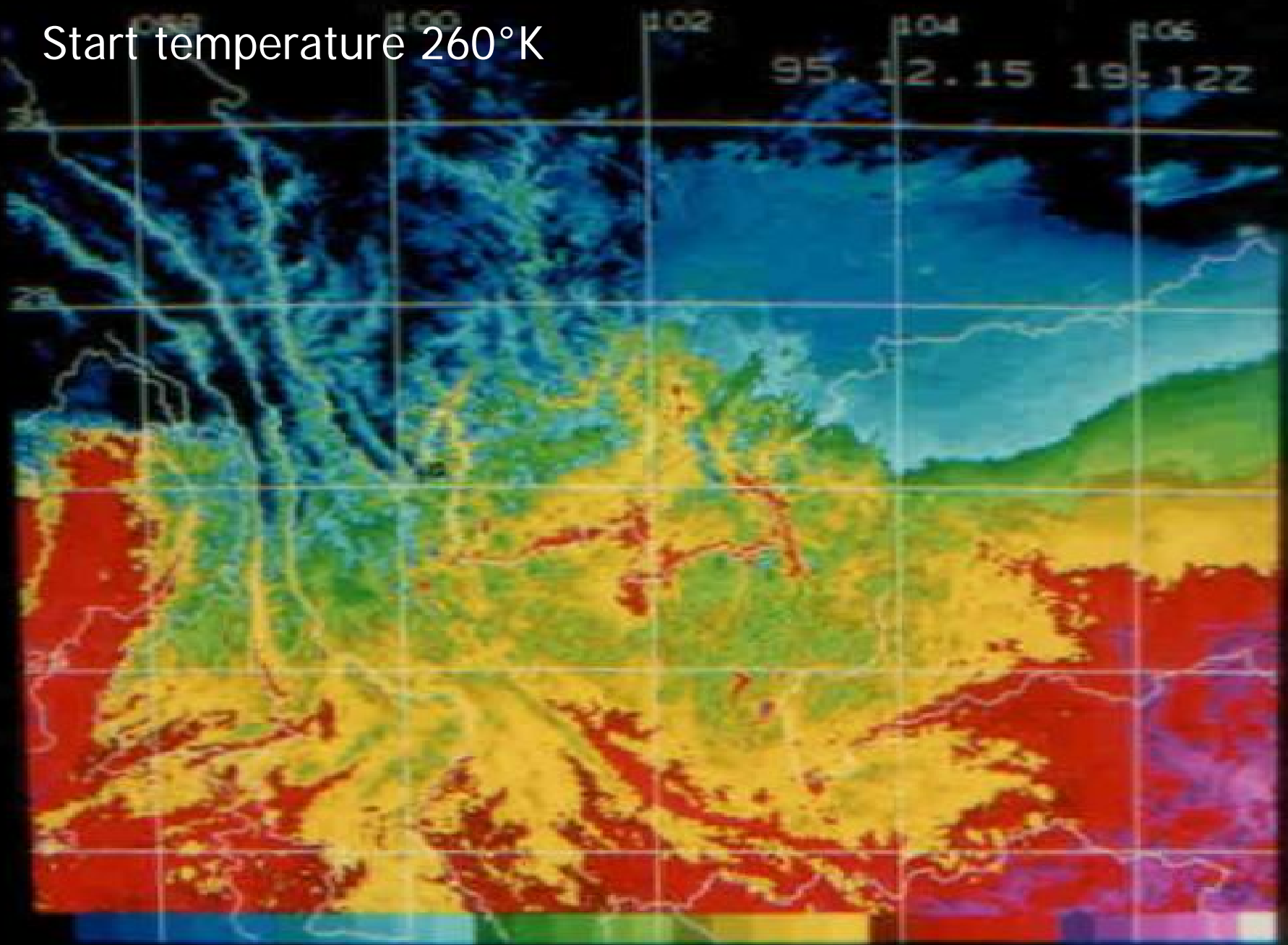
1999 年 11 月 8 日

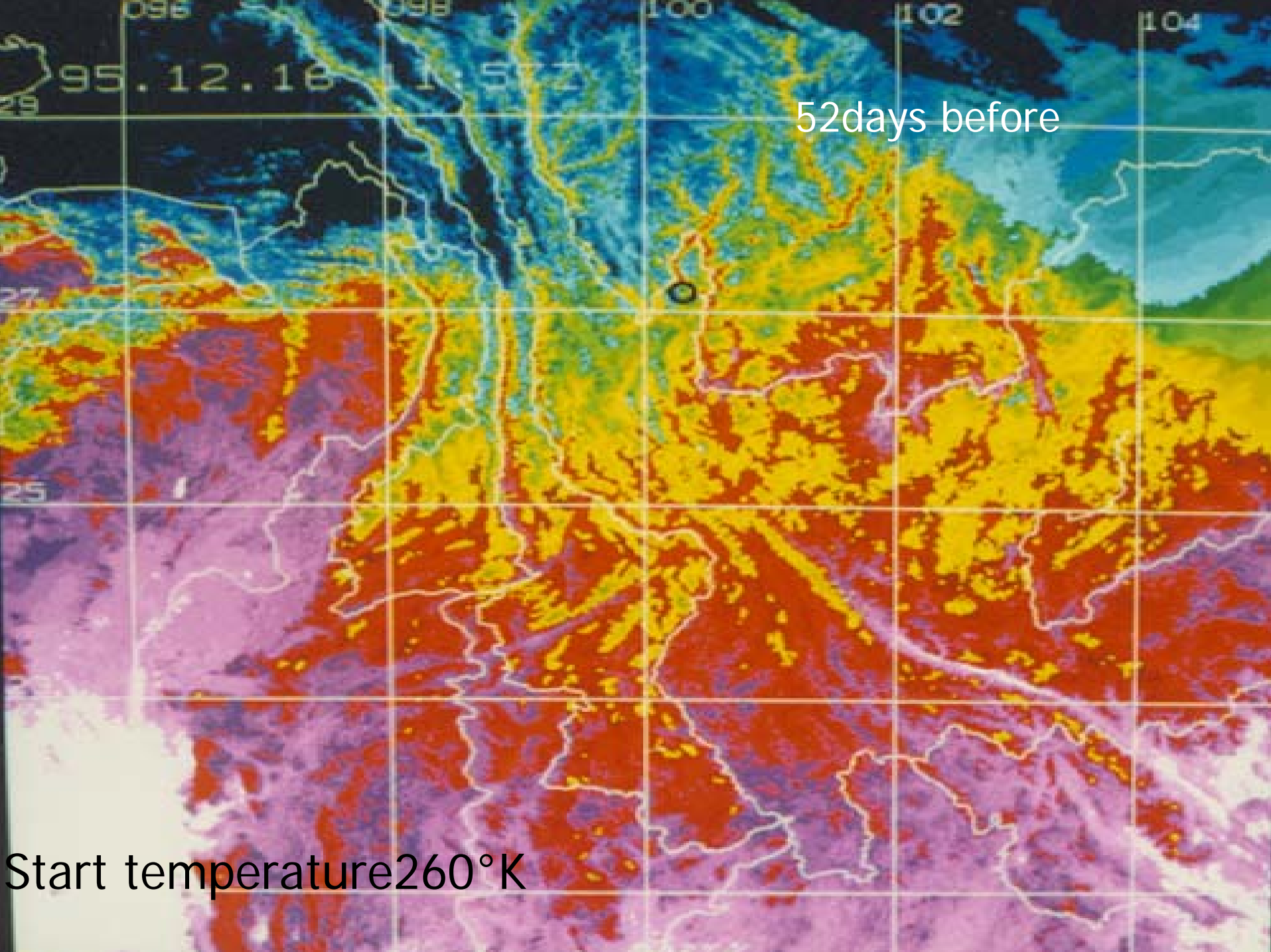
Certificate of Predication Accuracy
issued by Beijing Municipal Bureau of
Earthquake, which affirmed that my
predictions of Taiwan QiQi Big
Earthquake and subsequent aftershocks
were correct.

Lijiang Earthquake M7.0

- February 3, 1996 27.2°N, 100.3°E
- Predicted time: Dec. 16, 1995 - Jan. 25, 1996
- Area: 25-27°N, 101-103°E
- Magnitude: 6.5-6.9
- No. 32

Start temperature 260°K





52days before

Start temperature 260°K

QZJ:03/02,1996

云南丽江M7.0

QZJ:

震中差120Km,
时间提前9天

填卡须知

1. 填报单位所属级别的确认, 只填得○空圆为●
2. 填报内容, 必须按照确认的级别所规定的字体格式填写;

填报日期	一级		二级		三级	
	时间	地点 (最大震级)	时间	地点 (最大震级)	时间	地点 (最大震级)
20世纪	<10天	<100Km	<10天	<100Km	<10天	<100Km
1.3-4.3世纪	<10天	<100Km	<10天	<100Km	<10天	<100Km
4.3-9.3世纪	<10天	<100Km	<10天	<100Km	<10天	<100Km
9.3-14.3世纪	<10天	<100Km	<10天	<100Km	<10天	<100Km
	仅限于多震地区或 烈震大震震害区					
14.3-19.3世纪	无		<10天	<100Km	<10天	<100Km
			仅限于多震地区			

3. 单位或集体的填报应填全称, 一式二份, 一份寄所隶属、自治县、市地委局(办)分所报核中心(室), 另一份寄云南省168信箱第一研究室收, 邮政编码100010, 个人的填报应填所在单位名称和姓名及籍贯地址和邮政编码, 只寄所隶属、自治县、市地委局(办)分所报核中心(室)一份。

4. 本卡片是专家评审用的底卡片, 自制的, 复印的均无效。

以下报核部门填写

收到卡片时间:

收到人签字:

初审意见:

日期:

1996年12月3日 19:14 127° 6' 100.8" 1170

初审人:

年 月 日

短临预报卡片

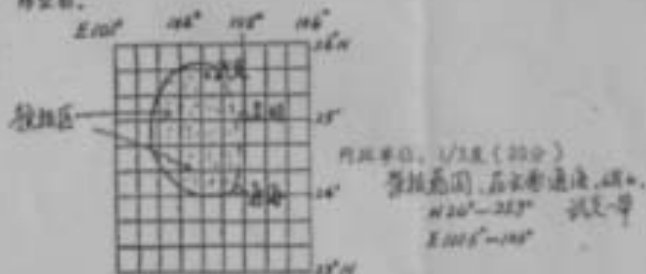
预报单位所属级别: ○一级 ●二级 ○三级

预报内容:

1. 时间: 95年12月16日至96年1月24日

2. 震级(M_s): 6.5级至6.9级

3. 地域: 用封闭图形标于下经纬网内, 并标注震源标点的经纬坐标。



上述预报内容的填报方法:

(文字简明, 图形清晰, 提供震级中心, 可填写震害或特征)

填报 1995年12月10日 云南省地震局丽江分所
李玲

预报的单位或集体名称:

3L/A20

个人的填报签字, 呈呈姓名外填姓名 所在单位名称

李玲

住家

填报时间: 1995年

通讯地址:

丽江

邮政编码: 100029

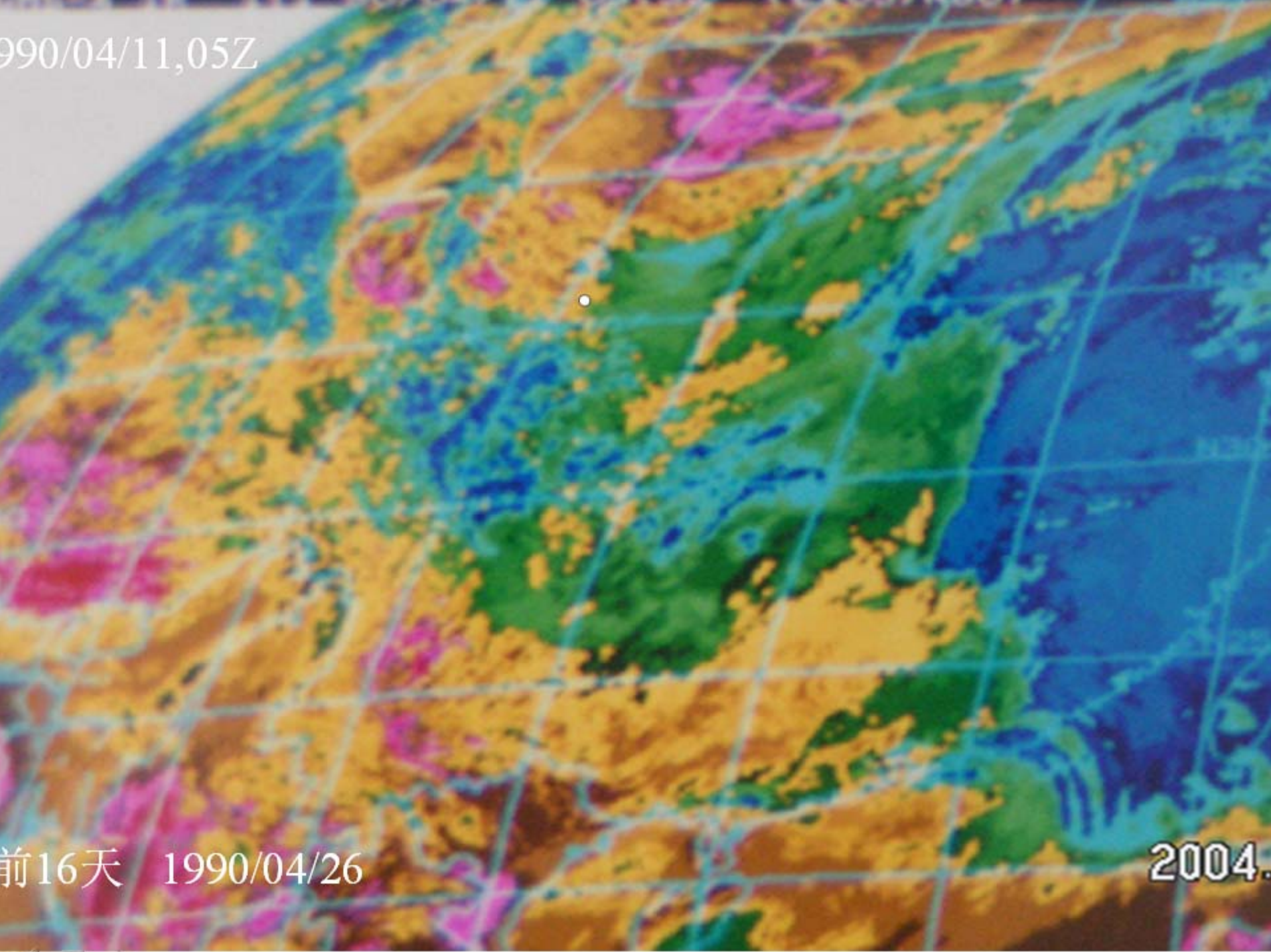


Gonghe Earthquake M7.0

Ganshu Province

- April 26, 1990 36.1°N, 100.3°E
- Predicted time April 17-25, 10 days before
- Magnitude: 6.5-7.5
- Area: 36-38°N, 99-101°E
- No. 2

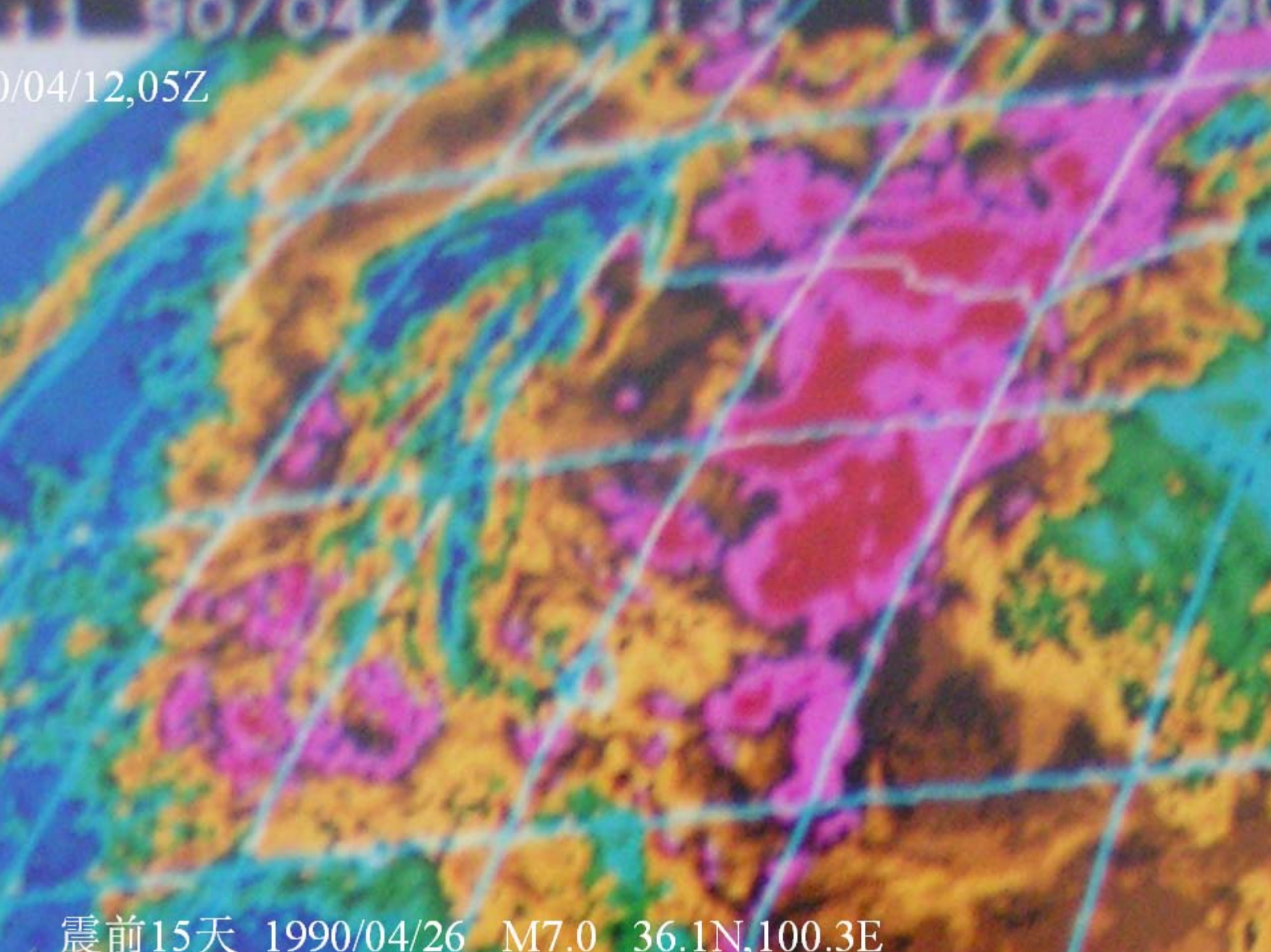
1990/04/11,05Z



前16天 1990/04/26

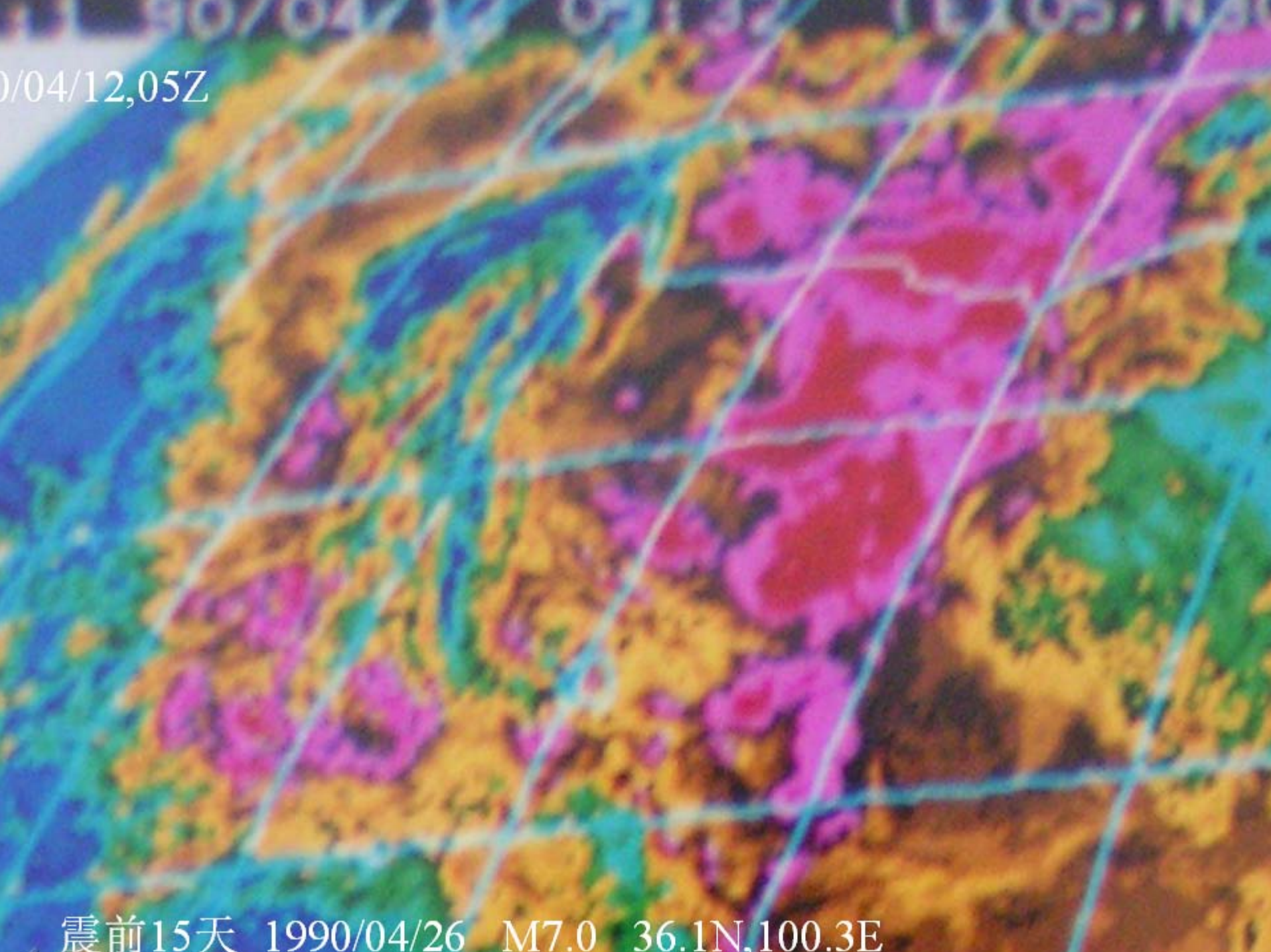
2004.

0/04/12,05Z



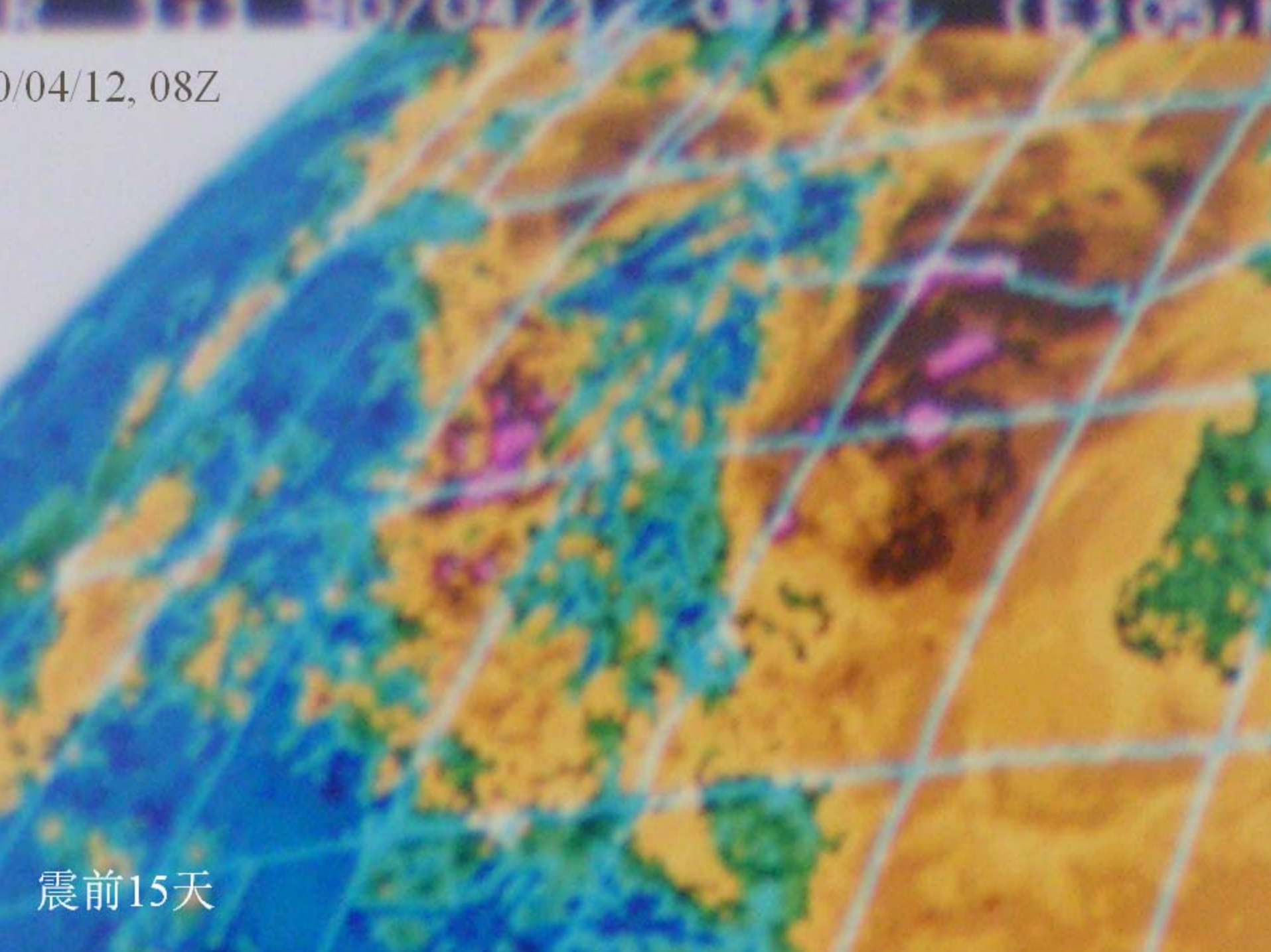
震前15天 1990/04/26 M7.0 36.1N,100.3E

0/04/12,05Z



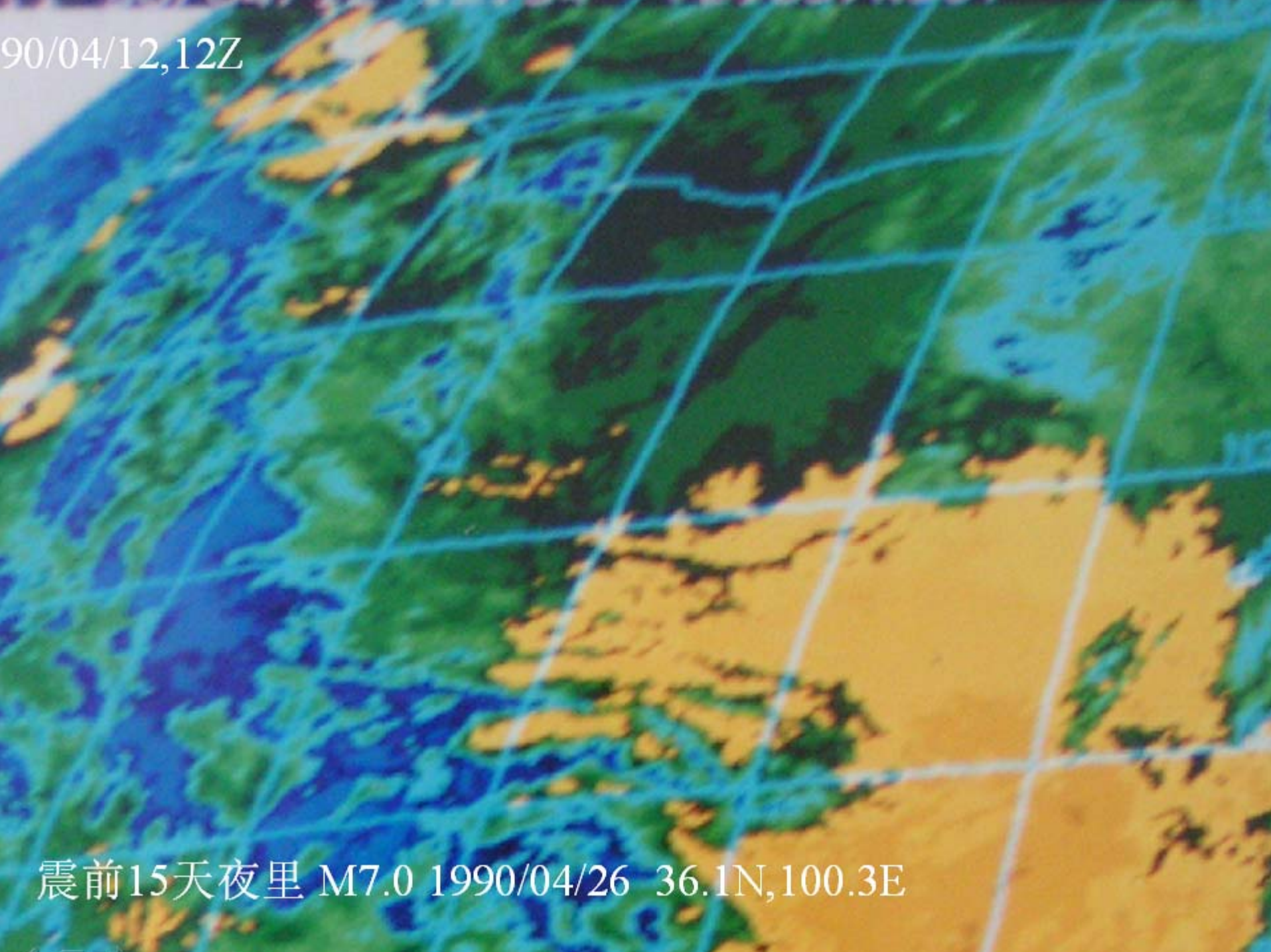
震前15天 1990/04/26 M7.0 36.1N,100.3E

0/04/12, 08Z



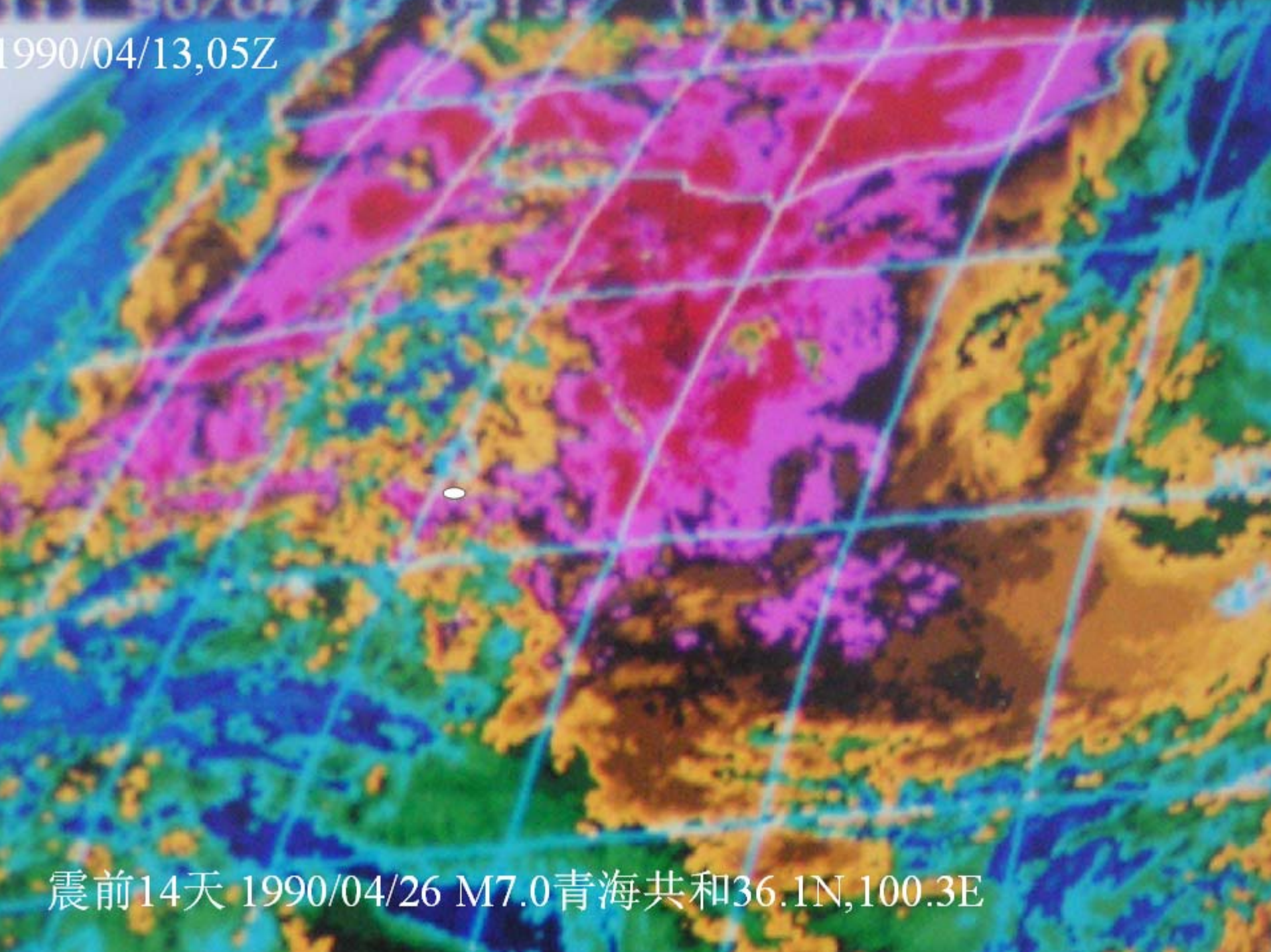
震前15天

90/04/12,12Z



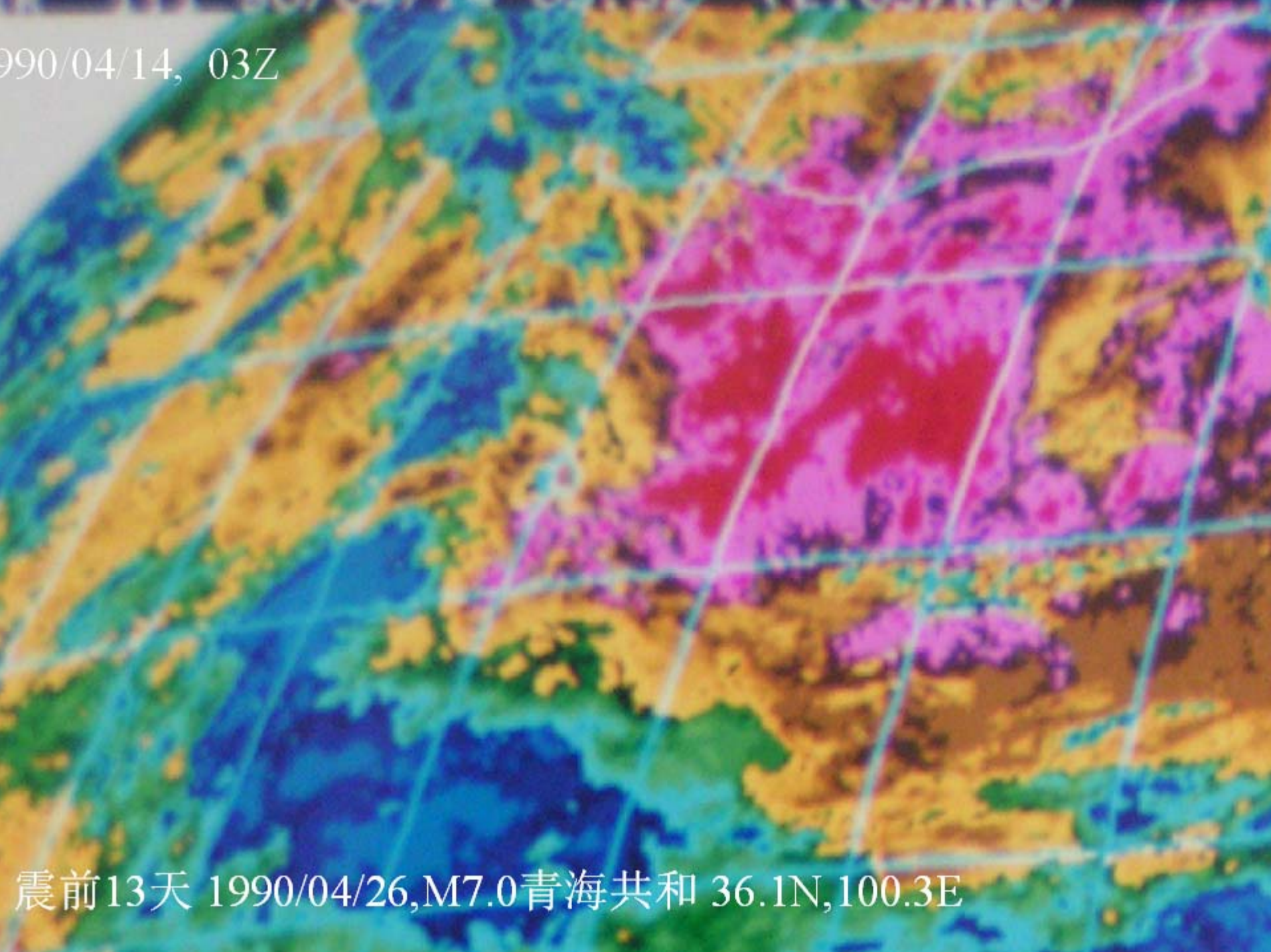
震前15天夜里 M7.0 1990/04/26 36.1N,100.3E

1990/04/13,05Z



震前14天 1990/04/26 M7.0青海共和36.1N,100.3E

1990/04/14, 03Z



震前13天 1990/04/26, M7.0 青海共和 36.1N, 100.3E

临震预报

1. 根据 4月14日 气象卫星热红外异常, 异常范围 $E100^{\circ}$ - $E110^{\circ}$, $N36^{\circ}$ - $N42^{\circ}$, 初始异常时间4月12日, 异常方位在 $N20^{\circ}$, $E95^{\circ}$ (海面), $N27^{\circ}$, $E87^{\circ}$ 又有热异常存在

2. 预报 近日在甘肃宁夏一带, 宁夏, 银川一带, 将发生 6.5 级 - 7.5 级地震, 有效期可延至 4月25日

预报人

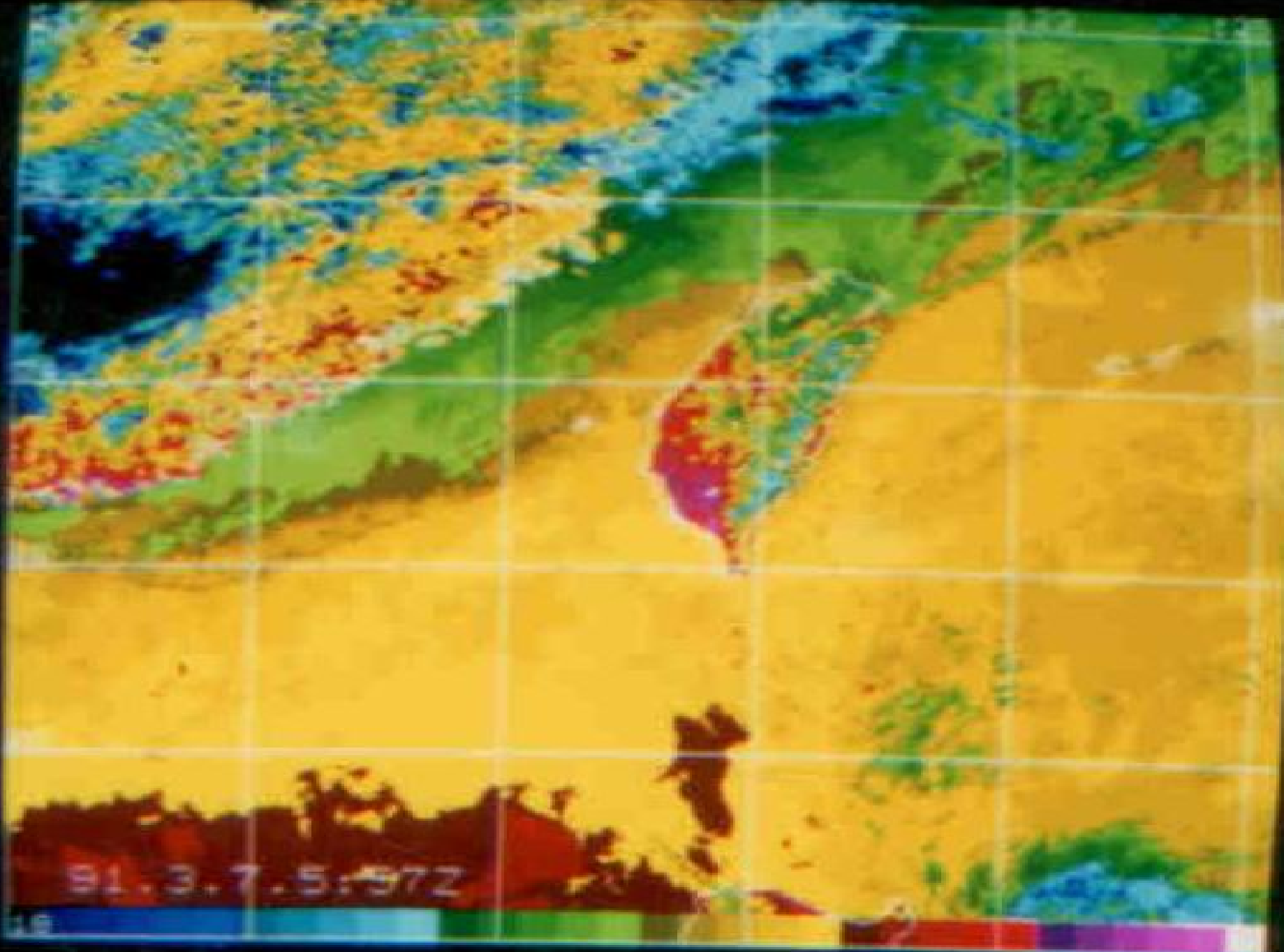
国家地震局地质研究所
强社基、徐彦登
国家气象卫星中心
侯常基

1994年4月17日
1107-203

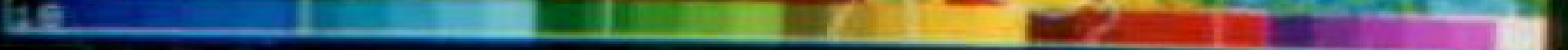
Earthquake predicted Card

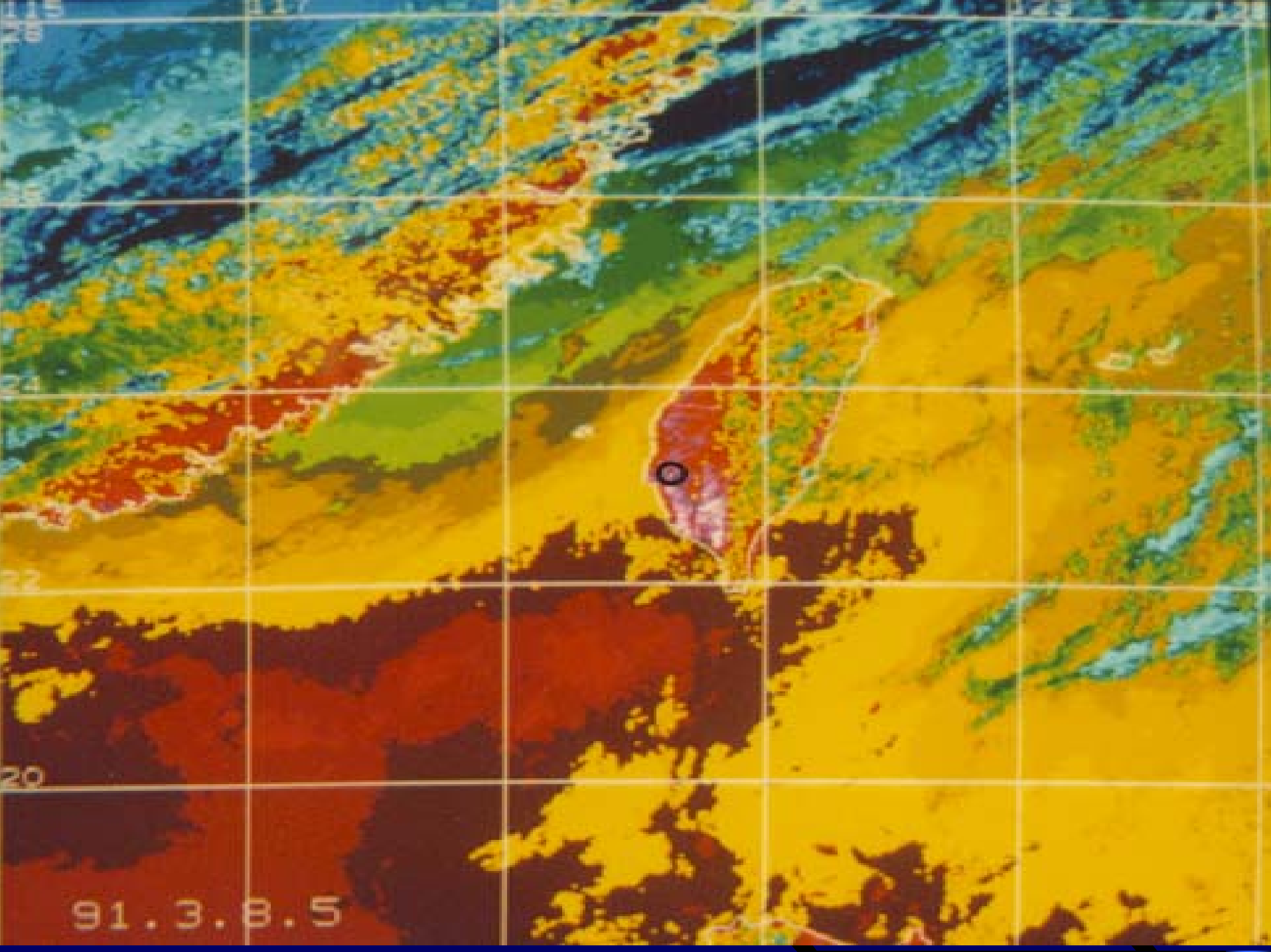
Tainan Earthquake M6.0 Taiwan

- March 12, 1991 23°N,120.3°E
- Predicted time March 7-17,6days before
- Area:22-23°N,120-121°E
- Magnitude:5-6
- No.7



91.3.7.5:572





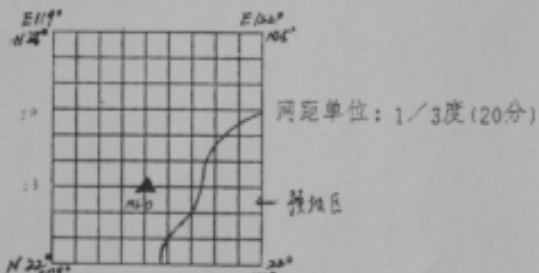
预报实现所属级别：○一级 ○二级 ○三级

预报内容：

1. 时间：1991年3月7日至1991年3月17日

2. 震级 (M_s)：5级至6级

3. 地域：用封闭图形绘于下面经纬网内，并标注其四形拐点的经纬坐标。



上述预报内容的依据和方法：

根据1991年3月6日在岛湾地区出现呈热红叶异常 (范围 $N20-23^{\circ}30'$, $E121-124^{\circ}$)

预报单位 (室、集体、个人) 签章：



签字：呈呈热红叶异常地区
孙丽达 侯春荣

填报时间：1991年3月7日

以下接收部门填写：

收到卡片时间：

初审人：

初审意见：

1991.3.12 N23°, E120.3° M6.0 孙丽达

EQ Predicted Card

江苏常熟-太仓5.1级地震 的监测预报和现场工作

李宜翔
(国家地震局科技监测司)

《国际地震动态》
(1990年第3期)

摘 要

本文简要介绍了江苏常熟-太仓5.1级地震的监测预报和现场工作, 以及震害损失的初步调查程度, 震灾评估及现场工作, 以及地震震害的预测预报。

1990年2月10日凌晨, 江苏省常熟以东发生了一次5.1级地震。该地震发生在我国人口稠密、经济发达的长江三角洲地区, 波及范围十几个大中城市, 社会影响比较大, 引起了各级政府的极大关注。地震当天上午国家地震局方秘书长和专家4人赶赴震区, 会同江苏省人民政府吴保华副省长等一起察看灾情, 对灾区人民表示亲切慰问并指导抗震救灾工作。震后一个半小时江苏省地震局即派出科技人员奔赴现场; 上海市、浙江省地震局也先后赶到现场。地震现场的60多名地震工作者在统一部署下, 井然有序地开展了余震监视预报、震害考察、震灾评估、社会经济调查、地震知识及防震减灾知识宣传等综合地震对策工作。为安定民心, 稳定社会秩序以及迅速恢复当地工农业生产起到了积极作用, 收到明显社会效益并受到当地政府的好评。

地震参数及宏观程度

根据江苏省地震局对31个区域台及传输台网资料分析, 以及邻近10个台群相临台资料处理, 得到这次地震的震源参数及震源机制解如表1、表2。

经过现场考察, 确定宏观震中在常熟市与太仓县之间的沙溪乡, 离微震震中点约5—7公里。震源区在沙溪乡的制沙至沙北一段, 西宽东窄, 六度区呈东西向, 长轴9公里, 短轴3.5公里, 总面积约30平方公里; 五度区约150平方公里(会昆由县一个烈度异常点除外)。

表1 常熟-太仓地震震源参数

震源时间	1990年2月10日01:07:03.7 (±0.2)
震 中	30°43'
震 源	121°09'
震源深度	15公里
震 级	5.1
震 类	常熟-太仓

表2 常熟-太仓地震震源机制解

	走向	倾向	压力	张力	剪力
专题1	5°	30°	50°	—	—
专题2	131°	200°	60°	—	—
T轴	—	—	—	120°	40°
P轴	—	—	—	54°	8°
OP, 轴	—	—	—	92°	33°
OP, 轴	—	—	—	301°	33°
T轴	—	—	—	212°	40°

震灾评估及现场工作

现场采取统一标准, 分类统计, 抽样调查等办法与当地政府一并统计, 结果是:

房屋破坏共2.7万户, 18万余间, 其中严重破坏只占3%, 人员伤亡300人, 其中非常死亡2人, 直接受伤8人, 间接受伤14人; 经济损失约1.3亿元, 其中农村房屋破坏造成的损失约占70%, 多数企业占20%。

一个中等强度的地震造成如此大的损失, 究其原因有二: 一是改革开放十年来苏南地

Certificate Of Prediction Accuracy issued by vice director of department of Earthquake Prediction, CEA

Certificate Of Prediction Accuracy issued by vice director of department of Earthquake Prediction, CEA

国家地震局在接待以藤田隆二为团长的日本航空宇宙工业会代表团时，当听取了“卫星热红外增强前兆——地震短临预报”、“卫星红外岩石破裂实验研究”等专题介绍后，日本客人说：“想不到在利用航天技术方面，中国在地震研究方面超过了我们”。

作为国家地震局“八五”科技攻关项目，在经费严重不足的情况下，该项研究能够取得为世界同行称赞的进展，这与国家科委高技术司、国防科工委、地震科学联合会、振兴中华教育科学基金会（侨办）以及何鸿章航天科技人材培训基金会的大力支持密不可分。同时，

改革开放的政策也发挥了巨大的作用，国家气象局发扬大协作精神，不计报酬地为研究人员提供了大量的卫星图片资料。

目前，卫星热红外地面增强作为地震短临前兆的研究还是初步的，仍有许多问题有待深入研究，如云层干扰问题、异常机制问题以及扩大监测范围问题等。我们深信，随着我国航天技术的发展和科学人员的不懈努力，一定能拿出高水平的研究成果，为人类利用航天技术对地震自然灾害做出更大贡献。

(国家地震局科技监测司 李宜琛
副司长)

拉恰地震的追踪

斯特拉霍夫(B. H. Стрехов)

1991年4月29日发生的拉恰地震是高加索整个地震观测历史上最强地震。在地震区内，过去一般没有报道过如此巨大能量的地震(震级约为7级)，即这次地震又一次填补了原有的普通地震区划图的不足之处。

实际上，在1988年斯皮塔克地震后就编制了临时的高加索地震危险图，参与编制此图的有：俄罗斯地球物理研究所及其他地质、地震研究所和外高加索地区有关机构的专家。在这张图上，大高加索的整个斜坡都是地震的9度区。而在未来地震所在的地区，即格鲁吉亚的拉恰和南奥塞季(South Ossetia)，则划出了长期的地震警戒区。但是，由于在得到对某地区强震的科学预报时，还没有制定出具体管理机制，这使得政府不能为所预报的地震灾害做好准备。

也就是说，社会还不能在实际利用地震预报领域的科学结果(即使是不完善的)，这就是拉恰地震的第一个教训。

这次地震以后已经很清楚，高加索已进入地震的活跃期。在近10年里(由1992年的喜马拉雅地震开始)，从来没有发生过这样的强震。然而，现在就在这里，3年内就发生了两次。

如果考虑斯皮塔克和拉恰地震后大量的剩余震以及第比利斯东北方向100 km的1992年强震，则无可置疑，地球内部的地震活动过程已经开始，而且它正在沿高加索地区逐渐扩展。

在分析地震震情的基础上，某些地震学家得出结论，认为这是在不远的将来可能发生强震。但是，由于苏联的解体及普遍的政策不稳定性，统一的区域地震台网分裂了，致使对高加索震情不能进行完整的跟踪，因此，当时也未必能够及时查明下次地震的地点。这是拉恰地震的第二个教训。

若干年前，两位著名的美国学者P. C. Ombro和P. C. Rice曾指出“盲”地震的危险性。这种地震的震源与未出露地面的地质结构的运动有关。拉恰地震看来就是这种“隐伏”地震。几个月的野外工作结果，以及俄罗斯、格鲁吉亚、法国、英国和美国专家在震中区进行的地质、地球物理观测的结果都证明这一点。

这里使用了最先进的仪器和研究方法，仍未制找到大断裂(地壳内的断层)。其证据可能孕育拉恰地震的震源。但是，在地下8-10 km

Hualiang Earthquake M6.8 Taiwan

- April 20, 1992 23.8°N, 121.7°E
- Predicted time April 17-27, 4 days before
- Area: 23-24°N, 121-122.5E
- Magnitude: 6.0-6.5
- No. 14

类别: A 部门(盖章)

年: 1992.4.17 编号: 9200



1992. 4. 20

M 6.8

台湾花莲海岸

19

N 23.8

E 121.7

会商时间: 1992.4.17 地点: 办公室

主持人: 孔令扬

预报意见: 专家预报, 根据 4月16日在台湾东部5号热红叶异常, 2.17日5号热红叶家北已发展到台湾海峡北部及台湾岛

时间: 从3日起至5日4时

区域: 台湾海峡、台湾东部海域、台湾东部海域琉球群岛

震级: 台湾海峡4-5级、台湾东部海域及台湾岛东部海域琉球群岛5-6级

上报时间和部门: 预报人 张世基(向世时)

侯宗泰(5号至5时)

说 明

1. 类别: 指分析预报工作管理条例第21条中的A、B、C、D四类。
2. 预报意见:
 - A类必须明确填报地震可能发生的时间段(三个月内), 哪些地县区域以及震级范围。
 - B类必须明确填报地震可能发生的若干地县区域 范围和震级范围; 时间至少为几个月以上, 甚至二、三年。
 - C类只指出未来一定时间内可能发生中强以上或较大地震。区域范围可较大。
 - D类必须明确指出未来一定时间某区域范围内没有破坏性地震或可能引起较强社会反应的地震发生。
3. 预报效果评价包括地震活动实况、三要素预报的正确程度、预报依据的科学性以及决策能力评估。

EQ Predicted Card

科技日报

强祖琴

SCIENCE AND TECHNOLOGY DAILY 代号 1-97

1993年8月13日 星期五 癸酉年六月廿六 总第2567期 国内统一刊号 CN11-0078

谁先抱个“金娃娃”。

●卫星遥感临震预报研究有进展

●国产字幕机独揽七运会直播

●天然药物地理学研究日臻成熟

本报讯 由国家地震局地质所承担的“八五”科技攻关项目，“卫星遥感热红外临震异常的研究”，目前已取得较大进展。

这项研究主要利用卫星遥感数据中热红外图象的处理技术，采集临震温度的信噪比，进行地震临震大气温室气体采样分析，目的是发现地震前卫星热红外增温前兆，从而提高地震的临震预报准确性。

自去年以来，该专题在卫星遥感图象分析、排除云层干扰、利用热红外波段结合气象台站气温资料进行临震预报方面取得较好的进展。截止今年8月，已采用该方法进行地震预报多次，其中较准确和较好预报的有4次。1992年4月20日花莲东海域M6.8级地震，1992年5月1日、4日花莲东海域M4.6和M4.5级地震，1993年3月20日西藏拉孜M6.5级地震和1993年8月8日日本北海道的M6.6级地震。

据了解，该项目研究还结合其他方法，曾

建佳绩。北京亚运前夕，中央电视台独具胆识，让刚刚起步的大洋公司承担占金牌总数80%比赛项目现场直播的动画字幕播出任务。大会期间，盛况壮观通过大洋特技字幕机化作特技字幕和电脑动画，以与光电同步的速度最先传递盛况信息，得到亚广联官员的高度赞誉。

今年5月，首届东亚运动会召开之前，他们又开发出具有九十年代国际先进水平的全新功能通用体育转播软硬件系统。（孙莽）

本报讯 记者贾晓慧、通讯员李洪生报道：我国近年来崛起的天然药物地理学已日臻成熟。最近修订出版的《天然药物地理学》使这一新兴的边缘学科更加完整，同时也为我国天然药物资源的保护和持续利用提供重要的理论基础和科学依据。

天然药物地理学从多学科角度研究土壤气候、环境等相关因素变化对天然药物生长和药性产生的影响，并探讨其存在的规律。随着人们

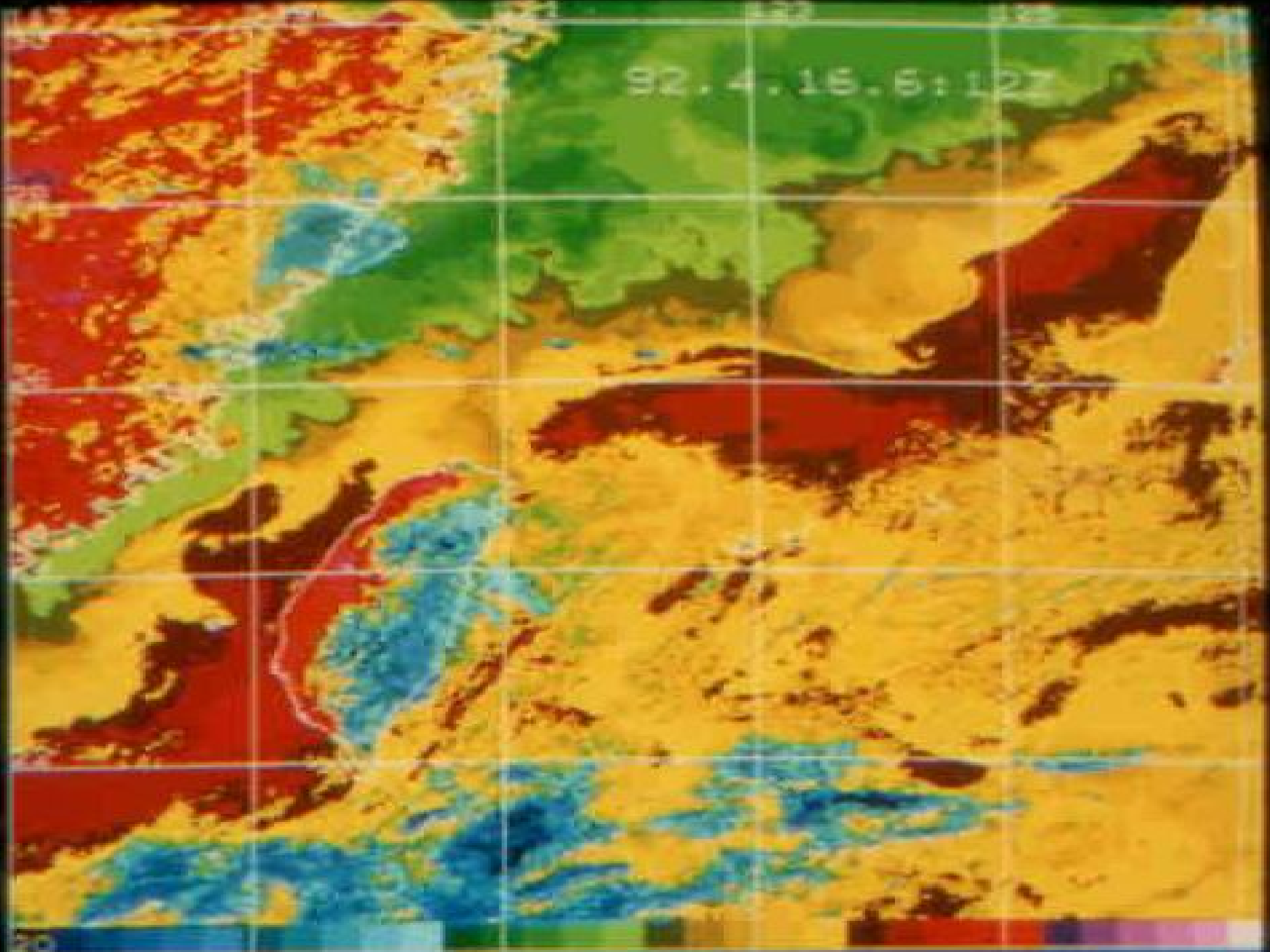
今年7月20日，宁夏建筑“离职”的暂行规定）紧急出台半年，这个院已有36名骨干人不辞而别。这家与自治区同龄，目前正面临生存危机。

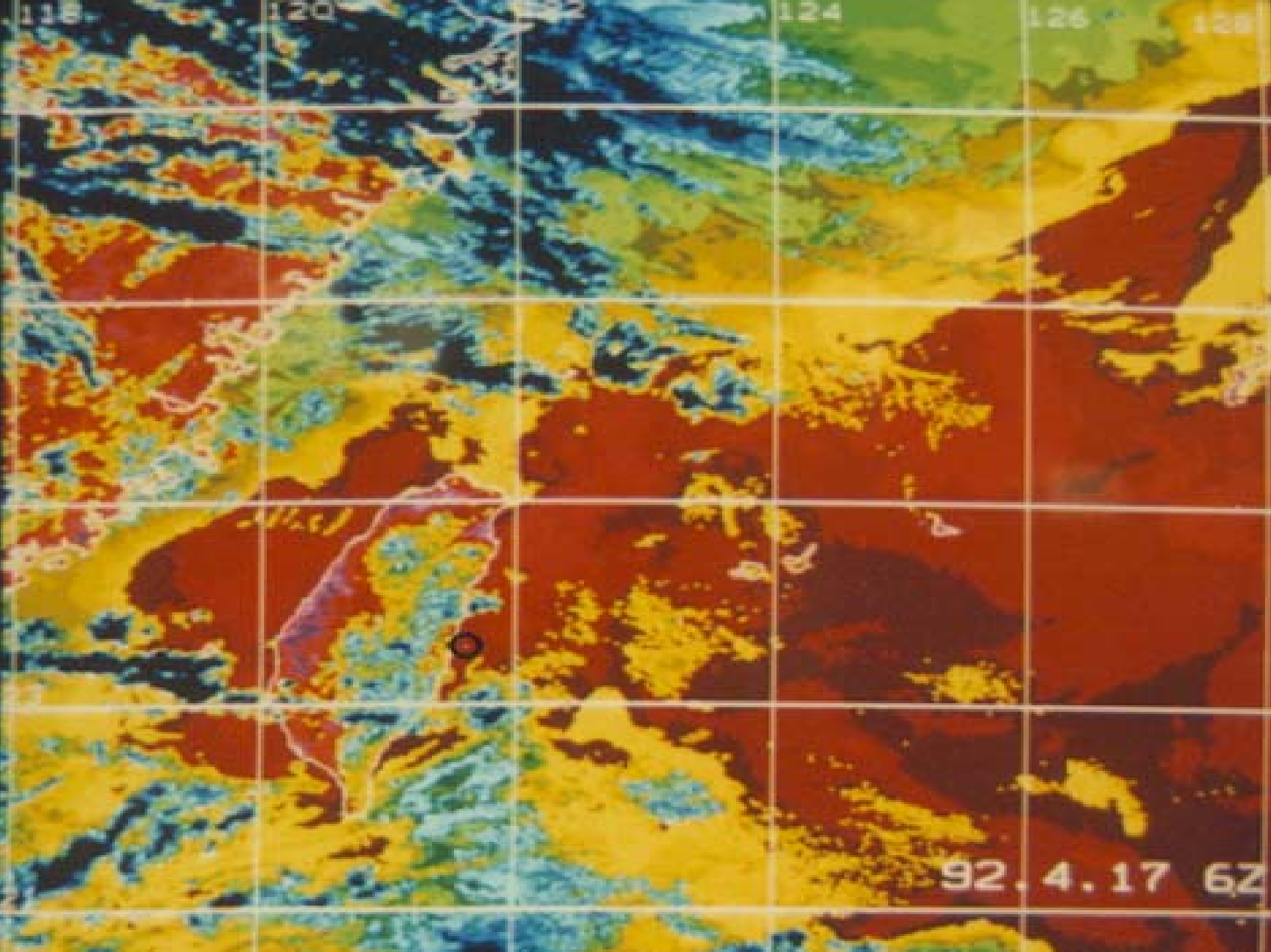
在此同时，受自治区政府外流情况的调查也在进行。建筑设计院人才外流的严重状况遗存在。仅去年以来，宁夏大学院和附院流失72人，宁夏轻人……

追溯过去，人才外流一直是地区的难点和热点。80年代初期、中期和90年代初期，是宁夏人才外流的三个高峰期，其中最高一年流出和流进的差额达502人，累计差额逾2500人。

成熟人才的流失如此，潜人才的流失更为严重。近三年，外地就读的宁夏籍大学生的返回率已从75%下降到去年的65%和今年不可否认，“市场”使人

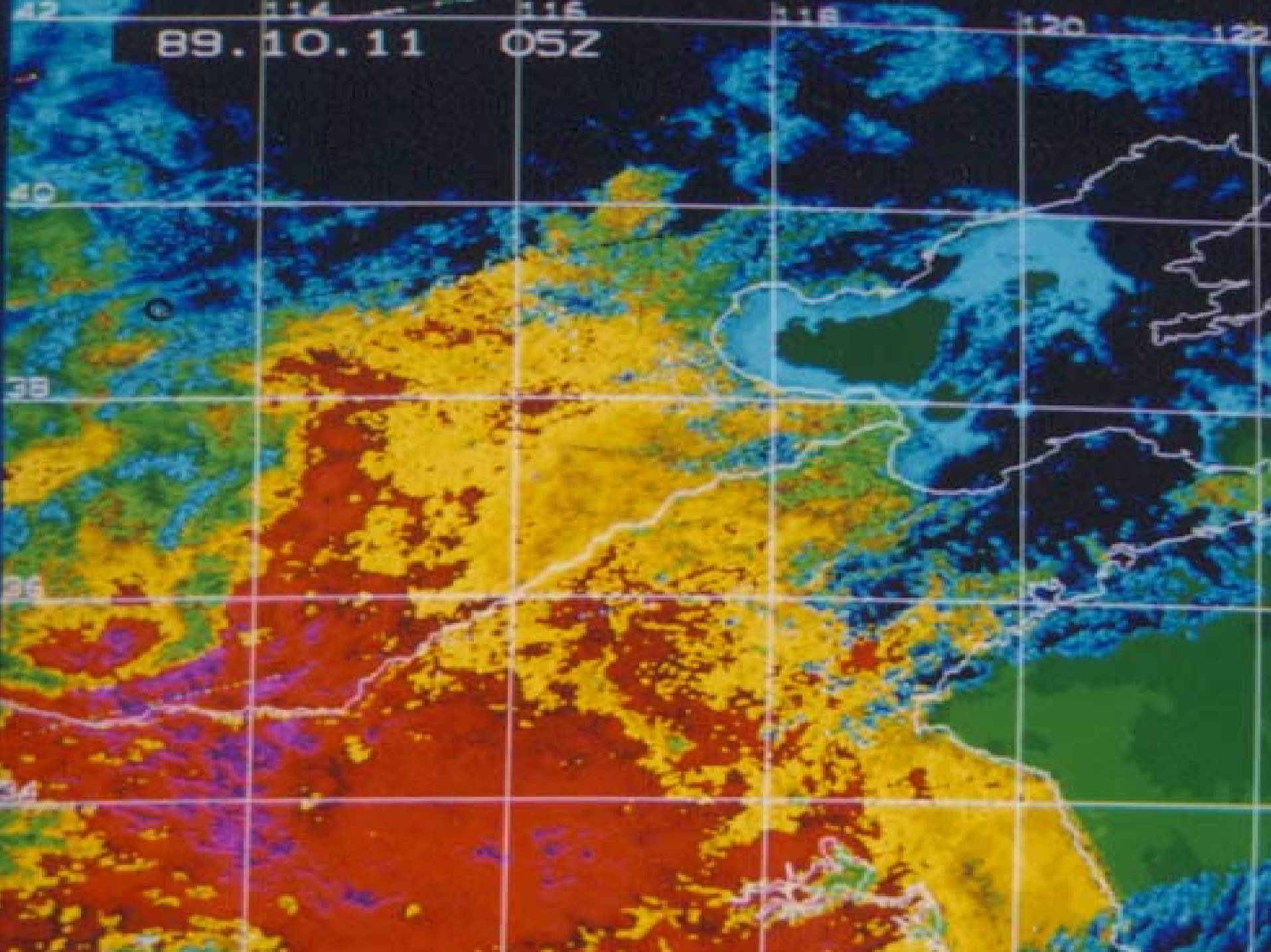
92.4.16.6:127

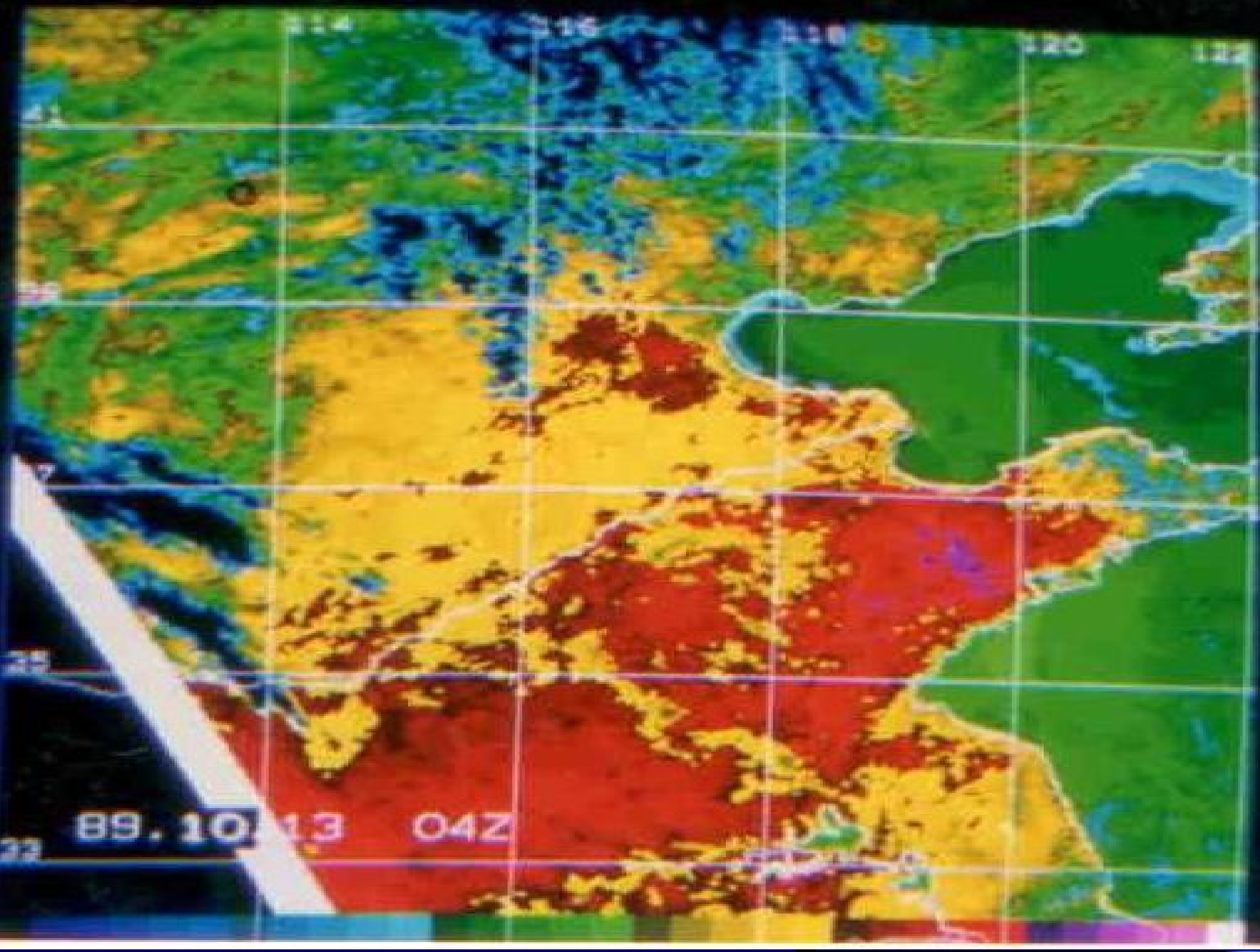




Datong Earthquake M5.7, 6.1

- Oct. 18, 19; 1989 39.9°N, 113°E
- Oct. 23; 1989 Strong aftershock M5.2



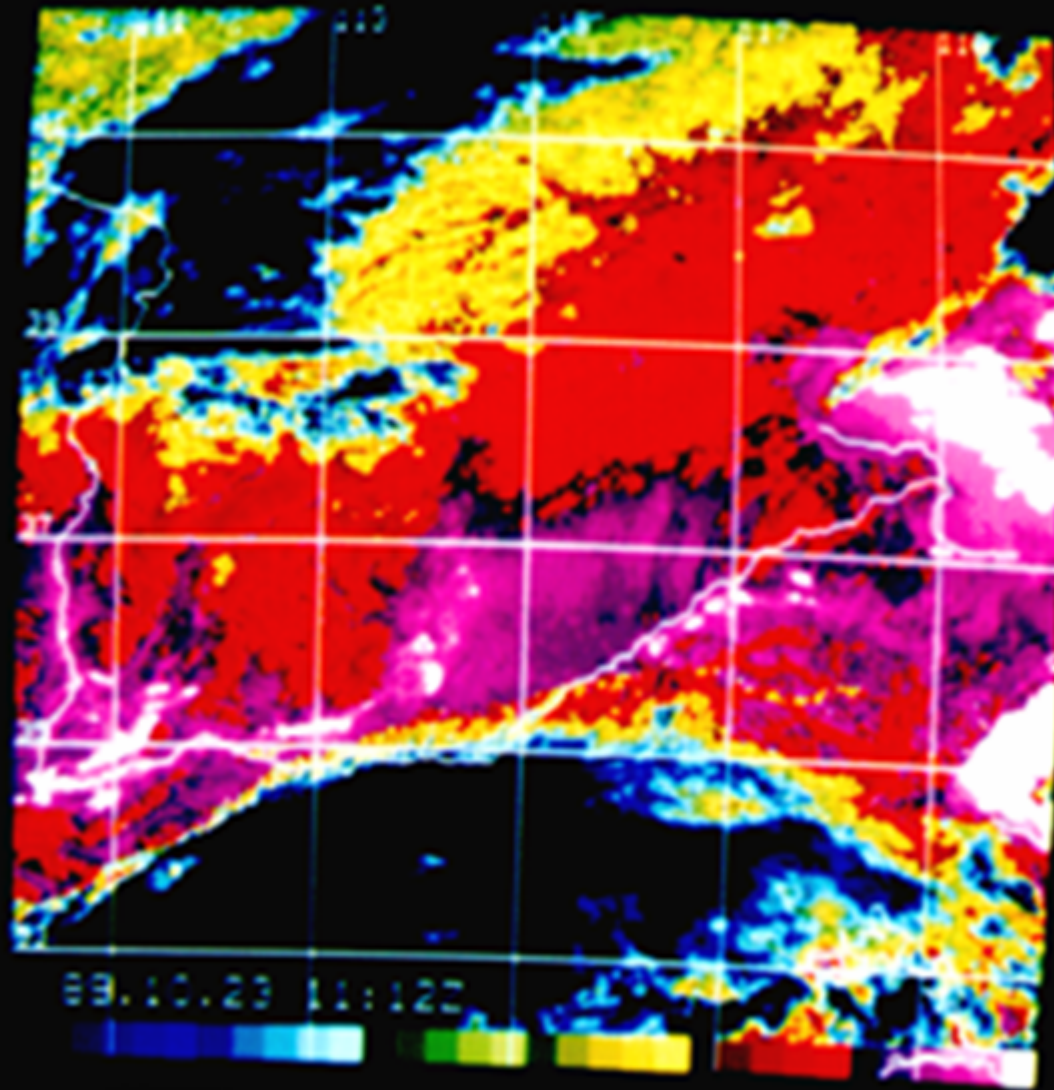


Strong after shock M5.2

Oct.23;1989

Predicted time Oct.21 1989

Datong --11:12GMT, Oct. 23, 1989.2h. Before aftershock



Start temp. 260K

机密

国家地震局信息

第 3 期

国家地震局

一九九〇年二月二十二日

热红外异常可望用于短临地震预报

最近，国家地震局地质研究所在国家气象局卫星气象中心大力支持和协助下，在利用热红外异常对地震作短临预报方面取得了很有价值的进展。

利用热红外异常作短临地震预报的课题开始于去年10月初。他们从总结研究1988年云南澜沧地震入手，结果在震温对应关系上获得了新的认识。

正当他们潜心总结澜沧地震的时候，10月19日至20日，在山西大同发生了5.7级和6.1级地震。他们便立即将注意力集中到大同地区，对大同地区热红外实施监视。10月21日，大同地区再次出现热红外异常，他们就根据在研究澜沧地震所获得的认识和经验，及时向所领导提出了“大同老震区在近日内可能有5—6级强余震”的预报意见。10月23日在大同发生了

Certificate Of Prediction
Accuracy issued by vice
director of
department of
Earthquake
Prediction, CEA

5.2级余震，第一次尝试获得了成功。

从今年2月1日始，在南黄海至苏北沿海一带，热红外出现持续增温异常，经过他们几天的连续跟踪监视和对比分析，当确信这一异常现象与大同地震前热红外异常演变规律相类似之后，便当即向国家地震局有关单位提出了“近日南黄海、苏北沿海一带将发生5-6级中强地震，预报时间可延长到2月16日有效”的预报意见。发出预报的时间是2月6日下午4点30分。2月10日，江苏常熟以东发生了5.1级中强地震。预报再次取得了成效。

由于上述预报意见是带有探索性和实验性的（尚属研究中的新方法），所以没有向外界作正式预报。

专家们认为，如果再经历几次中、强地震的检验证实该方法仍有成效，并在演变规律上作进一步的探索，那么，热红外异常就可以成为地震短临预报中有希望的一种方法。因而这一方法非常值得继续探索下去。

主题词：常熟地震 热红外 短临预报

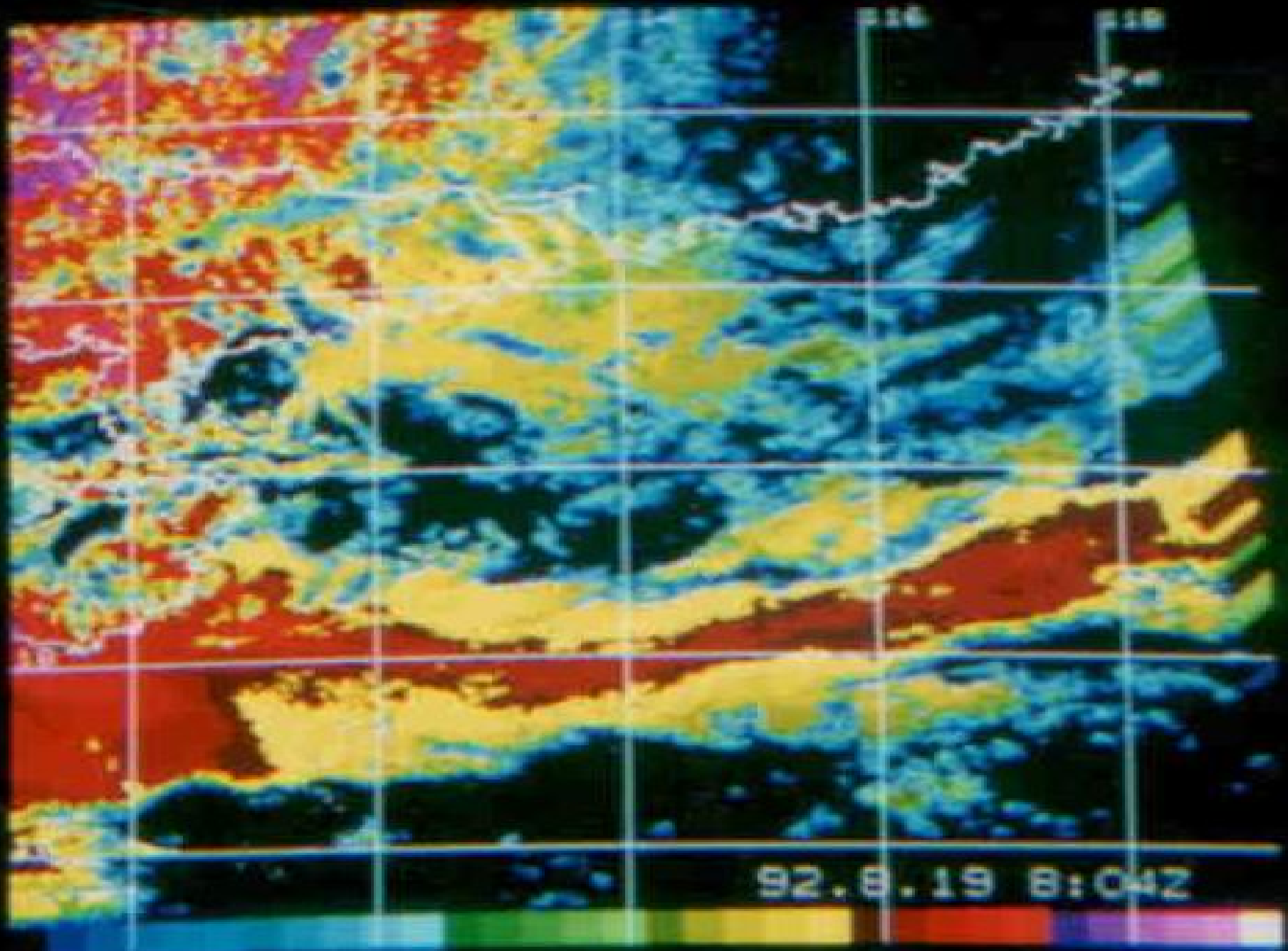
送：中共中央办公厅、国务院办公厅
本局领导、机关各司室领导和有关单位

Certificate Of Prediction
Accuracy issued by vice
director of
department of
Earthquake
Prediction, CEA

Dongsha Earthquake M5.9

China Southern Sea

- Sept. 14, 1992; 21.6°N, 117.8°E
- Predicted time: Aug. 19-Sept. 9, 1992
- Magnitude: 6.0
- Area: 21-22°N, 117-119°E
- No. 17



110

112

114

116

118° E

N

22

20

18

16

24

震中



92.5, 22.7, 263

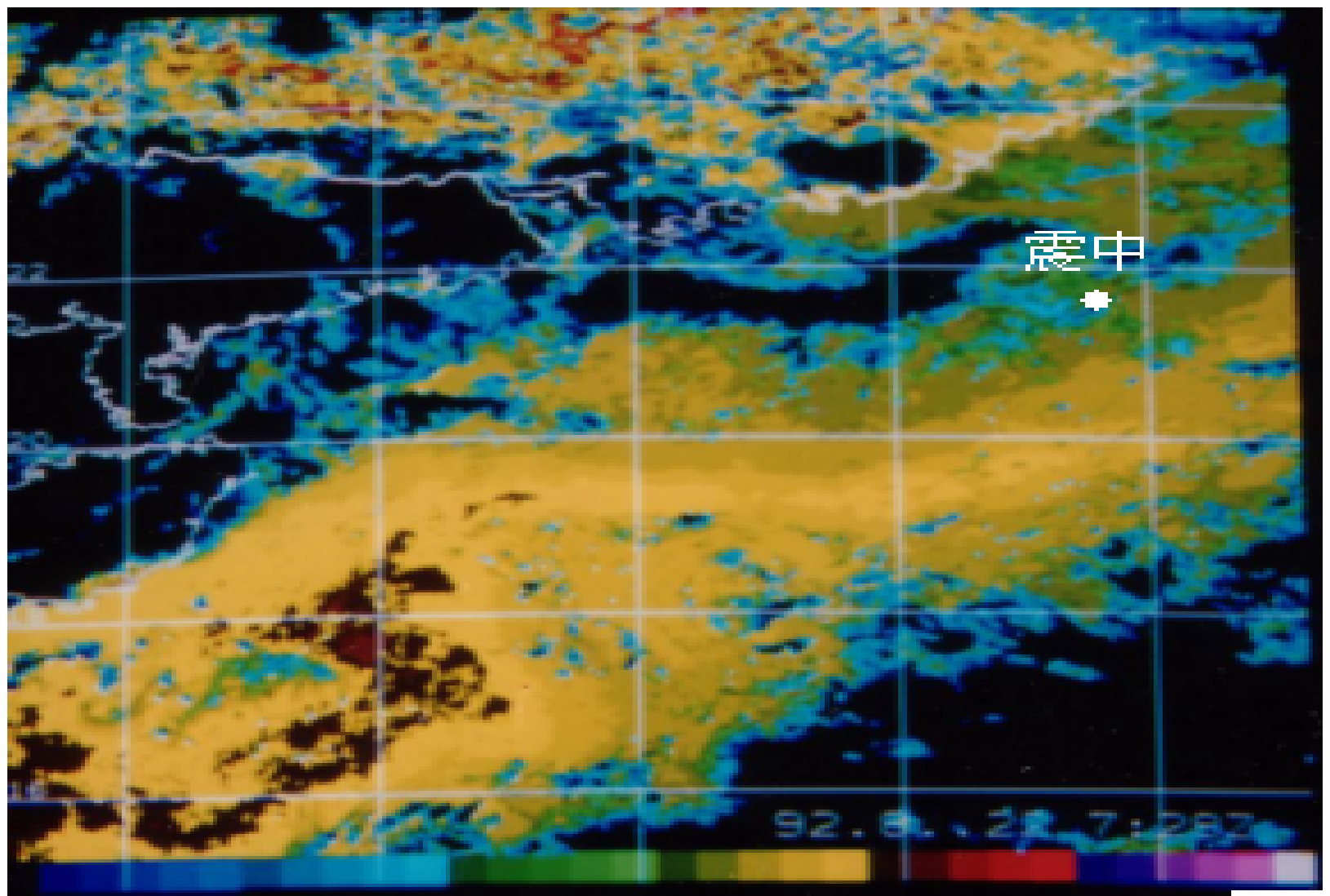
270K

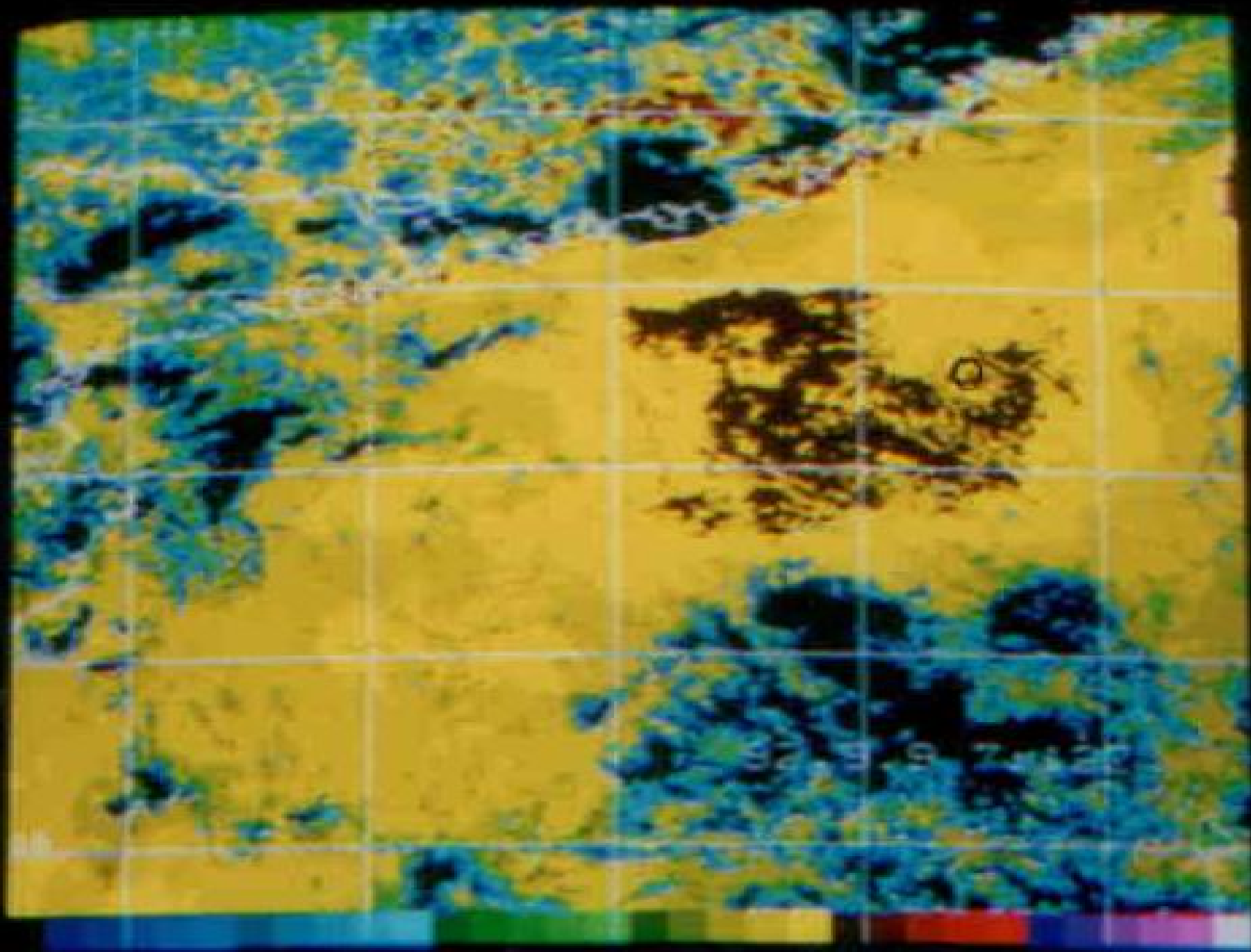
280K

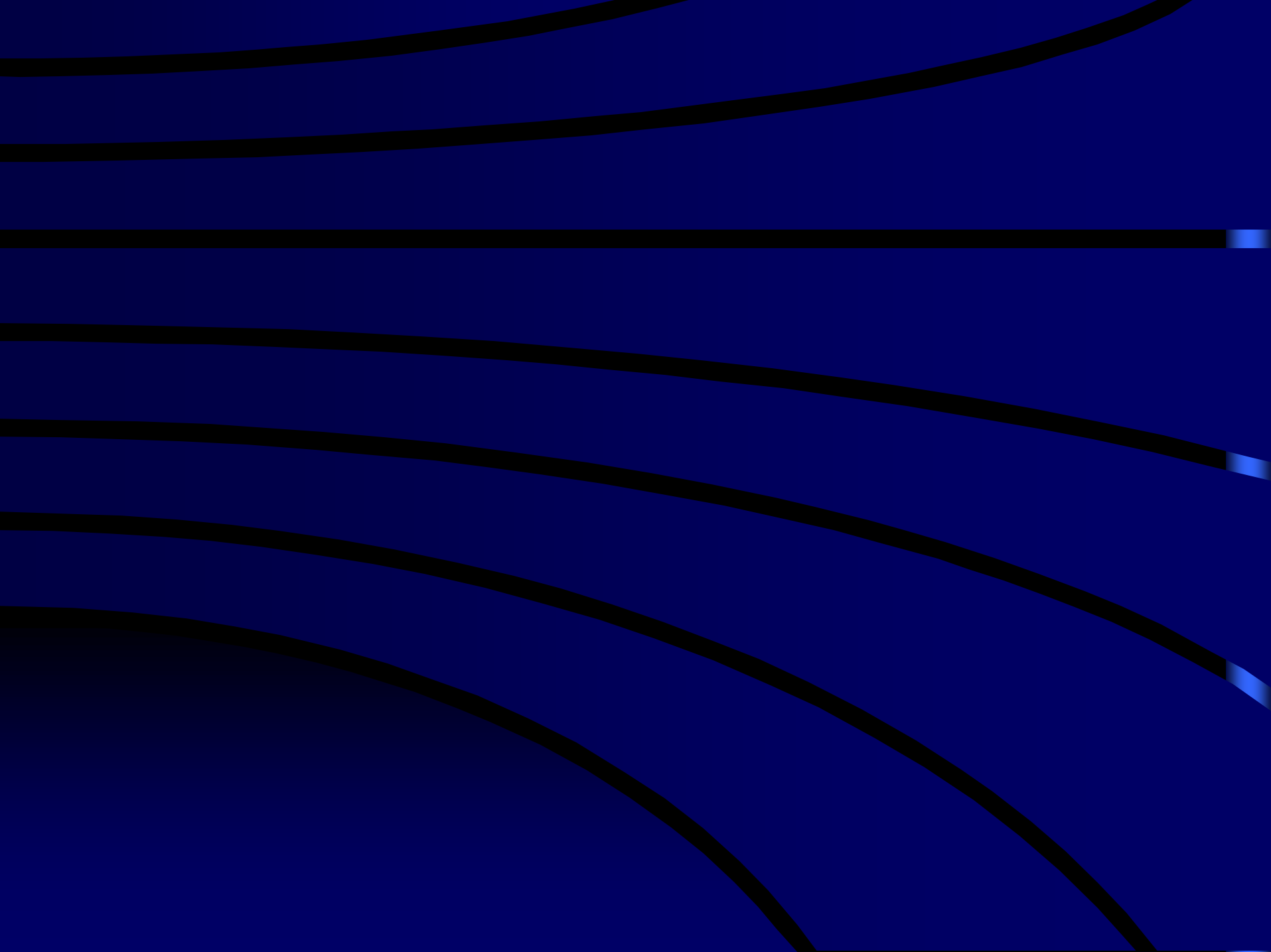
290K

300K

1992-Aug. 22, 20:01(GMT)

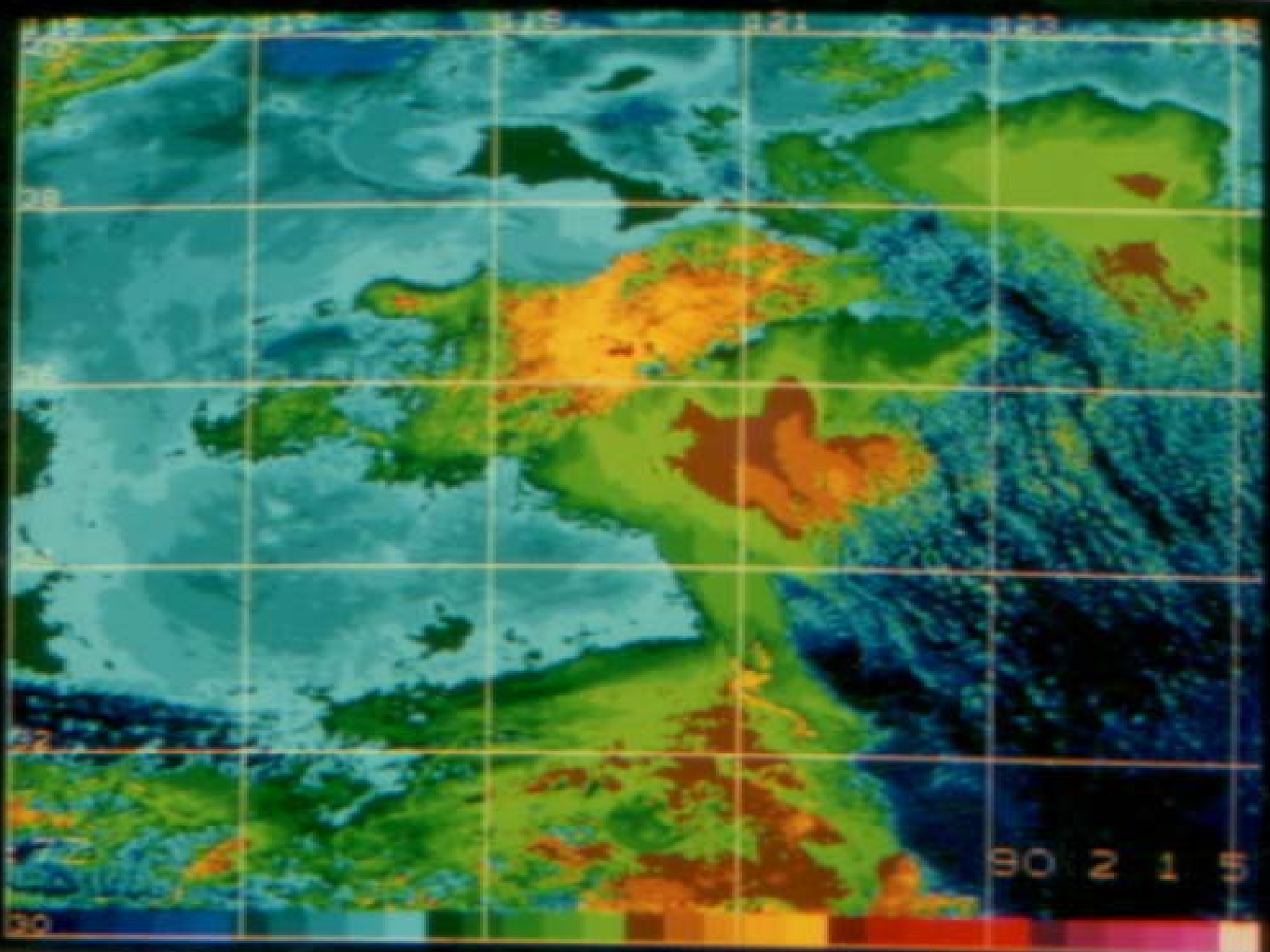


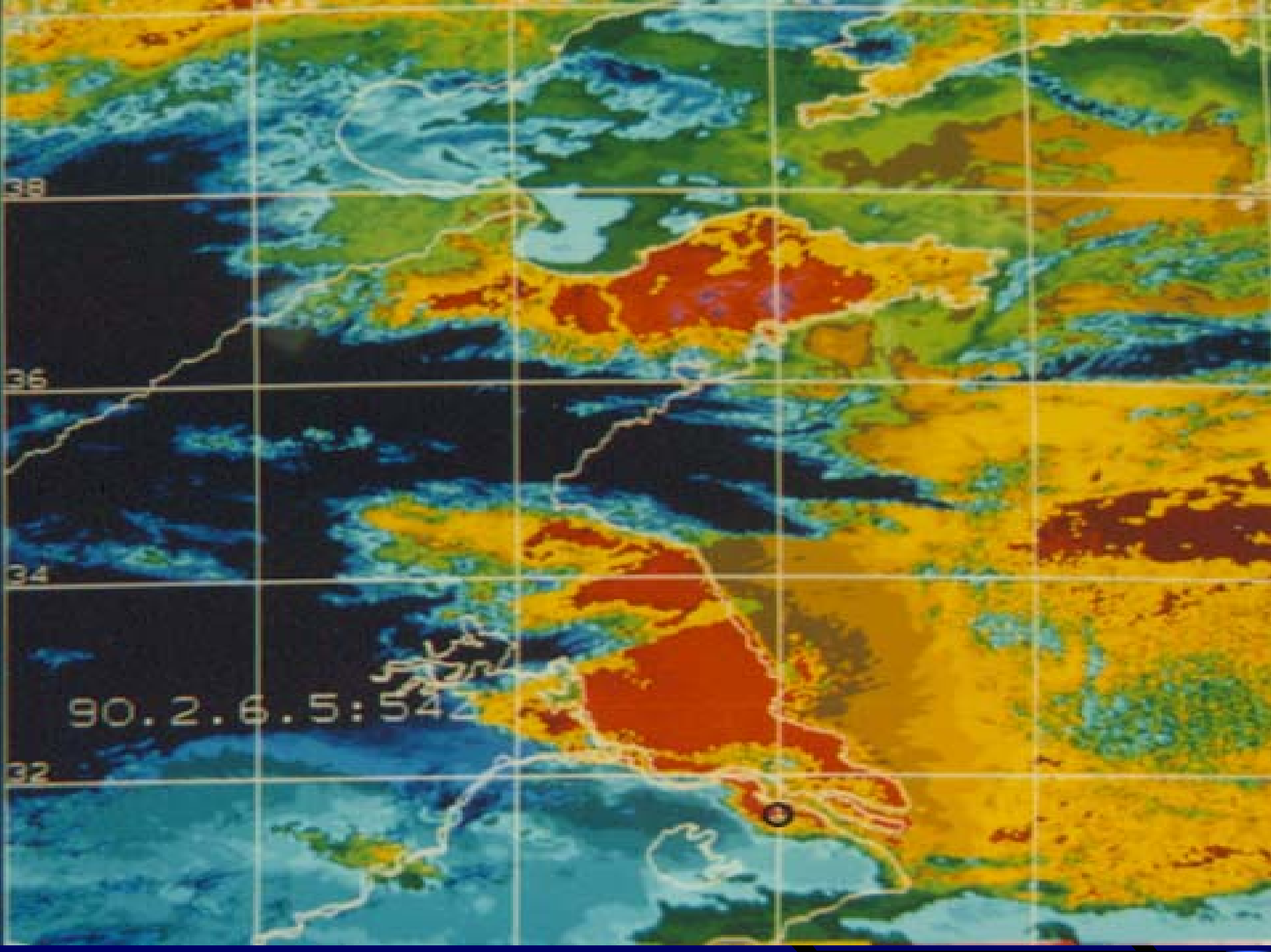




Changshou Earthquake M5.1

- Feb.10,1990 31.6°N,121°E
- Predicted time:Feb.6-Feb.21,1990
- Magnitude:5-6
- Area:31-32°N,120-121°E
- No.1





90.2.6.5:542

國家地震局

地震预报

依据：2月10日至21日卫星红外异常在E120°-124°，N35°30'-36°30' 黄海区出现。持续时间较长，2月20日有异常。2月20日有之迹象，从以上图中看出，海面正在升温。2月40、50、60 继续升温。2月60 升温范围扩大，E120°，N32°（华北、东北），E122°-125°30'，N32°-35°（西南至济州岛都在升温，另外还有一些升温区，如E120°，N36°（长江断裂带中部）和E120°，N45°（吉林西部，北鲁特殊带）]。 升温约2°-5°C。

预报：近日南海海、华北沿海将发生中强5-6级地震或5级以上地震。预报时间可长达7日。2月16日有效。

预报人： 国家地震局地质研究所 张强
国家地震局卫星中心 侯常荣

电话报给与所报中心 丁芳



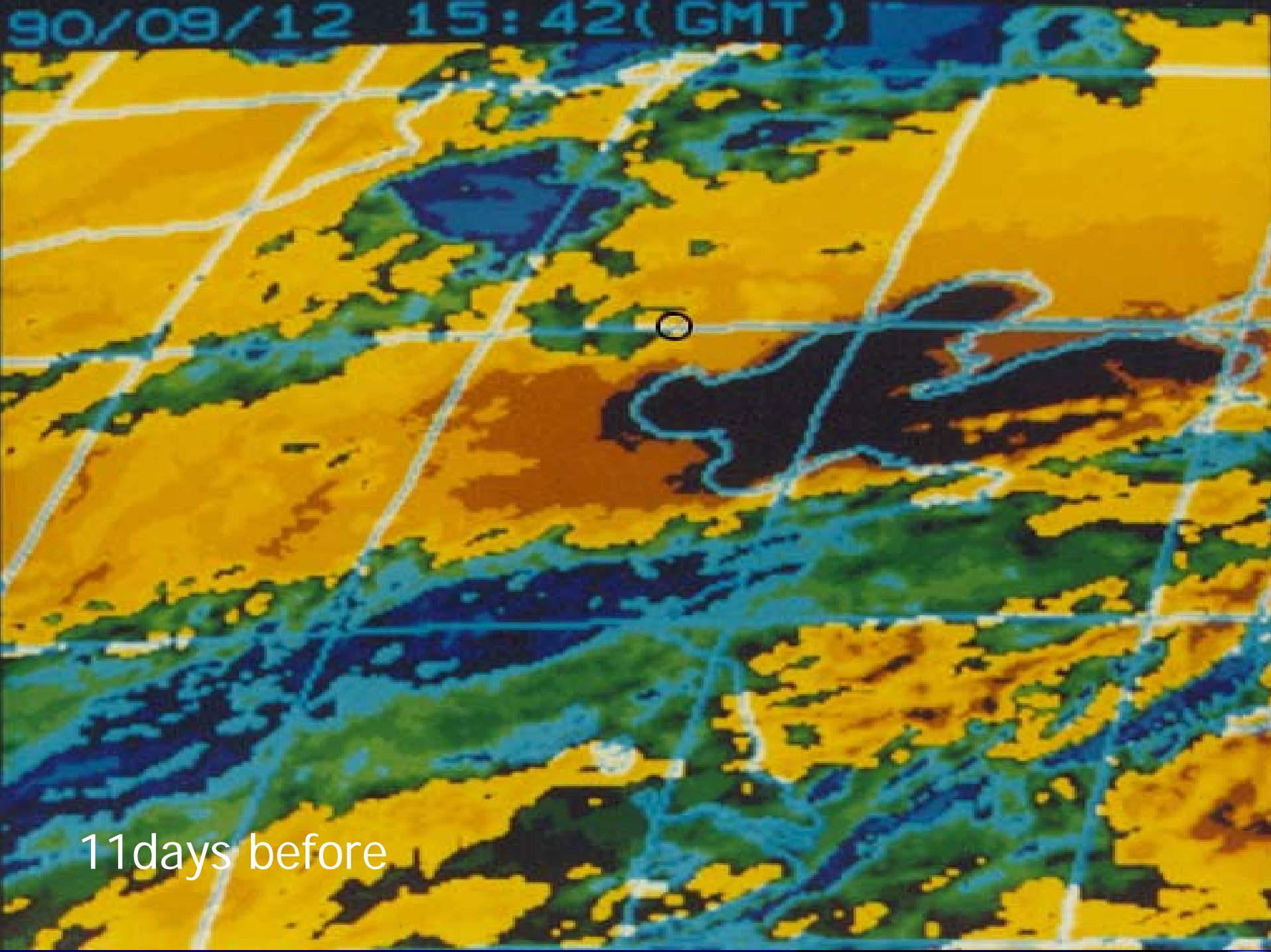
1990年

Earthquake Predicted Card
Time: Feb.6-Feb.21, 1990
Area: 31-32°N, 120-121°E
Magnitude: 5-6

Shahe Earthquake M4.0

- Sept. 22, 1990 Northern part of Beijing

90/09/12 15:42 (GMT)



11 days before

感 谢 信

国家气象局卫星气象中心：

贵中心贺常春研究员等积极配合我所徐程基、徐秀登同志，不分昼夜，牺牲节假日，担负卫星热红外震兆异常的监测工作，9月12日发现北京南部面积较小的卫星热红外异常。他们经连续观测研究后14日向所领导及时打了招呼：近日北京近郊将有3—4级小震。使领导对9月22日亚运会开幕前发生的北京沙河4级地震早有思想准备，做到心中有数。为保卫人民生命财产安全，为保卫亚运会顺利召开做出了实际贡献。今特向你们及夜以继日地担负震情监视工作的贺常春等同志表示衷心感谢。

致

礼

国家地震局地质研究所

一九九〇年九月二十五日

Certificate of Prediction Accuracy
Issued by Institute of Geology, CEA

Shahe Earthquake M4.0

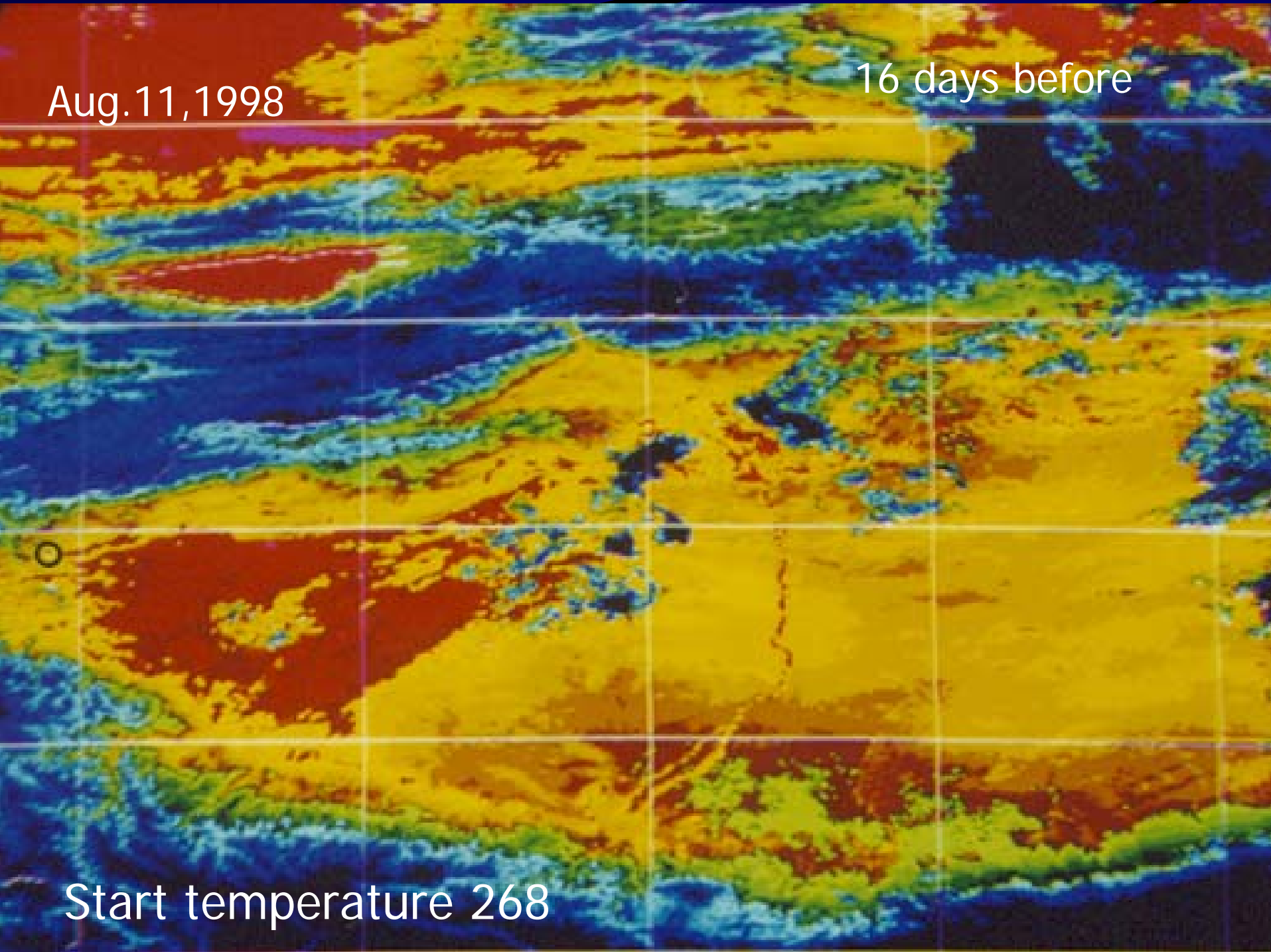
- Predicted time: Sept. 14-Sept. 25, 1990
- Area: Northern Suburbs of Beijing
- Magnitude: $4 \pm$

Jiashi Earthquake M6.6

- August 27, 1998; $39.9^{\circ}\text{N}, 77.9^{\circ}\text{E}$
- Predicted time: August 14-Sept. 5
- Magnitude: 6.0
- Location: $39-40^{\circ}\text{N}, 77-78^{\circ}\text{E}$
- No. 59

Aug. 11, 1998

16 days before



Start temperature 268

Slide 99

zz2 qzj, 6/9/2007

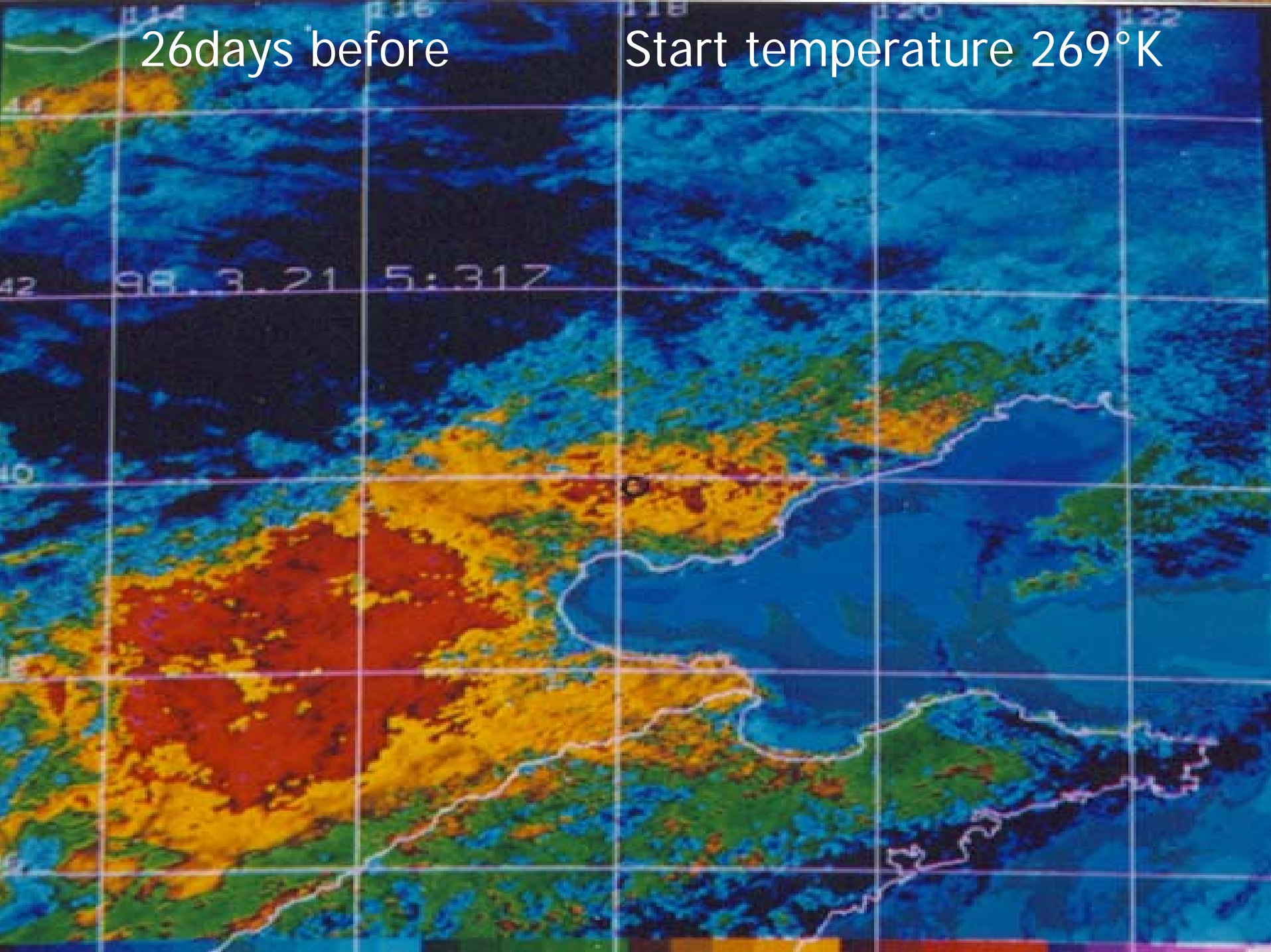
zz6 qzj, 6/9/2007

Tanshang Earthquake M4.7

- April 14, 1998 39.7°N, 118.3°E
- Predicted time March 30, 16 days before
- Magnitude: 5.0
- Location: 39-40°N, 118-119°E
- No. 49

26 days before

Start temperature 269°K

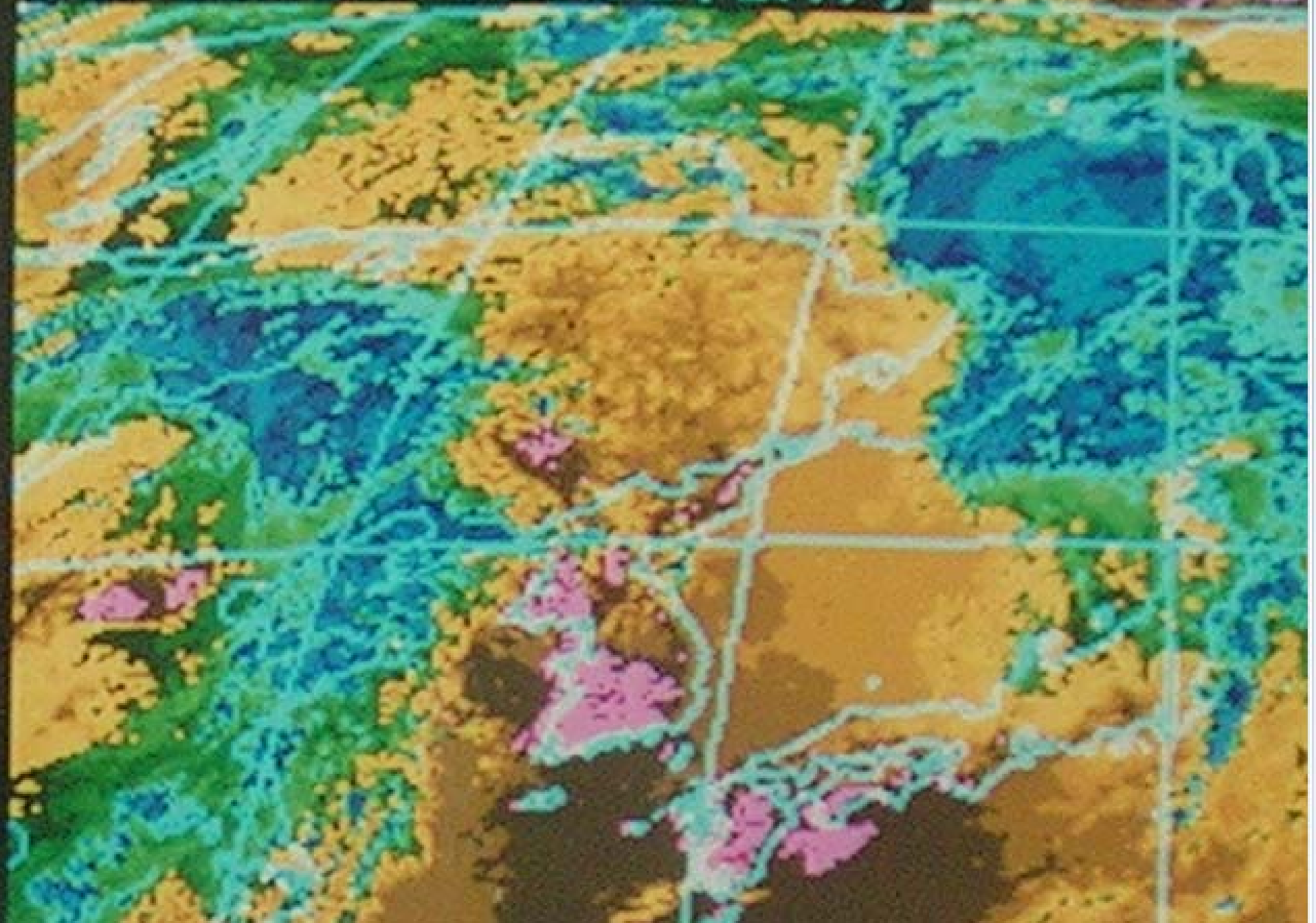


Hachijojima Isl. Earthquake

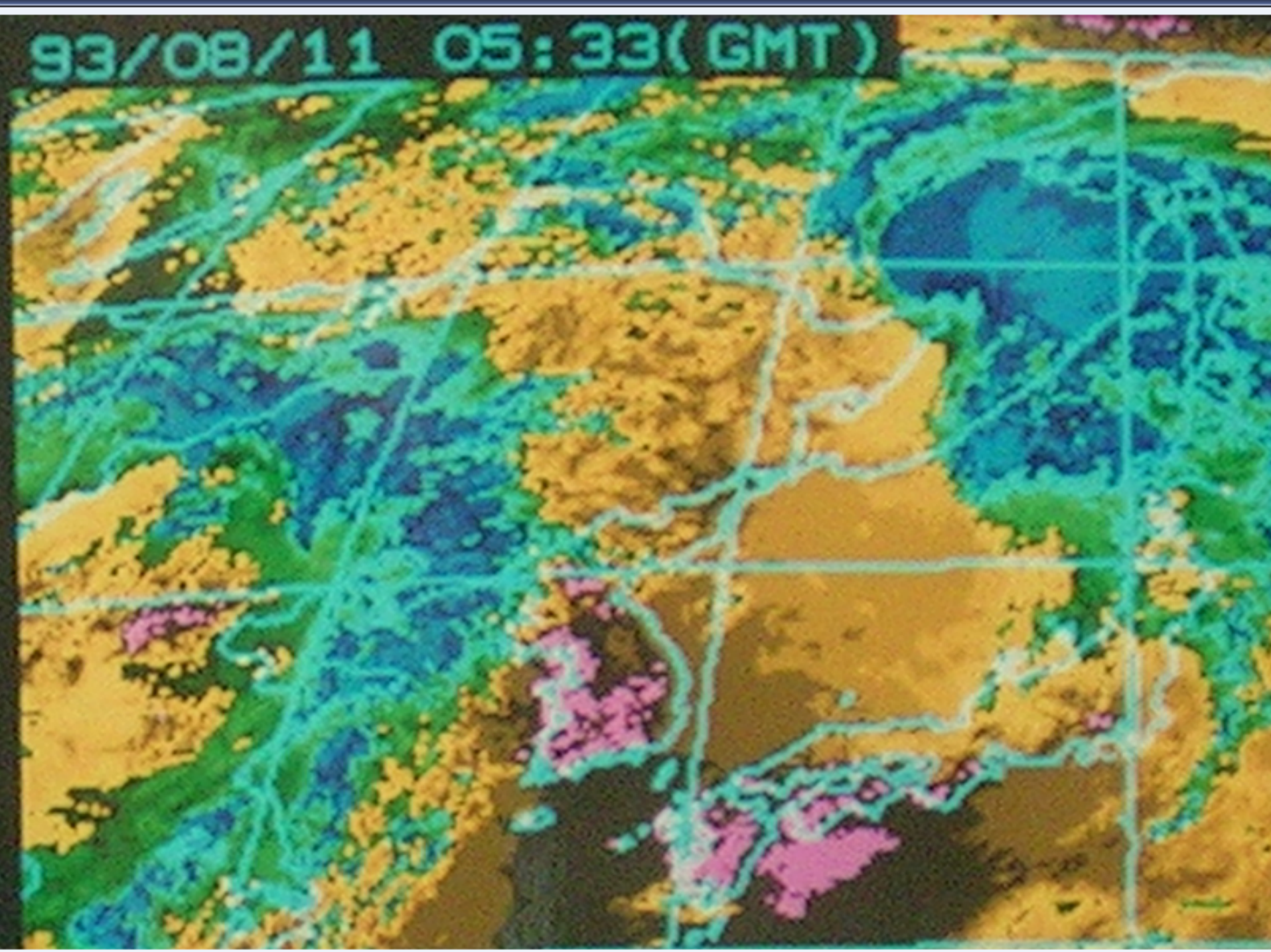
M6.1 Japan

- Sept. 1, 1993 31.5°N, 142.2°E
- Predicted time: Aug. 12-Sept. 5, 1993
- Location: 32-34°N, 140-142°E
- Magnitude: 6.0-6.5
- No. 20

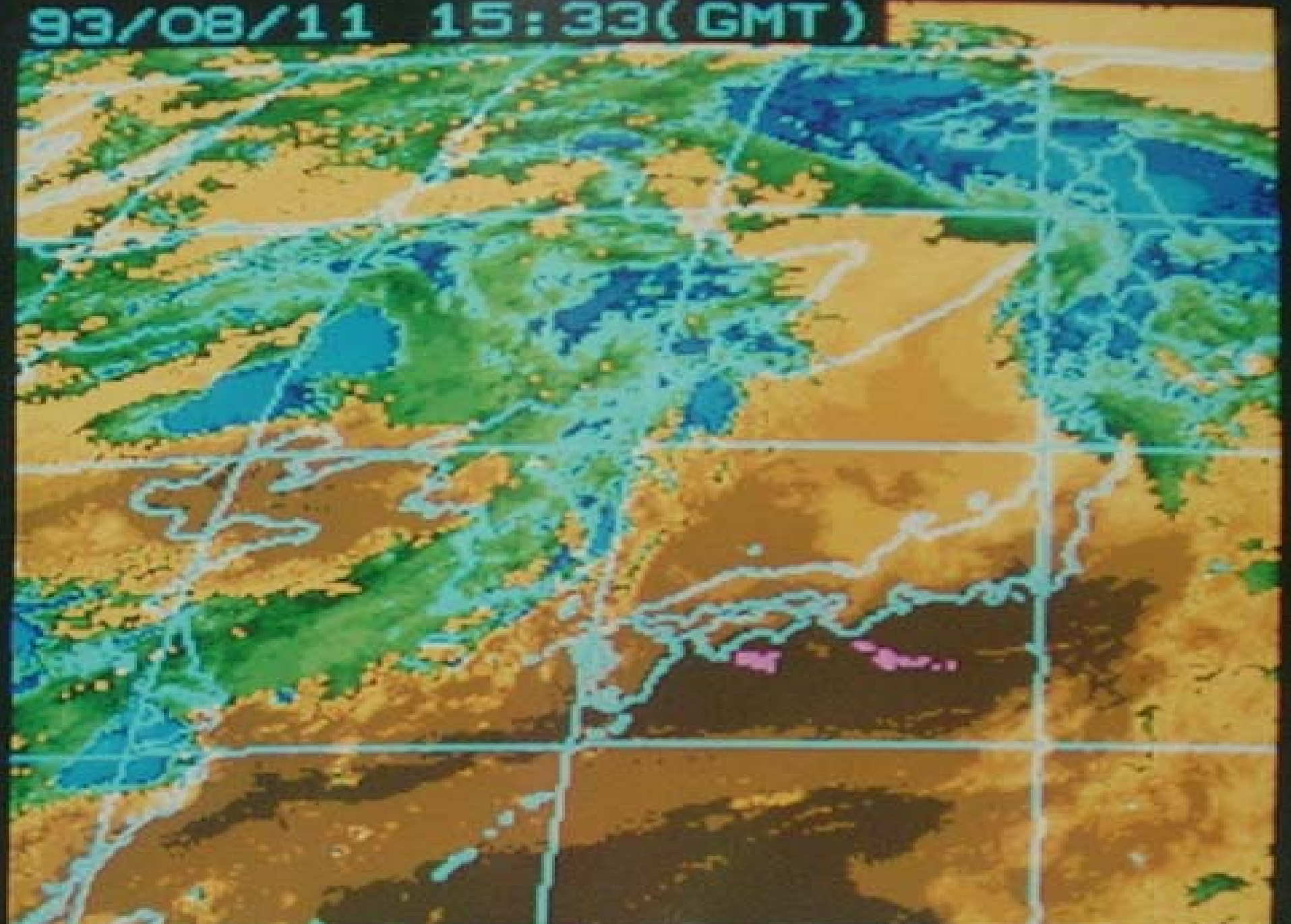
93/08/11 03:33(GMT)



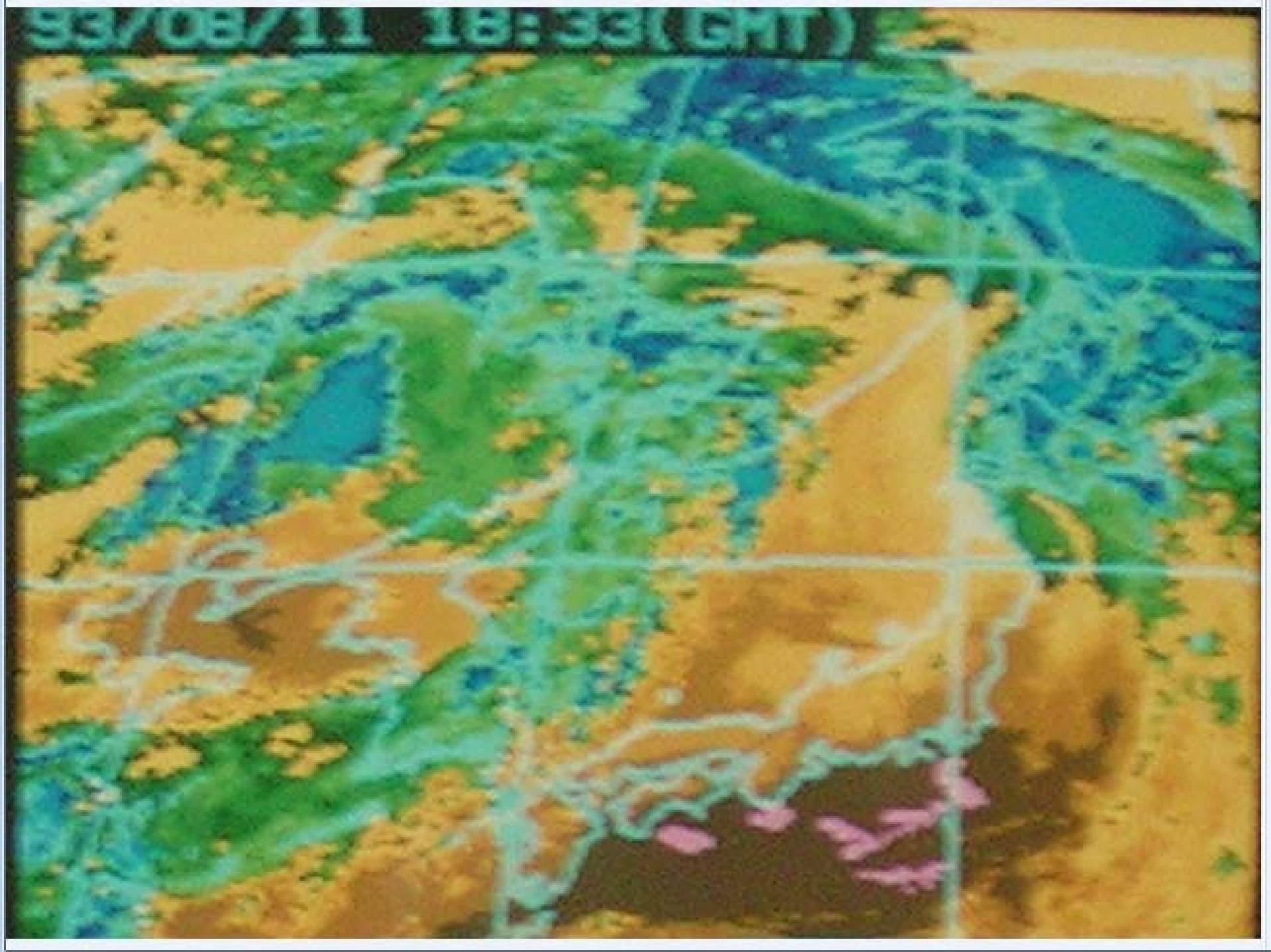
93/08/11 05:33(GMT)



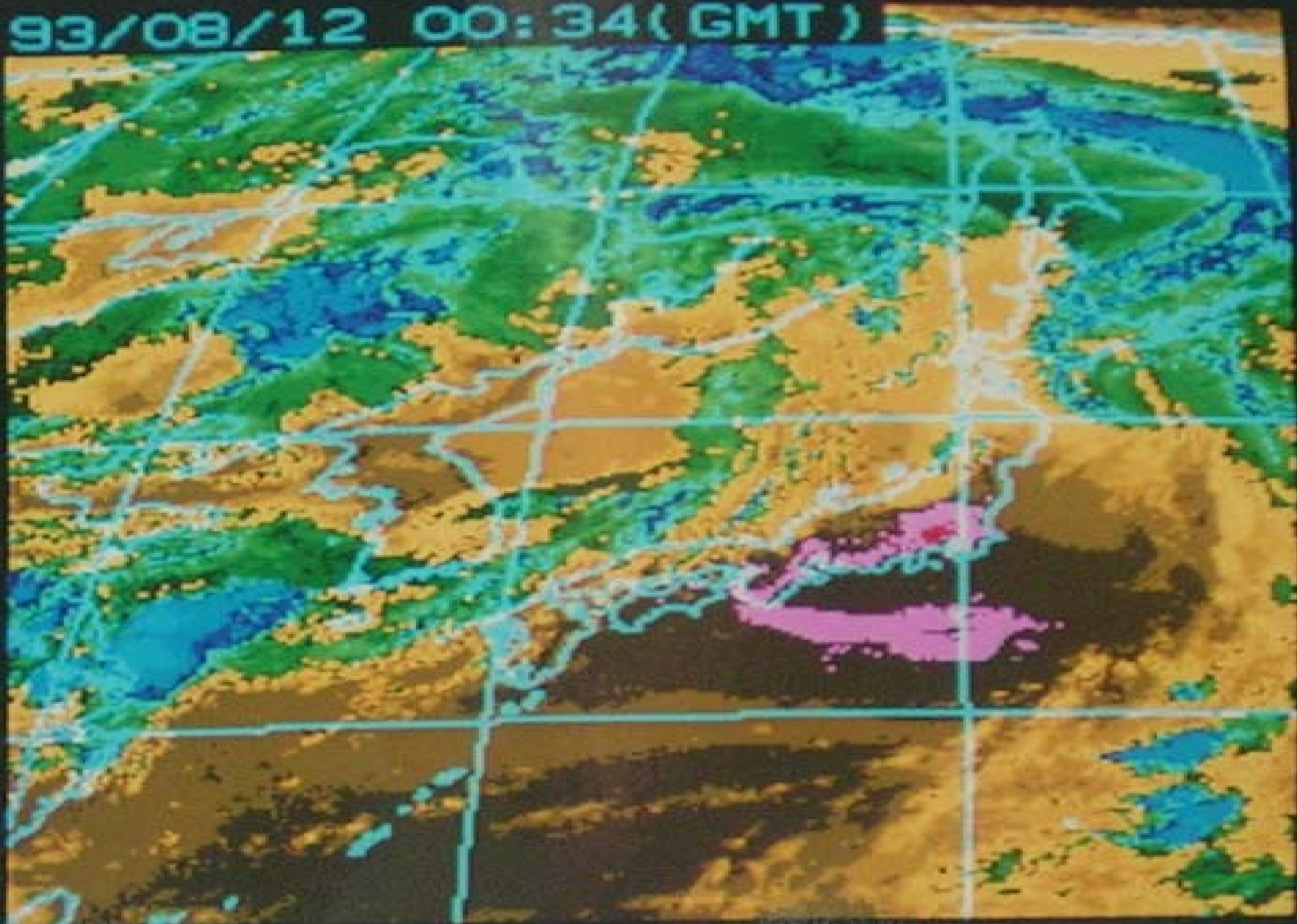
93/08/11 15:33(GMT)



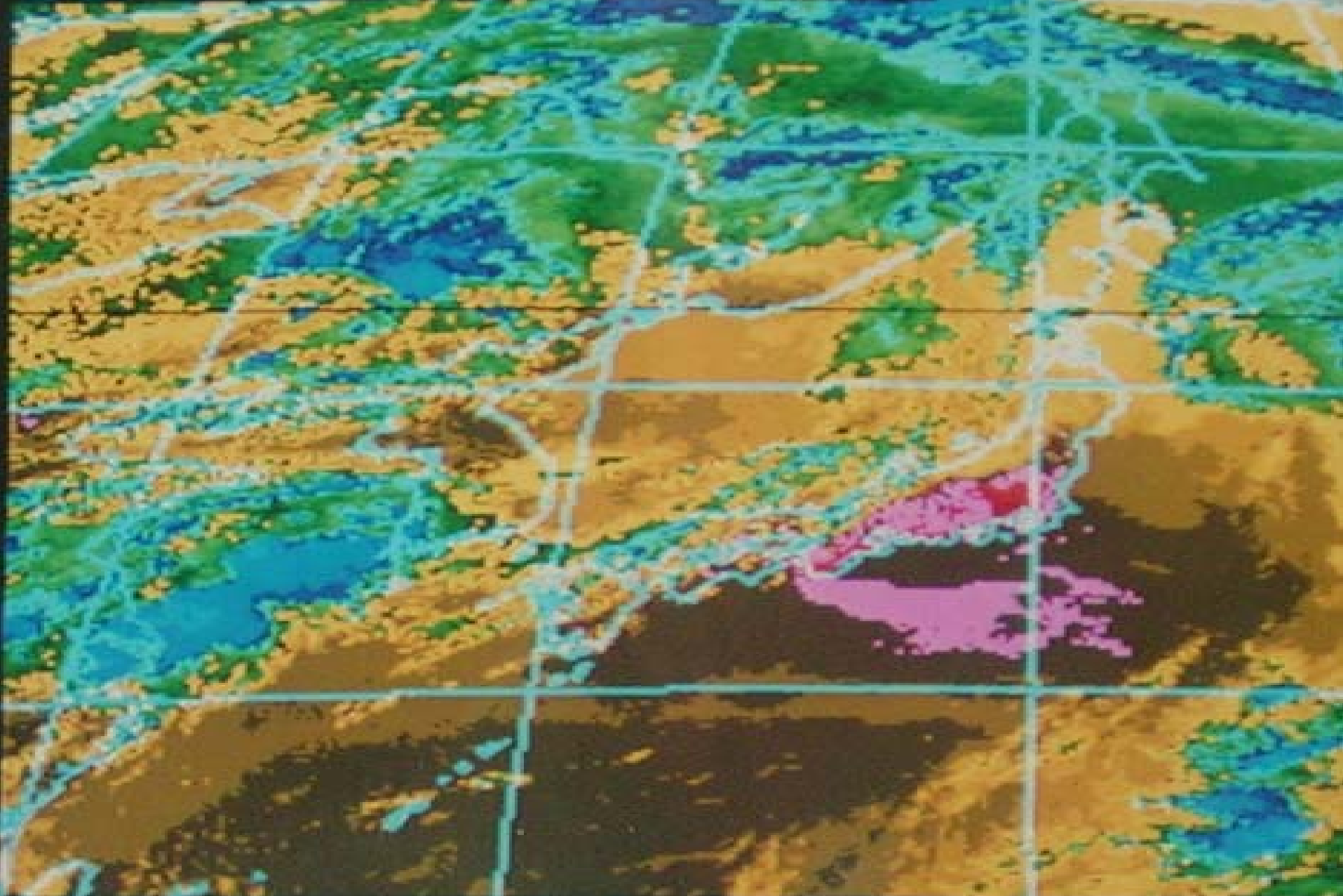
93/08/11 18:33 (GMT)



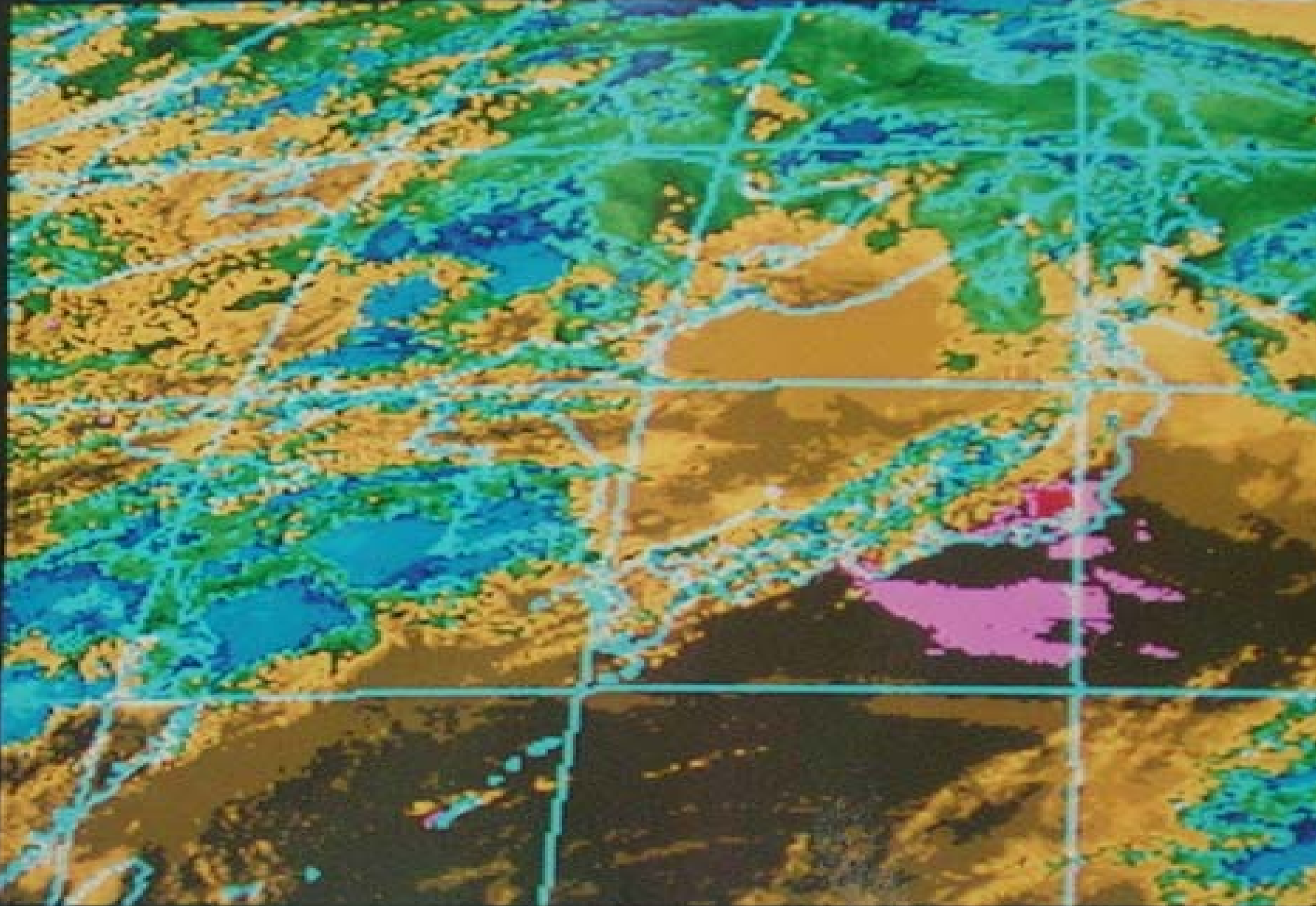
93/08/12 00:34 (GMT)



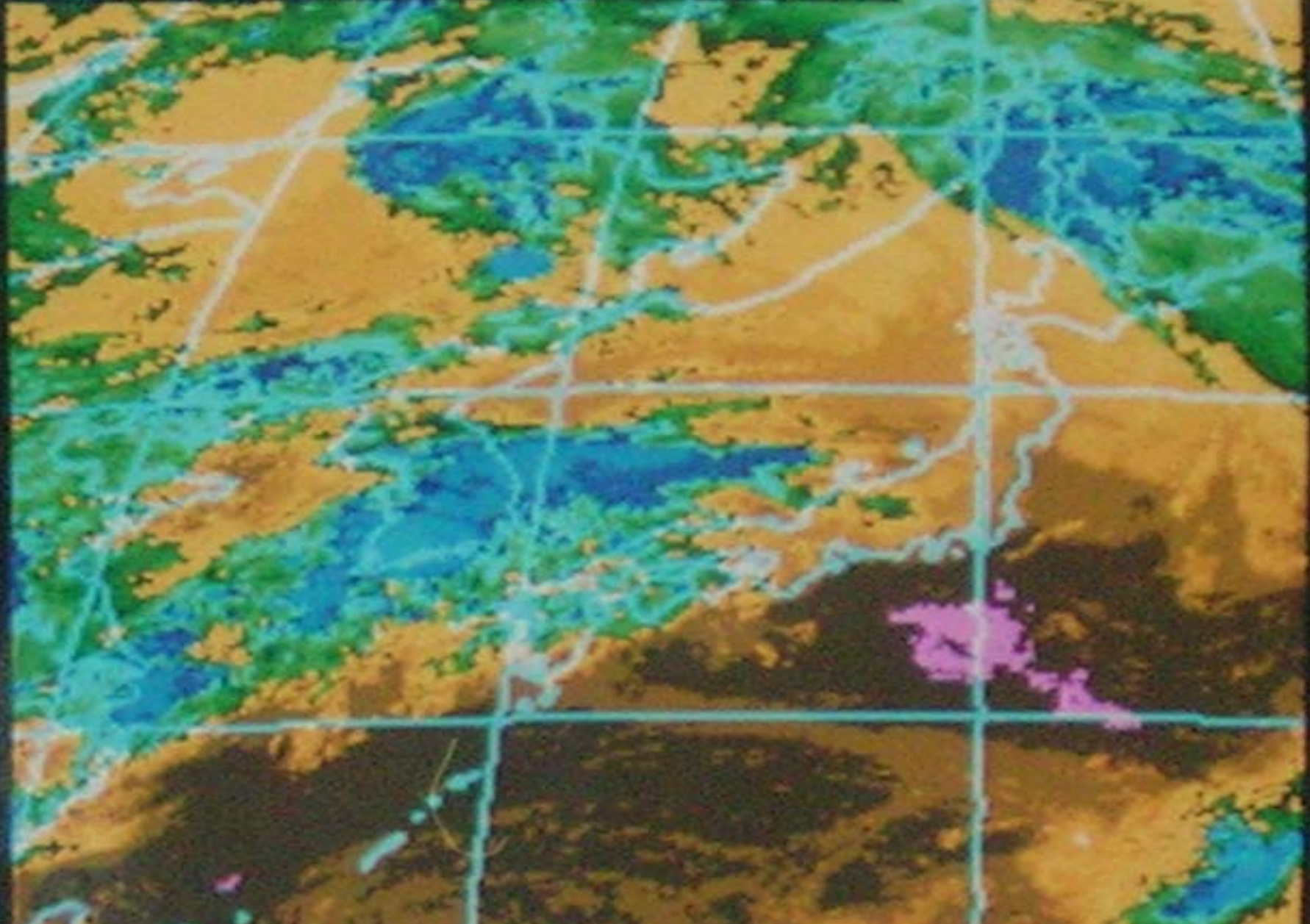
93/08/12 03:33(GMT)



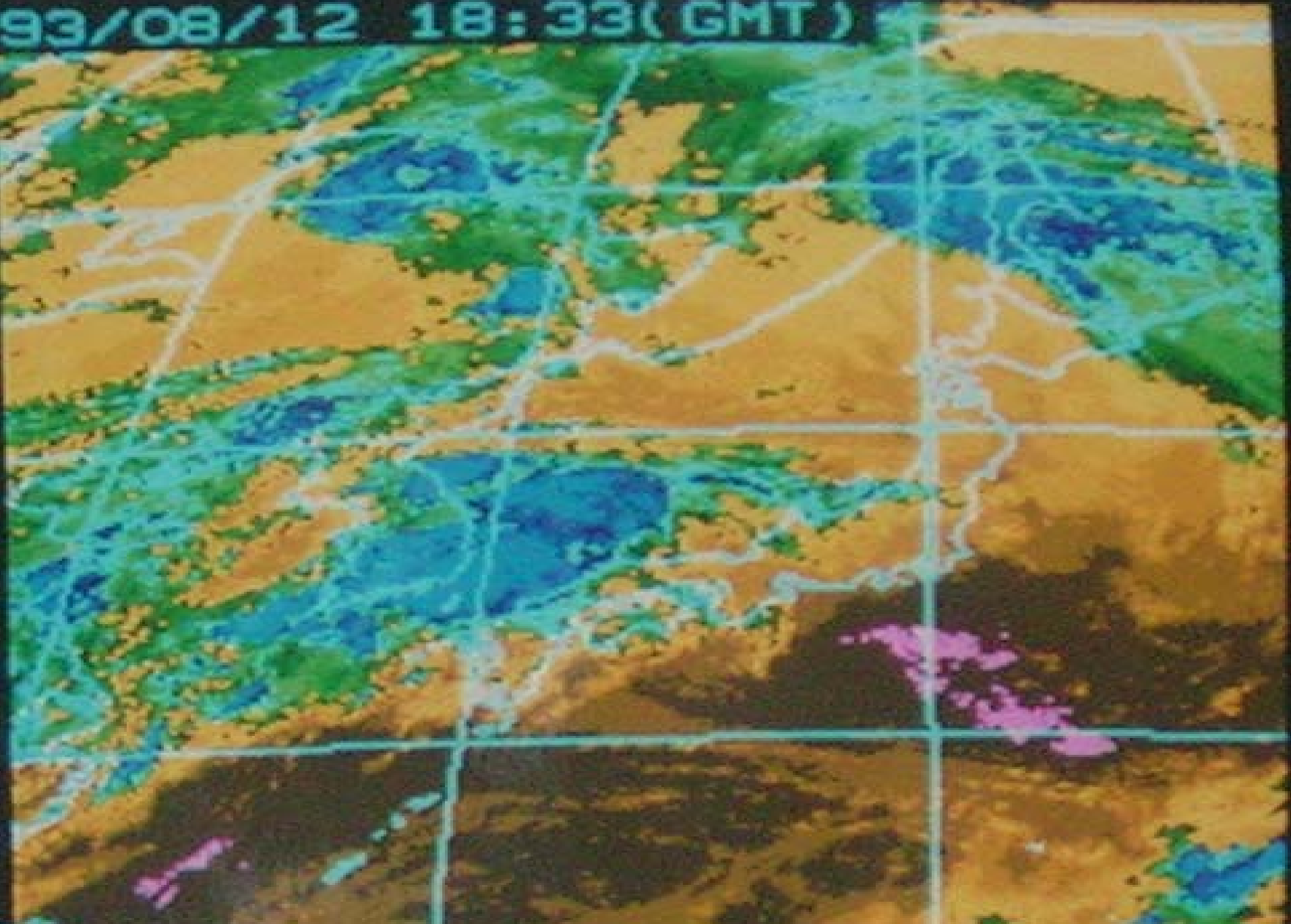
93/08/12 05:33(GMT)



93/08/12 15:33(GMT)



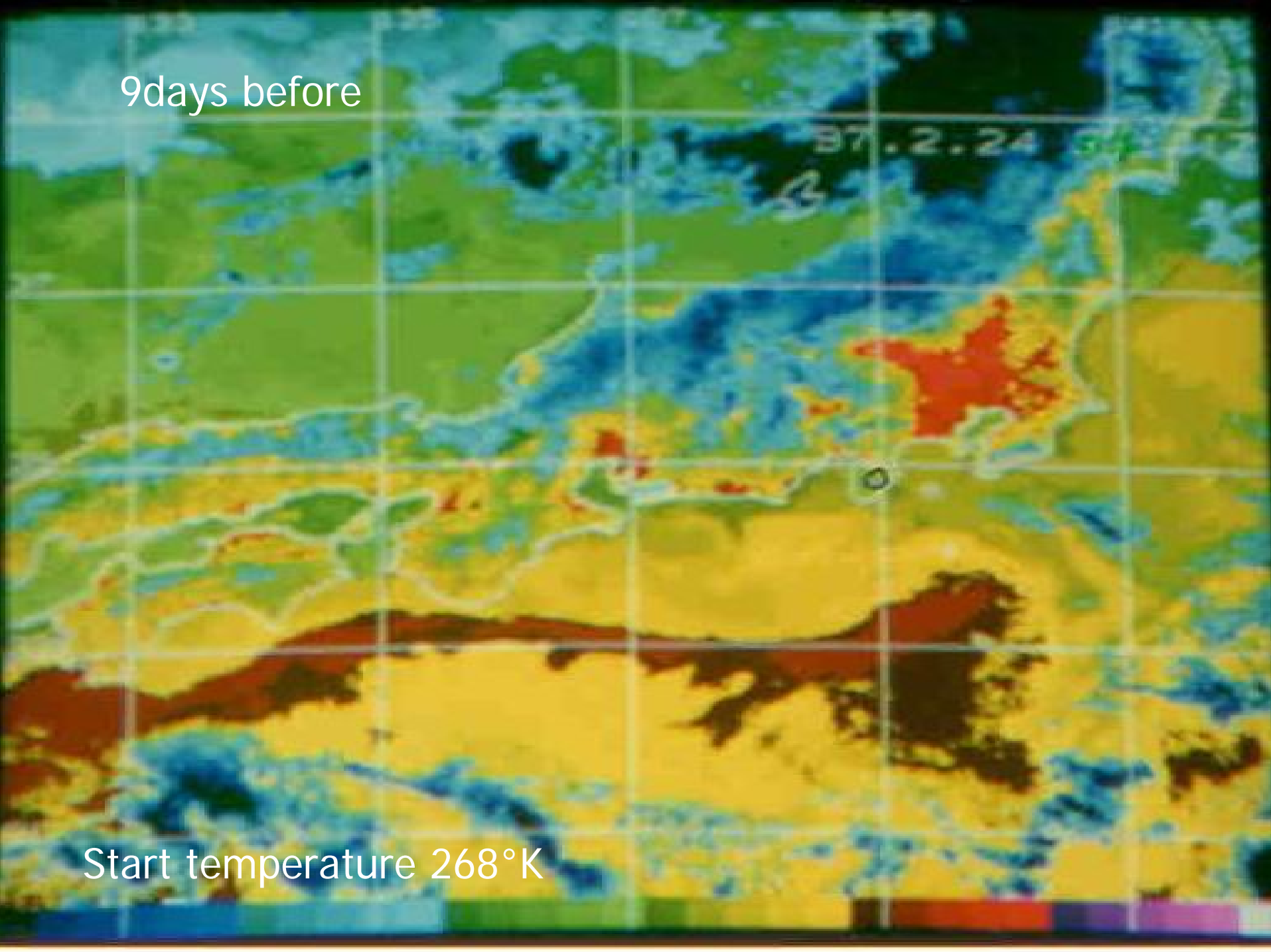
93/08/12 18:33(GMT)



Izu Peninsula, swarm earthquake M5.2、 5.7, Japan

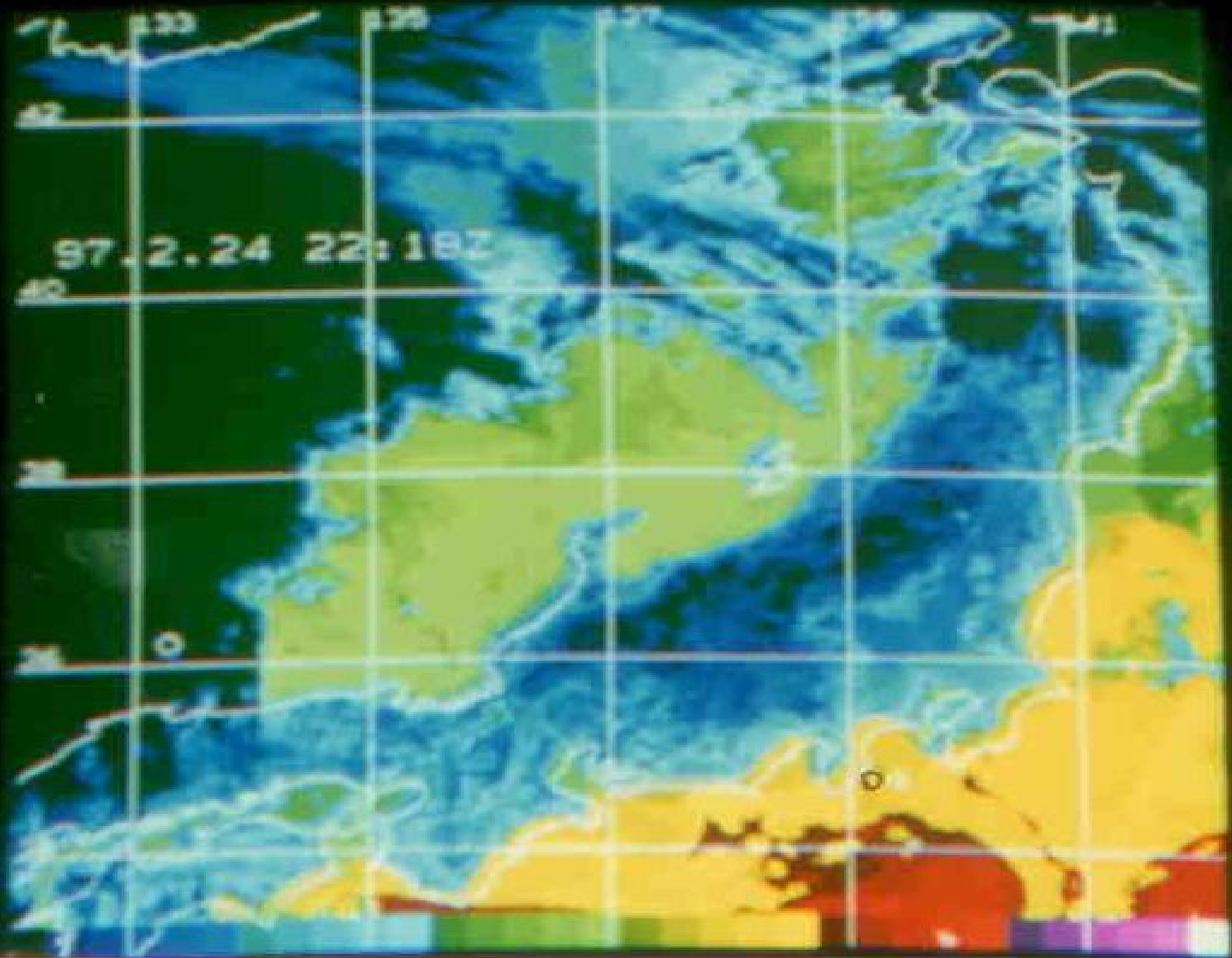
- March 3、 4--April 10, 1997, 35.5°N , 130.04°E
- Predicted time: Feb. 26-March 10, 1997
- Area: $35-36^{\circ}\text{N}$, $139-140^{\circ}\text{E}$
- Magnitude: 6.0
- No. 38

9days before



37.2.24

Start temperature 268°K



北京青年报

BEIJING YOUTH DAILY

日报 1997年7月21日 星期一 第3223期 统一刊号:
今日共8版 CN 11-0103 国外发行代号: D 1253

卫星遥感技术助力 我国科学家冲击 地震短临预报 成功预报日本伊豆海域地震

本报讯 (记者 魏万祥) 准确预报地震真的不可能吗?中国地震局地震研究所研究员崔维基和他的助手们所取得的成就再次向解决难题迈进了

一步。最近,他们利用卫星遥感技术成功地预报了不久前发生在日本伊豆半岛东侧海域的5.2级、5.7级震群和发生在日本其它地区的5级以上地震,以及本月初发生在台湾东部海域的5.1级地震。日本同行也称赞崔维基和他的助手们是“英雄”。

地震短临预报一直是摆在各国地震研究专家面前的世界性难题。迄今为止,大部分专家认为以现有的技术和设备难以进行准确的地震短临预报。但是,崔维基和他的助手们突破了传统的只

依靠地质学、地球物理学、地质化学现象及地形变化的观测方法,和中国气象局合作,利用卫星遥感热红外技术进行短临预报的难题取得了成功,为地震短临预报画出了一条新途径。

崔维基说,在地震发生之前,震区岩层大面积受力,震中区周围的岩石物体会发生破裂,此时在岩石中会释放出二氧化碳、氢气、氮气和甲烷等气体。地表电地场的异常变化会袭击这些气体,从而使它们散发热量,产生热红外异常增温现象。根据崔维基自己称之为“气态说”的理论,利用气态遥感探测仪探测地面温度并同收集到的资料进行分析,寻找热红外异常,综合地质构造、地震带的分布并同其它气象情况进行综合分析,判断,确定将要发生地震的三要素:地点、震级和时间。利

用卫星遥感技术不仅可以提前

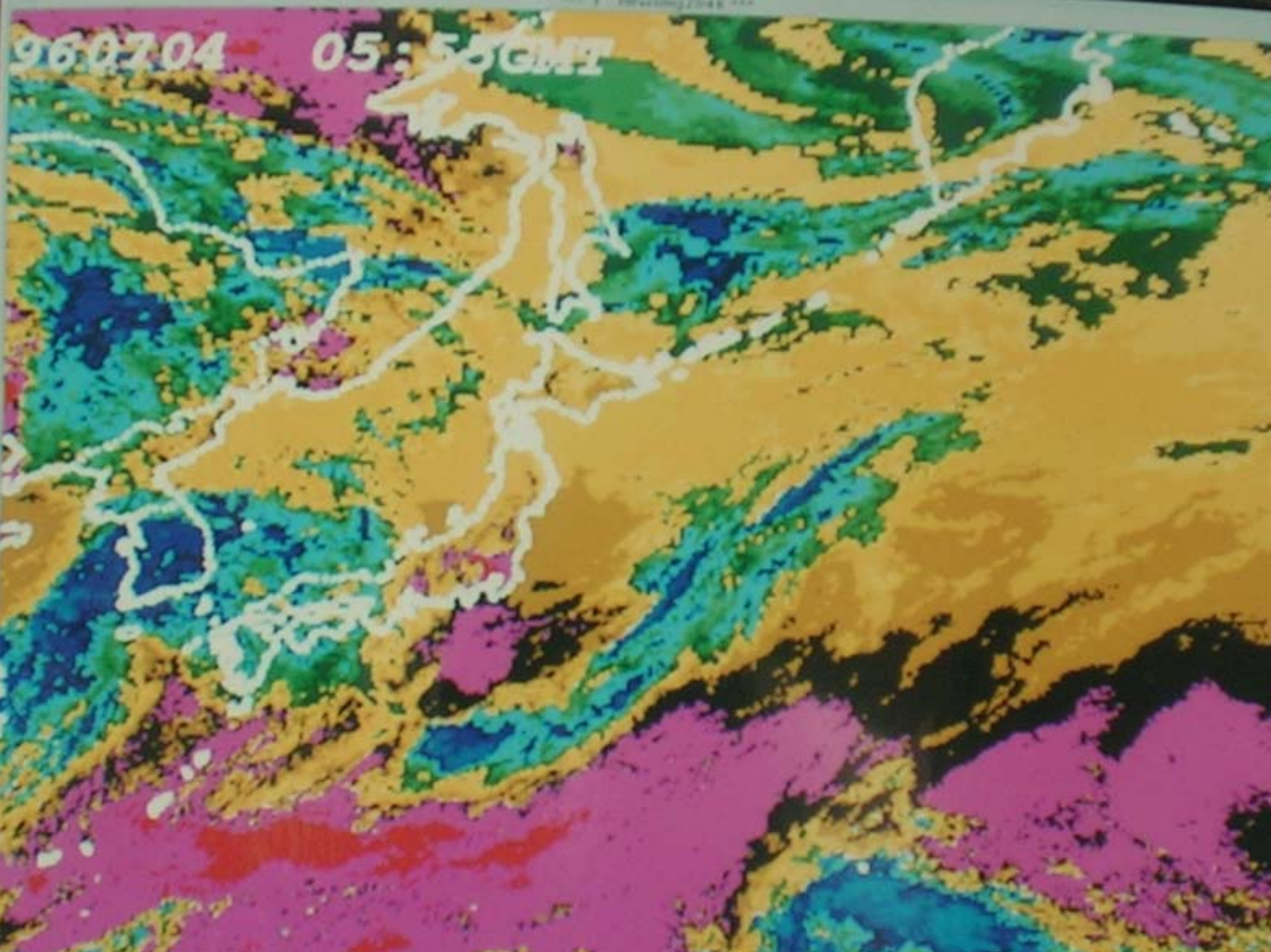
发现震前兆,而且大大扩大了震区范围。

崔维基说,在過去七年多的探索“气态说”的基础上,他们成功地预报中进行了4年的成果,迄今为止,他们共作了6次气态遥感预报,其中3次预报良好和

Certificate of prediction
Accuracy
issued by Beijing Youth
Daily July 21, 1997

Kamchatka Isl.M7.4,Russia

- July 16,1996 58.1°N,160.05E,
- Predicted time: July 14-Aug.5 ,1996
- Area: 57-59°N, 159-161°E
- Magnitude: 7.0
- No. 33

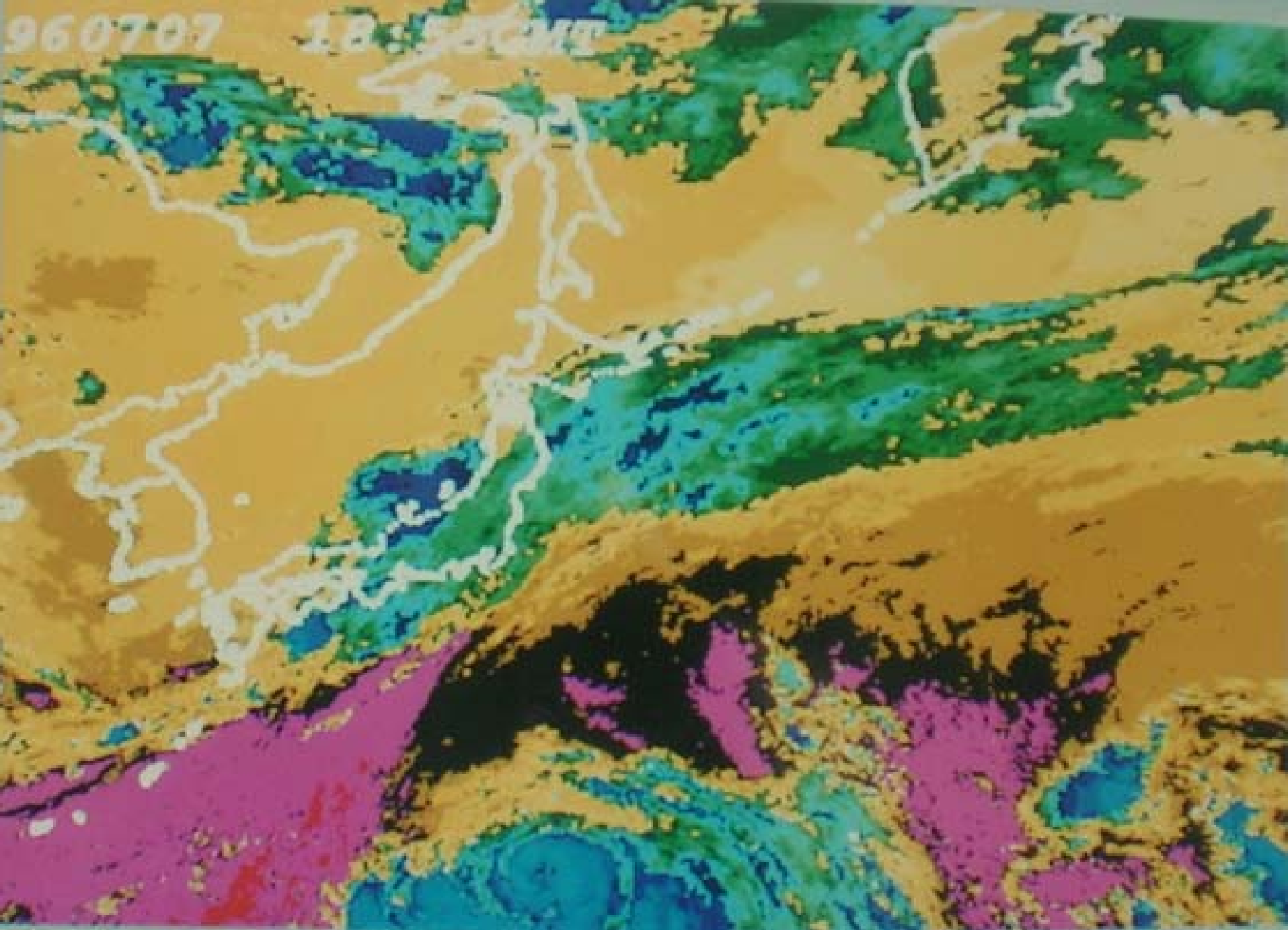


960704

05:58GMT

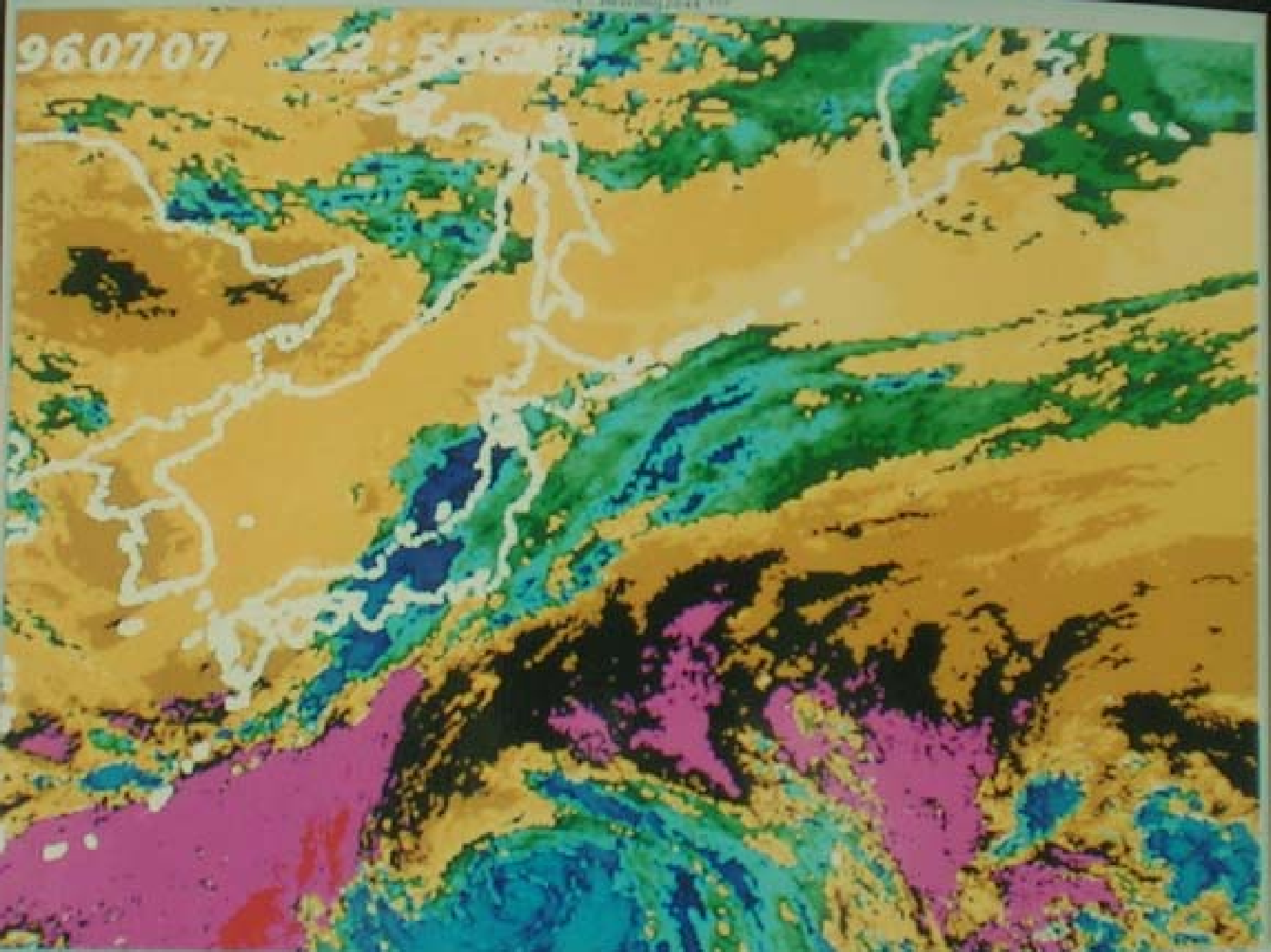
960707

1.8 500MT



960707

22 5 1977



填卡须知

短临预报卡片

1. 预报实现所属级别的确认, 只预报 空震力 空震
2. 预报内容, 必须按照确认的级别所规定的等级标准填写;

等级组别	一级		二级		三级	
	时间 (最大震级)	地点 (最大震级)	时间 (最大震级)	地点 (最大震级)	时间 (最大震级)	地点 (最大震级)
>7级	≤40天	≤20Km	≤40天	≤20Km	≤40天	≤20Km
6.5-6.9级	≤30天	≤10Km	≤40天	≤20Km	≤40天	≤20Km
6.0-6.4级	≤15天	≤10Km	≤30天	≤10Km	≤20天	≤10Km
5.5-5.9级	≤10天	≤10Km	≤15天	≤10Km	≤10天	≤10Km
	仅限于南海地区或西藏大陆内部区					
5.0-5.4级	无	≤10天	≤10Km	≤10天	≤10Km	

2. 单位或集体的预报应填全称, 一式二份, 一份寄所在省、自治区、市地震局(办)分析预报中心(室), 另一份寄北京市166信箱第一研究室收, 邮政编码100028, 个人的预报应填所在单位全称和姓名及联系地址和邮政编码, 只寄所在省、自治区、市地震局(办)分析预报中心(室)一份。

4. 本卡片是专家评审的有效卡片, 自制的、复印的均无效。

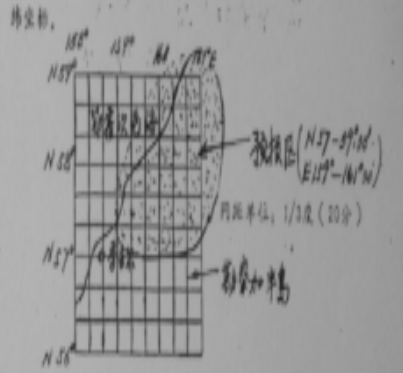
以下接收部门填写
收到卡片时间: _____ 收卡人签字: _____

初审意见: 1996. 7. 16 NSB. 15, E 160. 05 M7.4

初审人: _____ 年 月 日

预报实现所属级别: 一级 二级 三级

- 预报内容:
1. 时间: 1996年7月14日至96年9月10日
 2. 震级(M_s): 2.7级至__级
 3. 地域: 用封闭图形绘于下面经纬线内, 并标注其震源地点的经纬坐标。



上述预报内容的依据和方法:

(文字简明, 附件清晰, 提供定量公式, 可填写在背面或附页)
根据1996年7月100-170(4)在彭亨半岛海增地异常震群特征。

预报的单位及集体签字: 孔X岩
个人的预报签字: 孔X岩
张祖善
侯常泰
预报时间: 1996年7月16日
预报地址: 香港 岭南 局北京所 邮政编码: 100029



Earthquake Predicted Card

Certificate of prediction Accuracy
Issued by Director Zhengjian Guo

of the Special Committee
for
Prediction Nature Disaster
in
the Geophysical Union of China

Samal Swarm Earthquake

M7.0,7.2,7.5,7.2,7.0,7.1

Philippine

- April 21,23,,May 5,1995
- Predicted time:Apr.16-May5,1995
- Area: Samal Isl. Philippine, 11-13°N, 126-127°E
- Magnitude: 7.0
- No. 29

95/04/11 06:32(GMT)

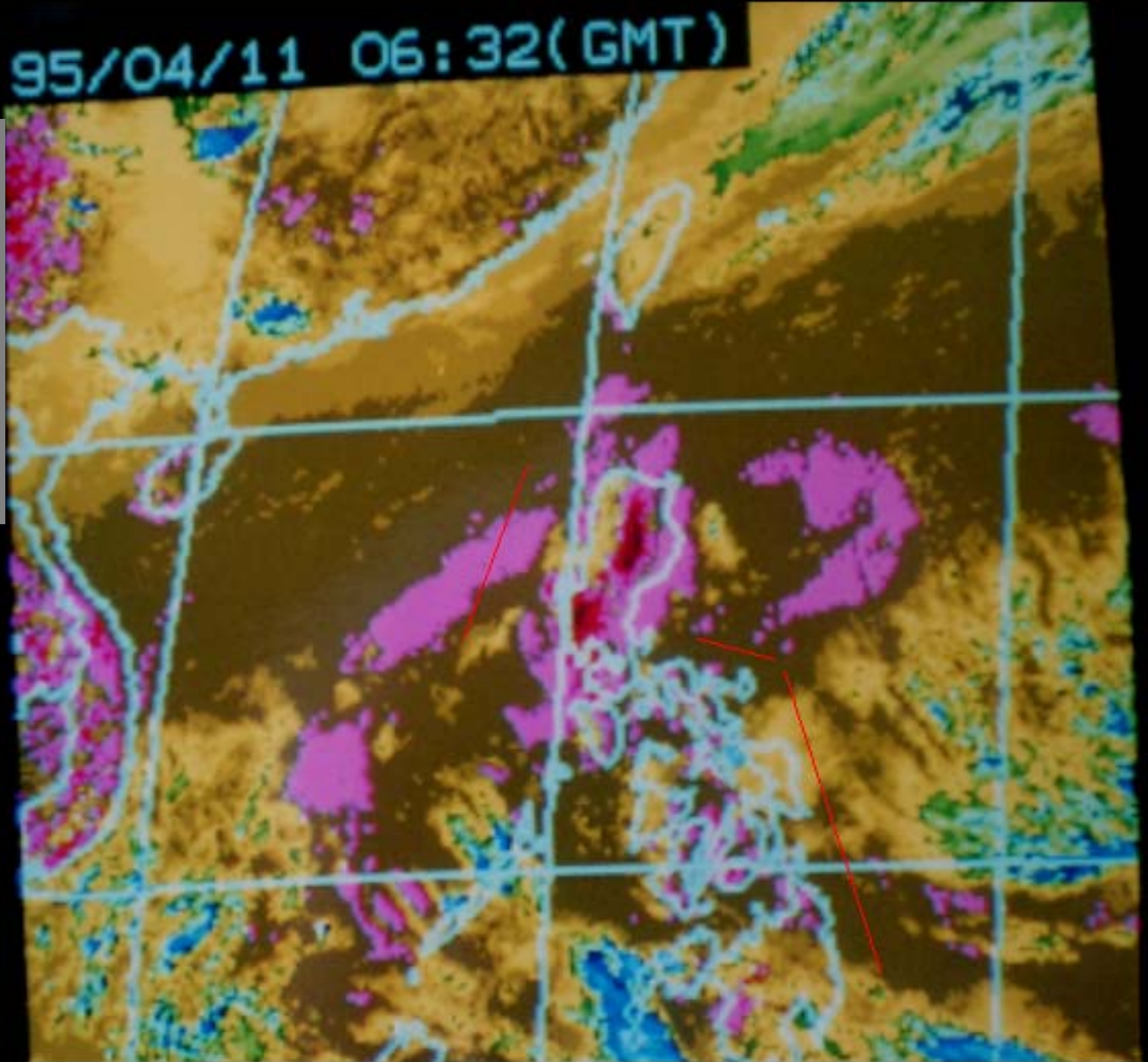
QZJ:

Samar strong
swarm
earthquakes

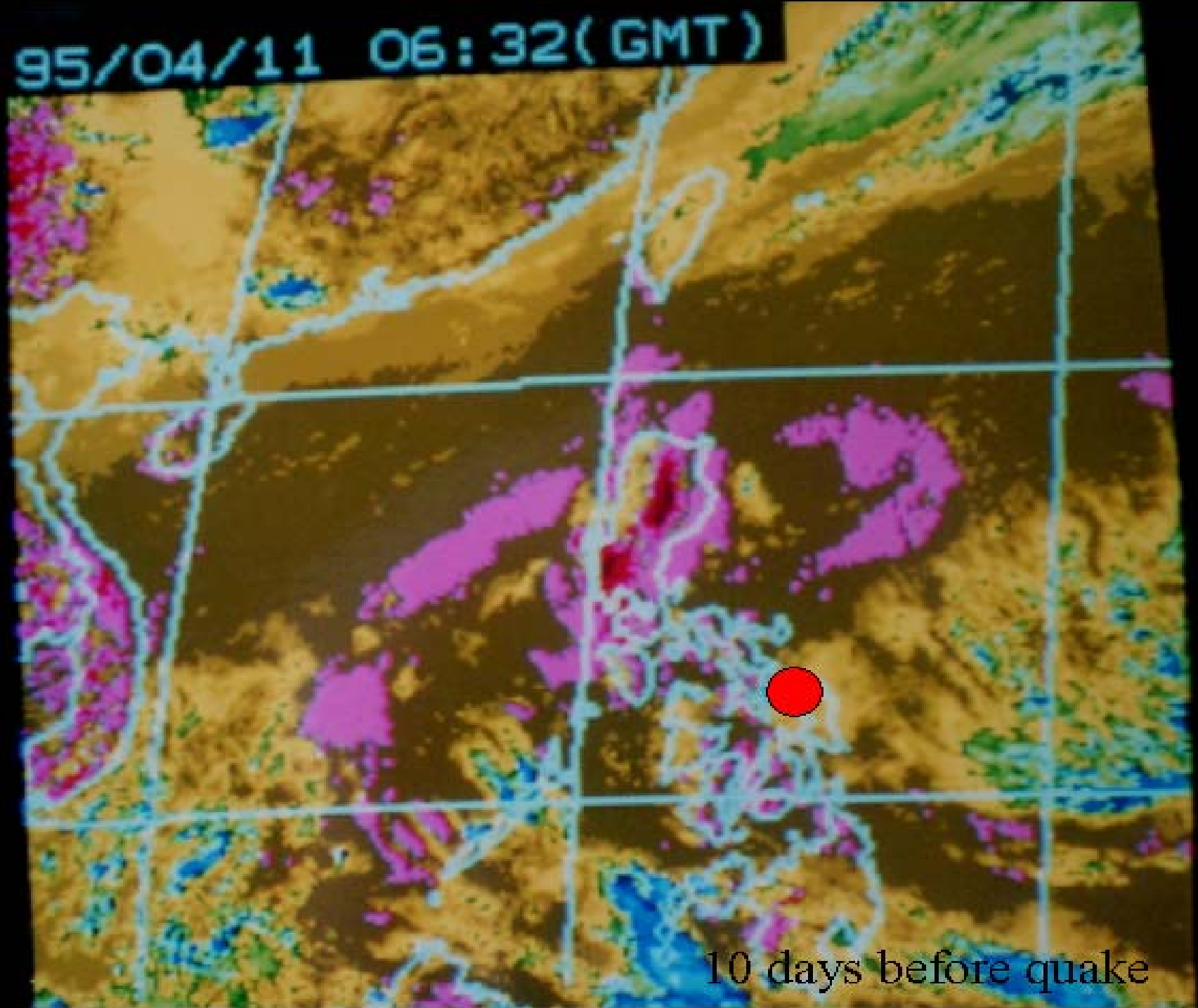
Philippine

M7.0,7.2,7.5,7.
2,7.0,7.1

9 days before



95/04/11 06:32(GMT)



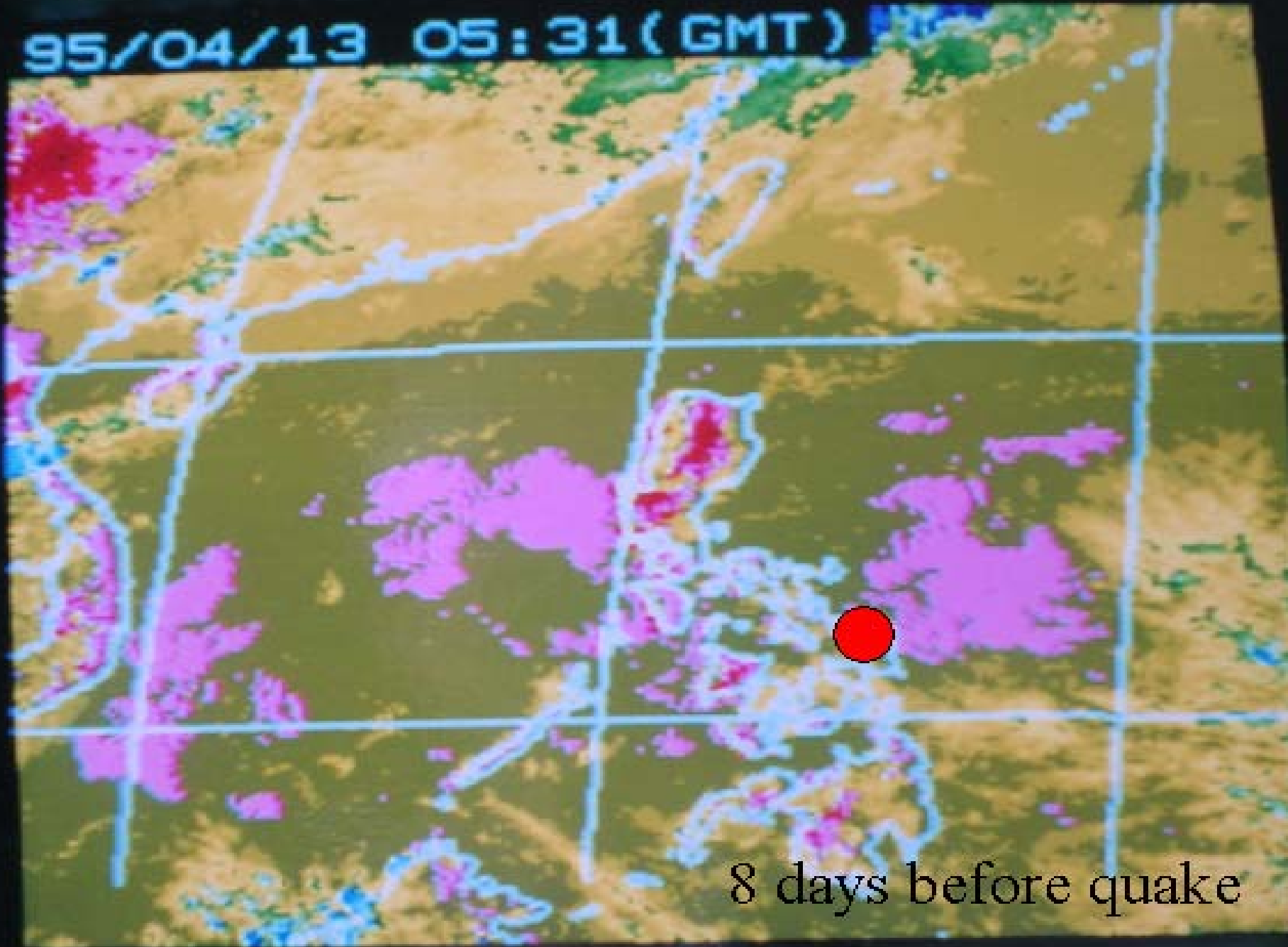
10 days before quake

95/04/12 05:31 (GMT)



9 days before quake

95/04/13 05:31(GMT)



8 days before quake

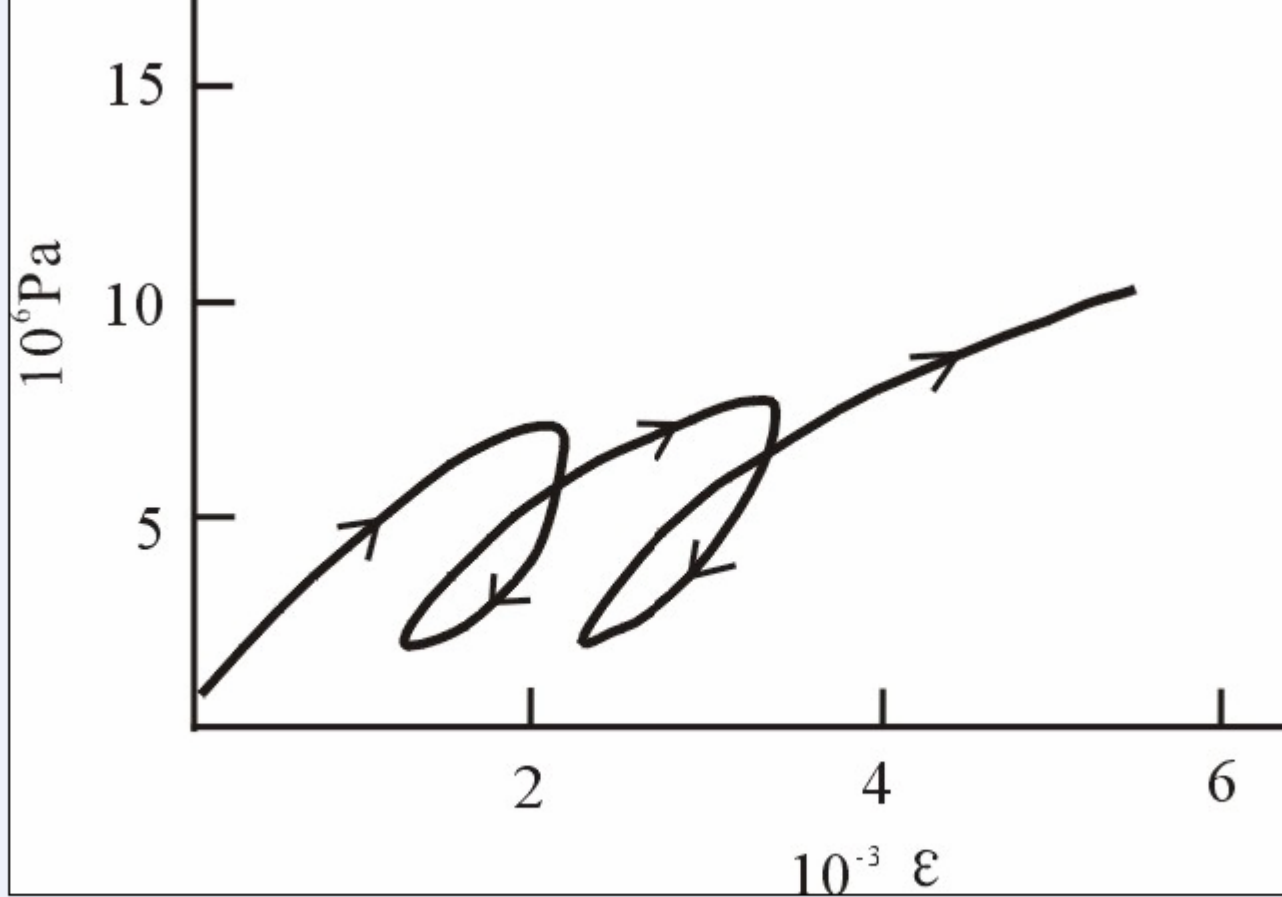
QZJ:

Green-Apr.11

Ciel-Apr.12

Blue-Apr.13





The diagram of load-unload character of quartzite under alternating tidal stress in the earth (After Wen, 1983)

QZJ:21/04-05/05.

1995

菲律宾萨玛岛
M7.0, 7.2, 7.5, 7.2,
7.0, 7.0

填卡须知

1. 预报实现所属级别的确认, 只须将○涂实为●
2. 预报内容, 必须按照确认的级别所规定的等级标准填写;

等级标准	一 级		二 级		三 级	
	时 间	地 址 (最大震距)	时 间	地 址 (最大震距)	时 间	地 址 (最大震距)
>7级	≤10天	≤200Km	≤10天	≤200Km	≤10天	≤200Km
6.5-6.9级	≤10天	≤100Km	≤10天	≤200Km	≤10天	≤200Km
6.0-6.4级	≤10天	≤100Km	≤10天	≤100Km	≤10天	≤100Km
5.5-5.9级	≤10天	≤100Km	≤10天	≤100Km	≤10天	≤100Km
	仅限于震源地区或 西邻大城市附近					
5.0-5.4级	无		≤10天	≤50Km	≤10天	≤50Km
			仅限于震源地区			

3. 单位或集体的预报应填全称, 一式二份, 一份寄所在省、自治区、市地震局(办)分析预报中心(室), 另一份寄北京中100信箱第一研究室收, 邮北编码100030. 个人的预报应填所在单位全称和姓名及联系电话和邮北编码, 只寄所在省、自治区、市地震局(办)分析预报中心(室)一份.

4. 本卡片是专家评审的有效卡片, 自制的, 复印的均无效.

以下接收部门填写

收到卡片时间: 收到人签字:

初审意见, 1995. 4. 21	M 11.7	E 126.5	M 7.0
4. 21	11.7	126.5	7.2
4. 21	11.7	126.5	7.5
4. 21	11.7	126.5	7.2
4. 21	12.8	125.5	7.0
5. 5	M 12.8	125.5	7.1

短临预报卡片

7

预报实现所属级别: ○一级 ●二级 ○三级

预报内容:

1. 时间 1995 年 4 月 16 日至 1995 年 5 月 5 日
2. 震级 (M₀): 6.0 级至 6.4 级
3. 地域: 用封闭图形标于下面经纬网内, 并标注其图形据点的经纬标.



上述预报内容的填报方法:

(文字简明, 附件清晰, 提供定量公式, 可填写在背面或附页)

根据4月13, 14, 15, 16 连续4天在南海, 太平洋群岛岛面两侧增温的暖水特征.

预报的单位或集体签字: 孔令昌

个人的预报签字: 王恩烈 孙相英 侯常景

预报时间: 1995 年 4 月 16 日

通讯地址: 德州初学记子



工作简报

第五期（总第五十八期）

国家地震局地质研究所

一九九五年十一月

目 录

1. 陈章立局长来所宣布新班子
2. 我所十六名职工光荣献血
3. 我所1995年科技成果获奖情况简介
4. 我所完成国家经贸委交办的一项重要任务
5. 几次7级以上强震预报成功
6. 张强凹陷古构造应力场演化与油气聚集关系研究报告破例通过终审验收
7. 《广东三核电站沙环厂址设计基准地面运动特征》项目通过评审验收
8. 充分发挥科技优势，积极开展减灾知识宣传和学术研讨活动
9. 韩国地震科技代表团访问我所
10. 我所参与的中挪8-8A减灾合作项目取得初步成果
11. 我所一九九六年对外科技交流与合作计划项目已编制完成
12. 所安委会为职工更新自行车牌

Certificate of Prediction
Accuracy issued by
Institute of Geology, CEA

别高，还要安排重要首长听取汇报，国务院缺少一个救灾的补助标准，一般来的汇报团都有所收益，而那些在基层忙于救灾的干部，由于失去及时向中央汇报的时机，没有或较少得到中央补助的救灾款，有人形容这种现象为“会哭的孩子多吃奶”。

这种无序的状态不能再继续下去了，国务委员陈俊生要求制定加强抗灾救灾的条例，以便规范我国报灾、评估、补助的程序。这项工作由国家经贸委组织实施，经贸委将其中抗灾救灾的分级负责标准交给我所十三室及相关部门来完成。

两年多来，在马宗晋院士的领导下，十三室及相关部门的科研人员收集了全国各地1978-1994年的5000多条灾情和经济方面的数据资料，进行了大量的测算，作了几百张图，前后完成了七稿，征集了许多部门的意见，并召开了两次全国性学术研讨会，将我国三十个省（自治区、直辖市）划分成三类地区，每类地区都有八项申请补助的标准，凡达到其中两项标准的，不用来京汇报，就可能得到中央给予的补助，相反地，达不到标准的，即是来京，中央也可以不予受理。

为了协调中央有关部委的意见，国务院秘书局最近在中南海召开了会议，我所有三名科研人员作为专家参加，有关领导在会上肯定了我所参与的这项工作，表示不久将以此作为国务院的一项通知下发各地执行。

十三室 高建国

几次7级以上强震预报成功

——卫星热红外增温前兆短临预报又取得新进展

我所强根基研究员等与中国卫星气象中心副研究员贾常春等合作，最近根据卫星热红外异常特征预报10月20日至11月25日在日本北海道南部（N39.6°-41.5°，E142.5°-144.3°）将发生7级以上地震，结果11月25日凌晨1点在北海道东（N44.5°，E149.3°）发生M_s6.8级地震（外电报道8.5级），三要素预报中地点相差，差400-500km，其它都较准，另外，12月3、4日，又在千岛群岛发生6.8、7.4、7.3和6.8级强震，按国家地震局规定应达到二级预报标准，他们还预报今年4月16日至5月5日将在菲律宾伊马岛

Certificate of Prediction
Accuracy issued by
Institute of Geology, CEA

The Chinese scientists in the satellite thermal-infrared earthquake-prediction group led by QIANG Zuji and DIAN Changgong have carried on practicing short and impediment earthquake prediction for a long time. Our prediction practices started in 1990 and over the years we have made steady and great progress. During the 11 years from 1990 to 2000, we have made 149 predictions, of which 100 were valid and 49 were false alarms. Out of the 100 valid predictions, 65 were predicated with very good accuracy on the earthquakes occurred in mainland China and its neighboring sea and peninsula, including 10 earthquakes of Richter scale 7 or above, 19 of Richter scale 6 or above, and 36 of Richter scale 5 or so; 25 predictions were relatively accurate, including 4 of Richter scale 7; and 10 predictions were less accurate.

Because of the cloud interference, 49 predictions were false alarms and predictions were not made for 20 earthquakes (QIANG Zuji et al., 1998, 2001). WANG Chunying, a master graduate student of the Department of Geography at National Taiwan University, has based here thesis on our prediction practices (2005), and affirmed and gave a high appraisal to our prediction practices of more than 10 years. Based on the data of prediction cards issued for earthquakes of Richter scale 5 or above during the years 1990 to 2000, which she obtained from LI lingzhi, another collaborate researcher of our research, Ms. Wang summarized and evaluated our prediction practices in the following table.

(Table II-1-1).

Table II-1-1 Statistics of Earthquake Predictions based on Thermal-Infrared Anomaly.

(After WangChun-Yin NTU, 2005)

Time	Number of Predictions	Prediction Grade (1-100 scale)				Success Rate
		Above 70	60-70	Below 60	False alarm	
1990-1995a	50	4	12	33	5	24%
1996a	13	3	3	6	1	46%
1997a	15	7	1	3	4	53%
1998a	21	11	5	3	2	76%
1999a	15	11	1	1	2	80%
2000a	5	4	0	0	1	80%

Note: Not including miss predictions.



CHINESE SATELLITE EARTHQUAKE PREDICTION

INVESTIGATORS FROM CHINA'S Seismological Bureau and Satellite Meteorology Administration have told European researchers that China has used satellite infrared ocean temperature data to predict about 20 earthquakes since 1990. The technique could have significant implications for predicting earthquakes in coastal areas. The satellite data show that ocean temperatures rose 1-3°C in the South China Sea 4-15 days before numerous medium and large earthquakes. Using the space-based data, Chinese researchers said they missed predicting only two earthquakes during this period and predicted only two others that failed to occur. ■

AMRAAMS FOR F/A-18

U. S. NAVY F/A-18s now can carry AM-120 Advanced Medium Range Air-to-Air Missiles on operational missions. The USS Abraham Lincoln, now on station in the Arabian Gulf, has a store of AM-120s that will be used on Hornets participating in Operation Southern Watch over Iraq. In September, F/A-18 units in the U. S. fired 27 AM-120s in exercises with a success rate of 95%, McDonnell Douglas officials said. The missiles, combined with the other operational flight program, allows pilots better situational awareness through improved displays, fire warning of targets and better target information. ■

GERMAN HYPERSONIC STRETCHOUT

A 20% REDUCTION in the planned budget for Germany's hypersonic research propulsion program will result in a stretchout of the Phase I technology by two years to 1995. Greater emphasis will be given to air-breathing propulsion technology development extending Phase I effort. The objective is to develop a subsonic cruise propulsion system with a 50-cm. (20-in.) inlet diameter that in 1995 would be tested in a hypersonic wind tunnel. The budget reduction has forced cuts in research on aerothermodynamics, materials and structures. ■

BRAZIL, CHINA PLAN JOINT EFFORT

CHINA IS TO BUILD two satellite for Earth-imaging and atmospheric monitoring cooperation with Brazil, according to Chinese reports. The \$150-million project was first proposed in 1988 but postponed for lack of funds. China is to contribute 70% of the financing and Brazil, 30%. Final launch is set for October, 1996, on a joint launch March 4 booster. A small Brazilian scientific satellite will piggyback on the first launch. A date for the second has not been set. China also is seeking Brazilian access to Brazil's vast mineral deposits. ■

INNOVATIVE MANAGEMENT

AEROSPATIALE HAS DEFINED a small, tightly integrated group of engineers and managers for development of the French TAGS light satellite network that would involve five 150-kg. (330-lb.) spacecraft for navigation, positioning and message transmission. By increasing the authority of middle managers to make and carry out their own decisions in the project—as opposed to requiring involvement by higher-level managers—Aérospatiale claims it will minimize the number of approvals and reviews in the program, saving time and money and boosting morale. ■

HUGHES TO BUILD WEAPONS TRAINER

HUGHES TRAINING plans to build an F/A-18C Weapons Tactics Trainer for Finland's air force under a \$26-million contract from McDonnell Douglas. The single-seat simulator is to be delivered in mid-1996. It will feature a 40-ft. dome and a data base that encompasses all of Finland. A Martin Marietta CompuScene 3 image generator will produce photorealistic images for day/night, head-tracked display systems. ■

RAMJET-AIDED GYROPLANE FOR UAV ROLE

GREENBROTHERS AVIATION will offer conversion of its Hawk 2 gyroplane with ramjet-aided rotor blades for the U. S. Navy's vertical launch and recovery unmanned aerial vehicle. The UAV is to have a range of 100-nm. mi., 5-hr. endurance and a top speed of 150 kt, with a 200-lb. payload. The UAV's role is surveillance and communications relay. The Hawk 2 is to fly primarily as a gyroplane using a piston propeller for thrust. The design eliminates the need for a tail rotor, transmission and drive shaft. ■

INDUSTRY OUTLOOK

COMPILED BY MICHAEL O. LAVITT

CHINESE SATELLITE EARTHQUAKE PREDICTION

INVESTIGATORS FROM CHINA'S Seismological Bureau and Satellite Meteorological Administration have told European researchers that China has used satellite infrared ocean temperature data to predict about 20 earthquakes since 1990. The technique could have significant implications for predicting earthquakes in coastal areas. The satellite data show that ocean temperatures rose 1-3C in the South China Sea 4-10 days before numerous medium and large earthquakes. Using the space-based data, Chinese researchers said they missed predicting only two earthquakes during this period and predicted only two others that failed to occur. ■

AMRAAMS FOR F/A-18

U. S. NAVY F/A-18s now can carry AIM-120 Advanced Medium Range Air-to-Air Missiles on operational missions. The USS Abraham Lincoln, now on station in the Arabian Gulf, has a store of AMRAAMs that will be used on Hornets participating in Operation Southern Watch over Iraq. In September, F/A-18 units in the U. S. fired 29 AMRAAMs in exercises with a success rate of 96%, McDonnell Douglas officials said. The missile, combined with the latest operational flight program, allows aircrews better situational awareness through improved dis-

INDUSTRY OUTLOOK

COMPILED BY MICHAEL O. LAVITT

CHINESE SATELLITE EARTHQUAKE PREDICTION

INVESTIGATORS FROM CHINA'S Seismological Bureau and Satellite Meteorological Administration have told European researchers that China has used satellite infrared ocean temperature data to predict about 20 earthquakes since 1990. The technique could have significant implications for predicting earthquakes in coastal areas. The satellite data show that ocean temperatures rose 1-3C in the South China Sea 4-10 days before numerous medium and large earthquakes. Using the space-based data, Chinese researchers said they missed predicting only two earthquakes during this period and predicted only two others that failed to occur. ■

AMRAAMS FOR F/A-18

U. S. NAVY F/A-18s now can carry AIM-120 Advanced Medium Range Air-to-Air Missiles on operational missions. The USS Abraham Lincoln, now on station in the Arabian Gulf, has a store of AMRAAMs that will be used on Hornets participating in Operation Southern Watch over Iraq. In September, F/A-18 units in the U. S. fired 29 AMRAAMs in exercises with a success rate of 96%, McDonnell Douglas officials said. The missile, combined with the latest operational flight program, allows aircrews better situational awareness through improved dis-

quiring involvement by higher-level managers—Aerospaziale believes it will minimize the number of approvals and reviews in the program, saving time and money and boosting morale. ■

HUGHES TO BUILD WEAPONS TRAINER

HUGHES TRAINING plans to build an F/A-18C Weapons Tactics Trainer for Finland's air force under a \$26-million contract from McDonnell Douglas. The single-seat simulator is to be delivered in mid-1996. It will feature a 40-ft. dome and a data base that encompasses all of Finland. A Martin Marietta CompuScene 6 image generator will produce photo quality images for the day/night, head-tracked display system. ■

RAMJET-AIDED GYROPLANE FOR UAV ROLE

GROEN BROTHERS AVIATION will offer a version of its Hawk 2 gyroplane with ramjet-tipped rotor blades for the U. S. Navy's vertical launch and recovery unmanned aerial vehicle. The UAV is to have a range of 100-naut. mi., 5-hr. endurance and a top speed of 150 kt. with a 200-lb. payload. The UAV's role is surveillance and communications relay. The Hawk 2 is to fly primarily as a gyroplane using a pusher propeller for thrust. The design eliminates the need for a tail rotor, transmission and drive shaft. ■

AVIATION WEEK & SPACE TECHNOLOGY/November 22, 1993 19

此消息是美国 NASA 对地球观测卫星 Louis Walter 博士, 在听了
我在 1993 年 10 月在奥地利格拉茨 47 届宇航大会 IAF Congress 上发言后, 很
赞赏, 他的稿在美国航空^{航天}刊物上发表
马君礼著 1996. 7. 月 3 日

My success rate of earthquake prediction using thermal-infrared remote-sensing technology was not as good as it is now. I have had more false predictions than successful ones in the beginning. however, I have learned from my failures and kept practicing and improving this earthquake prediction technique. I believe wisdom comes from the practices.

I am confident that precursors can be found before an earthquake and that earthquake prediction IS possible.

Earthquake precursors should enable a predictor to give the three elements of a future earthquake: place, magnitude and time. (Max Wyss, 1993, former chairperson of Earthquake Prediction Committee, IASPEI) .

Thank You!